

**CONTROLADOR CON LÒGICAFUZZY BASADO EN
MICROCONTROLADOR Y LABVIEW**

**JAIME ELIÉCER VILLALOBOS BARRERA
JORGE ELIÉCER RODRIGUEZ GOMEZ**

**UNIVERSIDAD INDUSTRIAL DE SANTANDER
FACULTAD DE INGENIERÍAS FÍSICO MECÁNICAS
ESCUELA DE INGENIERÍAS ELÉCTRICA,
ELECTRÓNICA Y DE TELECOMUNICACIONES
BUCARAMANGA**

2004

**CONTROLADOR CON LÒGICAFUZZY BASADO EN
MICROCONTROLADOR Y LABVIEW**

**Proyecto de grado para optar al título de Ingeniero
Electrónico**

JAIME ELIÉCER VILLALOBOS BARRERA

Proyecto de grado para optar al título de Ingeniero Eléctrico

JORGE ELIÉCER RODRIGUEZ GOMEZ

Director

MPE. JAIME GUILLERMO BARRERO PEREZ

**UNIVERSIDAD INDUSTRIAL DE SANTANDER
FACULTAD DE INGENIERÍAS FÍSICO MECÁNICAS
ESCUELA DE INGENIERÍAS ELÉCTRICA,
ELECTRÓNICA Y DE TELECOMUNICACIONES
BUCARAMANGA
2004**

AGRADECIMIENTOS

A Dios, por la vida y la oportunidad de ser quien soy.

*A mis padres Roque y Betsabé,
Mis hermanos José Luis, Gloria y Olga Lucta,
y a mi tía Marta del Carmen.*

*A Claudia Patricia, mi amor
y a mi hija, Anggie Valeria, mi ilusión más grande.*

A mis amigos.

Jorge Eliécer Rodríguez Gómez

A mi padre Eliécer Villalobos, a mi madre

Mariela por tenerme gran fe y paciencia en todo este tiempo a pesar de los momentos difíciles que pase muchas gracias

A mis hermanos Edith, Diana y Carlos por su apoyo y a mis tíos especialmente Sara

A Dios.

Jaime Eliécer

TITULO: CONTROLADOR CON LÓGICAFUZZY BASADO EN MICROCONTROLADOR Y
LABVIEW*

AUTOR(ES): VILLALOBOS BARRERA, Jaime Eliécer y RODRÍGUEZ GÓMEZ, Jorge Eliécer**

PALABRAS CLAVES: Fuzzy, Antecedentes, Consecuencias, Control, Controlador, Funciones de membresía, Base de Reglas, Fuzificación, Defuzificación, Algoritmos, LabVIEW, Generación de código, Pic16f873, 68hc908jl3.

RESUMEN: Se presenta una herramienta básica en software y hardware para la implementación eficiente, rápida, y económica de un tipo de controlador con Lógica Fuzzy basado en un microcontrolador de gama media o baja. Se trata esencialmente de un algoritmo en lenguaje ensamblador para microcontroladores PIC y MOTOROLA, y que puede extenderse fácilmente para su uso en sistemas basados en Microprocesador o Procesador digital de señales (DSP).

Además se construye una herramienta software en LabVIEW® para MS-Windows® para la caracterización del sistema Fuzzy de dos entradas una salida y generación del código en lenguaje ensamblador que realiza control con Lógica Fuzzy en los microcontroladores PIC o Motorola CPU08.

Adicionalmente se describe el diseño del hardware construido para la demostración del control Fuzzy (tanto desde el microcontrolador como desde el computador) así como las principales características de sus componentes.

Ejemplo de aplicación del formato de control Fuzzy y del software FUZZYE3T. Se controla la temperatura de un sistema realimentado simple: Un elemento resistivo de calefacción. Se plantean las características del sistema y se implementa un control Fuzzy; utilizando como dispositivo de procesamiento, primero el computador IBM PC-Compatible y luego un microcontrolador.

* Proyecto de Grado.

** Facultad de Ingenierías Físico mecánicas, Programa de Ingeniería Electrónica. Director: BARRERO PÉREZ, Jaime Guillermo (UIS).

TITLE: CONTROLLER FUZZY LOGIC BASED ON MICRO CONTROLLER AND LABVIEW *

AUTHOR(S): VILLALOBOS BARRERA, Jaime Eliécer and RODRÍGUEZ GÓMEZ, Jorge Eliécer
**

KEYWORDS: Fuzzy, Antecedents, Consequences, Control, Controller, Functions from membership, Base from Rules, Fuzificación, Defuzificación, Algorithms, LabVIEW, Generation of code, Pic16f873, 68hc908jl3.

ABSTRACT: Itself show a basic tool in software and hardware for the efficient, quick, and economic implementation of a type of controller based on Fuzzy Logic with a micro controller of half or low range. It is essentially of an algorithm in assembly language for PIC micro controller and MOTOROLA, that it could extend easily for their use in systems based on Microprocessor or digital Processor of signs (DSP).

A software tool is also built in LabVIEW® for MS-Windows® for the characterization of the Fuzzy system of two entrances one exit and generation of the code in assembly language that it carry out control with Fuzzy Logic in the PIC micro controller or Motorola CPU08.

Additionally the design of the built hardware is described for the demonstration of the Fuzzy control (so much from the micro controller like from the counter) as well as the main characteristic of their components.

Example of application the format of Fuzzy control and the software FUZZYE3T. The temperature of a system simple feedback is controlled: An element resistive of heating. The characteristics of the system are proposed and implemented a Fuzzy control is implemented by using like device of prosecution, first the counter IBM PC-Compatible and then a micro controller.

* Grade Project.

** Physic-Mechanical Engineering Faculty, Electronic Engineering. Direct by: BARRERO PÉREZ, Jaime Guillermo (UIS),

CONTENIDO

	Pág.
INTRODUCCIÓN	22
OBJETIVOS	26
OBJETIVO GENERAL	26
OBJETIVOS ESPECÍFICOS	26
1. MARCO TEÓRICO	28
1.1. LÓGICA <i>FUZZY</i>	28
1.1.1. Conjuntos <i>Fuzzy</i>	29
1.1.1.1. Funciones de Membresía	30
1.1.1.1.1. Triangular.....	30
1.1.1.1.2. Función Trapezoidal	31
1.1.1.1.3. Función S	32
1.1.1.1.4. Función Z.....	32
1.1.1.1.5. <i>Singleton</i>	33
1.1.1.2. Operaciones Básicas sobre Conjuntos <i>Fuzzy</i>	34
1.1.2. Relaciones <i>Fuzzy</i>	35
1.1.3. Operadores Lógicos	35
1.1.4. Inferencia <i>Fuzzy</i>	36
1.1.5. Variable y términos lingüísticos	36
1.1.6. Conceptos del Diseño <i>Fuzzy</i>	38
1.1.6.1. Estructura General de un Controlador <i>Fuzzy</i>	40
1.1.6.1.1. Módulo de Fuzificación.....	40
1.1.6.1.2. Base de conocimientos.....	40
1.1.6.1.3. Módulo de Inferencia <i>Fuzzy</i>	40
1.1.6.1.4. Módulo de Defuzificación	41
1.2. LABVIEW	41
1.2.1. <i>Fuzzy Logic Toolkit</i>	42
1.2.1.1. <i>Fuzzy Logic Controller Design VI</i>	42

1.2.1.1.1.	<i>Project Manager</i>	42
1.2.1.1.2.	<i>Fuzzy Set Editor</i>	43
1.2.1.1.3.	<i>Rule Base Editor</i>	44
1.2.1.1.4.	<i>Test</i> 46	
1.2.1.2.	<i>Load Fuzzy Controller VI</i>	46
1.2.1.3.	<i>Fuzzy Controller VI</i>	47
1.2.1.4.	<i>Test Fuzzy Control VI</i>	47
1.2.1.5.	Restricciones	47
1.3.	HARDWARE	48
2.	DISEÑO DEL SOFTWARE DE CONTROL FUZZY EN CÓDIGO ENSAMBLADOR.....	50
2.1.	CARACTERÍSTICAS	50
2.2.	METODOLOGÍA DEL DISEÑO	51
2.3.	PROCEDIMIENTO DE CONTROL FUZZY.....	52
2.3.1.	Ejemplo Práctico.....	52
2.4.	ESTRUCTURAS ALGORÍTMICAS DE CONTROL FUZZY	57
2.4.1.	Etapa de Fuzificación.....	57
2.4.1.1.	Evaluación del Grado de Membresía a un Conjunto Fuzzy	59
2.4.1.2.	Algoritmo de Membresía	66
2.4.2.	Base de Conocimiento	69
2.4.2.1.	Base de Datos.....	69
2.4.2.2.	Base de Reglas	70
2.4.3.	Etapa de Inferencia Fuzzy.....	71
2.4.3.1.	Algoritmo de Inferencia Fuzzy	71
2.4.4.	Etapa de Defuzificación.....	76
2.4.4.1.	Algoritmo de Centroides	77
2.5.	FORMATO DE PROGRAMA DE CONTROL FUZZY	79
3.	PROGRAMA PARA LA GENERACIÓN DEL CÓDIGO ENSAMBLADOR DEL CONTROLADOR FUZZY	80
3.1.	SOFTWARE FUZZYE3T	81

3.1.1.	Presentación del Programa.....	83
3.1.2.	Menú Principal.....	85
3.1.3.	Interfase Gráfica de Caracterización del Controlador Fuzzy.....	89
3.1.3.1.	Editor de Conjuntos Fuzzy.VI	94
3.1.3.2.	Editor de Base de Reglas.VI	96
3.1.3.3.	Visor de Características de E/S.VI	97
3.2.	ESTRUCTURA DE PROGRAMACIÓN DEL GENERADOR DE CÓDIGO	99
3.2.1.	Módulo de Conversión de Antecedentes	99
3.2.2.	Módulo de Reglas	100
3.2.3.	Módulo de Centroide	101
3.2.4.	Acople.....	102
4.	APLICACIÓN: CONTROL FUZZY DE LA TEMPERATURA DE UNA RESISTENCIA DE CALEFACCIÓN	103
4.1.	CARACTERÍSTICAS DEL SISTEMA	103
4.2.	CONTROLADOR FUZZY DESDE EL COMPUTADOR.....	112
4.3.	Programa Principal	114
4.1.1.1.	Interfase con el Usuario	114
4.1.1.2.	Subrutina de Control.....	115
4.4.	CONTROLADOR FUZZY BASADO EN MICROCONTROLADOR ...	116
4.1.1.3.	Diagrama de Flujo del Control de Temperatura	117
4.1.1.4.	Programa de Control <i>Fuzzy</i> en Código Ensamblador para los Microcotroladores PIC16F873 y HC08JL3	119
5.	DISEÑO DEL HARDWARE PARA EL CONTROLADOR FUZZY	120
5.1.	DESCRIPCIÓN	121
5.2.	MODULO 1	122
5.2.1.1.	Fuente de Alimentación (Figura 55).....	122
5.2.1.2.	Detector de Cruce por Cero (Figura 56)	123
5.2.1.3.	Elemento de Control de Potencia (Figura 57)	124
5.3.	MODULO 2.....	124

5.3.1.1.	Sensor de Temperatura (Figura 58).....	125
5.3.1.2.	Etapa de Acondicionamiento de la Señal Analógica (Figura 60).....	126
5.3.1.3.	Etapa De Entrada De Datos Al Sistema.....	127
5.3.1.4.	Interfaz Gráfica con el Usuario (modulo LCD) (Figura 62).....	128
5.3.1.5.	Etapa Selección del Microcontrolador (Figura 65).....	129
5.3.1.6.	Etapa Oscilador del Sistema (Figura 66).....	130
5.3.1.7.	Etapa Reset del Sistema (Figura 67).....	130
5.3.1.8.	Etapa Microcontrolador PIC 16F873 (Figura 68).....	131
5.3.1.9.	Etapa Microcontrolador Motorola MC6HC908JL3 (Figura 69).....	132
5.3.1.10.	Etapa de Interfase para Comunicación Serial Asíncrona con el PC.....	133
5.3.1.11.	Terminales Varios de Entrada-Salida.....	134
6.	RESULTADOS	135
6.1.	PRUEBA cON LOS MICROCONTROLADORES	135
6.2.	prueba utilizando el computador.....	145
7.	CONCLUSIONES	152
8.	REFERENCIAS BIBLIOGRÁFICAS.....	156
	ANEXOS.....	
	Anexo 1 Características de los Microcontroladores (16f873, mchc908jl3).	158
	Anexo 2 Formato en Lenguaje Ensamblador Microcontroladores (16f873, Mchc908jl3) de Programa Control <i>Fuzzy</i>	16158
	Anexo 3 Documentacion Archivo Fc Utilizado en la Aplicación.	18986
	Anexo4 Programa en Lenguaje Ensamblador Microcontroladores (16f873, Mchc908jl3) Utilizado en la Aplicación.....	194

Lista de Tablas

PAG

Tabla 1: Operaciones básicas sobre conjuntos <i>Fuzzy</i>	33
Tabla 2: Operadores lógicos.....	35
Tabla 3: Funciones de membresía (Z, S, Trapezoidal, Triangular)	59
Tabla 4: Formato de la Base de Reglas.....	95
Tabla 5: Reglas utilizadas para la caracterización del control <i>Fuzzy</i> de temperatura.....	110

Lista de Ecuaciones

PAG

Ecuación 1: Representación matemática de un conjunto <i>Fuzzy</i>	29
Ecuación 2: Representación matemática de la función de membresía triangular.....	29
Ecuación 3: Representación matemática de la función de membresía triangular.....	30
Ecuación 4: Representación matemática de la función de membresía trapezoidal....	30
Ecuación 5: Representación matemática de la función de membresía trapezoidal.....	30
Ecuación 6: Representación matemática de la función de membresía S.....	31
Ecuación 7: Representación matemática de la función de membresía S.....	32
Ecuación 8: Representación matemática de la función de membresía Z.....	32
Ecuación 9: Representación matemática de la función de membresía Z.....	32
Ecuación 10: Representación matemática de la función de membresía Singleton.....	32
Ecuación 11: Defuzificación por medio de centroide.....	56
Ecuación 12: Recta A.....	61
Ecuación 13: Constante.....	62
Ecuación 14: Recta D.....	63

Ecuación 15: Calculo de la variable Error.....	102
Ecuación 16: Calculo de la variable Variación del error.....	102
Ecuación 17: Temperatura deseada igual a temperatura actualmente leída.....	103
Ecuación 18: Variación del error.....	103
Ecuación 19: Voltaje <i>Rms</i> de salida.....	105
Ecuación 20: Voltaje <i>Rms</i> de salida.....	106
Ecuación 21: Voltaje <i>Rms</i> de salida.....	106
Ecuación 22: Potencia en la carga.....	106
Ecuación 23: Potencia en la carga.....	106
Ecuación 24: Potencia en la carga.....	106
Ecuación 25: Número de Reglas en un control Fuzzy.....	108
Ecuación 26: Número de Reglas en la aplicación.....	108
Ecuación 27: Ecuación sensor de temperatura.....	123
3	
Ecuación 28: Ganancia total del amplificador de la aplicación.....	124

Lista de Figuras

	PAG
Figura 1: Función de membresía triangular.....	29
Figura 2: Función de membresía trapezoidal.....	30
Figura 3: Función de membresía S.....	31
Figura 4: Función de membresía Z.. ..	32
Figura 5: Función de membresía Singleton.....	33
Figura 6: Variable lingüística.....	36
Figura 7: Esquema general de un controlador Fuzzy.....	37
Figura 8: <i>Project Manager</i>	40
Figura 9: Panel frontal <i>Fuzzy Set Editor</i>	41.
Figura 10: Panel frontal <i>Rule Base Editor</i>	42.
Figura 11: Panel frontal <i>Test</i>	43
Figura 12: Términos lingüísticos de la variable lingüística F	52
Figura 13: Términos lingüísticos de la variable lingüística G.....	52
Figura 14: Términos lingüísticos de la variable de salida	52

Figura 15: Proceso de inferencia Fuzzy.....	54
Figura 16: Diagrama de flujo simplificado de etapa fuzificación	56
Figura 17: Trapecio en el que se representa funciones de membresía	57
Figura 18: Segmentos de recta para la función de membresía trapezoidal.....	60
Figura 19: Recta A.....	65
Figura 20: Constante.....	65
Figura 21: Recta D.....	66
Figura 22: Diagrama de flujo subrutina de membresía.....	68
Figura 23: Diagrama de flujo algoritmo de inferencia.....	70
Figura 24: Diagrama de flujo algoritmo de Defuzificación.....	71
Figura 25: Icono del programa FUZZYE3T.	73
Figura 26: Logo del programa FUZZYE3T.....	74
Figura 27: Menú principal.....	75
Figura 28: Menú Archivo.	76
Figura 29: Menú Código Fuente.....	79

Figura 30: Menú Editor de Conjuntos Fuzzy.	81
Figura 31: Menú Base e Reglas.....	83
Figura 32: Menú Características E/S.....	85
Figura 33: Menú Ayuda.....	86
Figura 34: Interfaz gráfica de diseño del programa FUZZYE3T.....	89
Figura 35: Ventana de Inicio del programa FUZZYE3T, con la opción de abrir un archivo *.Fc.....	92
Figura 36: Ventana de inicio para crear un nuevo archivo de caracterización de controlador <i>Fuzzy</i>	93
Figura 37: Ventana de Inicio para obtener la Ayuda del programa FUZZYE3T.....	96
Figura 38: Panel Frontal del Editor de Conjuntos Fuzzy.....	97
Figura 39: Panel Frontal del Editor de Base de Reglas.....	98
Figura 40: Panel Frontal del Visor de Características de E/S.....	99
Figura 41: Programación gráfica del módulo de conversión de antecedentes.....	102
Figura 42: Programación gráfica del módulo de reglas.....	103
Figura 43: Programación gráfica del módulo de Centroide.....	106

Figura 44: Programación gráfica que acopla los módulos del Programa FUZZYASM

Figura 45: Esquema general del sistema.....

Figura 46: Funciones de membresía de los términos lingüísticos de la variable Error

Figura 47: Funciones de membresía de los términos lingüísticos de la variable Variación del Error.....

Figura 48: Ajuste de los términos lingüísticos de la variable de salida sobre su universo de discurso.....

Figura 49: Términos lingüísticos de la variable de salida Potencia _ ángulo.....

Figura 50: Interfase de usuario del programa de control de temperatura.....

Figura 51: Diagrama de flujo programa de control *Fuzzy* solo en el microcontrolador

Figura 52: Vista superior de los módulos construidos.....

Figura 53: Diagrama de bloques del sistema.....

Figura 54: Modulo 1 (Fuente, Actuador y Detector de cruce por cero).....

Figura 55: Fuente de Alimentación.....

Figura 56: Detector de Cruce por Cero.....

Figura 57: Elemento de Control de Potencia.....

Figura 58: Sensor de Temperatura.....	
Figura 59: Curva característica del sensor de temperatura.....	
Figura 60: Etapa de Acondicionamiento de la Señal Analógica.....	
Figura 61: Etapa Ajuste de <i>Set Point</i>	
Figura 62: Interfaz Grafica con el Usuario (modulo LCD)	
Figura 63: Vista real del modulo LCD.....	
Figura 64: Etapa Selección del Microcontrolador.....	
Figura 65: Etapa Selección del Microcontrolador.....	
Figura 66: Etapa Oscilador del Sistema.....	
Figura 67: Etapa Reset del Sistema.....	
Figura 68: Etapa Microcontrolador PIC 16F873.....	
Figura 69: Etapa Microcontrolador Motorola MC6HC908JL3.....	
Figura 70: Interfase para Comunicación Serial Asíncrona con el PC.....	
Figura 71: Temperatura vs tiempo para Pic 16f873.....	
Figura 72: Temperatura vs tiempo para Hc908jl3.....	

Figura 73: Voltaje presente en la carga cuando el control lo realiza el microcontrolador PIC 16f873 o el Motorola HC08JL3 par un Error igual a 20° C.....

Figura 74: Voltaje presente en la carga cuando el control lo realiza el microcontrolador PIC 16f873 o el Motorola HC08JL3 par un Error igual a 15° C.....

Figura 75: Voltaje presente en la carga cuando el control lo realiza el microcontrolador PIC 16f873 o el Motorola HC08JL3 par un Error igual a 10° C.....

Figura 76: Voltaje presente en la carga cuando el control lo realiza el microcontrolador PIC 16f873 o el Motorola HC08JL3 par un Error igual a 8° C.....

Figura 77: Voltaje presente en la carga cuando el control lo realiza el microcontrolador PIC 16f873 o el Motorola HC08JL3 par un Error igual a 6° C.....

Figura 78: Voltaje presente en la carga cuando el control lo realiza el microcontrolador PIC 16f873 o el Motorola HC08JL3 par un Error igual a 4° C.....

Figura 79: Voltaje presente en la carga cuando el control lo realiza el microcontrolador PIC 16f873 o el Motorola HC08JL3 par un Error igual a 1° C.....

Figura 80: Voltaje presente en la carga cuando el control lo realiza el microcontrolador PIC 16f873 o el Motorola HC08JL3 par un Error igual a 0° C.....

Figura 81: Grafica temperatura vs tiempo en el PIC 16f873 con perturbación externa

Figura 82: Voltaje presente en la carga cuando el control lo realiza el computador

Figura 83: Voltaje presente en la carga cuando el control lo realiza el computador

Figura 84: Voltaje presente en la carga cuando el control lo realiza el computador

Figura 85: Voltaje presente en la carga cuando el control lo realiza el computador

Figura 86: Voltaje presente en la carga cuando el control lo realiza el computador

Figura 87: Voltaje presente en la carga cuando el control lo realiza el computador

Figura 88: Voltaje presente en la carga cuando el control lo realiza el computador

INTRODUCCIÓN

En el ámbito de la automatización y el control de procesos industriales, los controladores con lógica Fuzzy se encuentran actualmente en una etapa de desarrollo acelerado de sus aplicaciones prácticas. El empleo de controladores con Lógica *Fuzzy* ha cobrado especial importancia en sistemas con características de funcionamiento desfavorables tales como: No-linealidad, interferencia, tiempo muerto y perturbaciones externas, etc.

La primera aplicación de la Lógica *Fuzzy* a la solución de problemas reales consistió en el control de una máquina de vapor, trabajo realizado por el ingeniero británico Ebrahim Mandani¹, a comienzos de los años 70's. Sin embargo, la idea fue introducida en el campo de la ingeniería actual hacia el año 1965 por un matemático iraní; Lotfi Zadeh² profesor de la universidad de California en Berkeley (Estados Unidos), quien propuso la Lógica *Fuzzy* como un método de razonamiento abstracto similar al patrón de pensamiento humano para representar los problemas de control del mundo real.

Con el avance de la electrónica y en especial de los sistemas VLSI (o ULSI), es posible no solo implementar eficientemente las aplicaciones de control desde el computador, sino también desde pequeños sistemas electrónicos basados en microcontroladores,

¹ Mamdani, E. H. "Applications of Fuzzy Algorithms for Simple Dynamic Plant", Proc. IEEE, vol. 121, pp. 1585-1588, 1974.

² Zadeh, L. A., "Fuzzy sets, Information and Control", vol. 8, pp. 338-353, 1965.

microprocesadores o DSPs. Lo anterior, con la reducción del costo y el tiempo de implementación de dichos sistemas han constituido factores decisivos en la consolidación de Lógica *Fuzzy* en el medio tecnológico comercial.

En este proyecto se desarrolla una herramienta básica en software y hardware para la implementación eficiente, rápida, y económica de un tipo de controlador con Lógica *Fuzzy* basado en un microcontrolador de gama media o baja. Se trata esencialmente de un algoritmo en lenguaje ensamblador para microcontroladores PIC y MOTOROLA, y que puede extenderse fácilmente para su uso en sistemas basados en Microprocesador o Procesador digital de señales (DSP).

Se evalúa entonces el control con Lógica *Fuzzy* tanto desde el computador como desde el microcontrolador, para luego comparar su desempeño. En la primera alternativa, haciendo el control desde el computador, se obtienen las señales de entrada a través de una tarjeta de adquisición de datos externa, luego se procesan en el computador mediante lógica *Fuzzy* y por ultimo se entrega una señal de salida a un sistema realimentado para probar la eficiencia de dicho control. Ahora bien la segunda alternativa, se diferencia de la anterior en cuánto el algoritmo de control *Fuzzy* es ejecutado exclusivamente y de manera autónoma desde un microcontrolador PIC16F873 o Motorola MC68HC908JL3.

La consecución de este aporte tecnológico es de gran significado para la Escuela de Ingenierías Eléctrica, Electrónica y Telecomunicaciones por cuánto implica el paso concreto de la conceptualización a la puesta en práctica de sistemas de control lógicos *Fuzzy* de este tipo en nuestra universidad.

Motivaron a la realización de este proyecto, las grandes expectativas de nuestra creciente industria y sus necesidades de sistemas de control altamente eficientes a costos reducidos. Particularmente, la idea surge al dar soporte tecnológico a la automatización de la Planta Piloto para la Formación e Inhibición de Hidratos, del Centro de

Investigación del Gas de la Universidad Industrial de Santander. El detalle de este trabajo puede ser consultado en la tesis de grado titulada: “DISEÑO E IMPLEMENTACIÓN DE ALGORITMOS PARA LA AUTOMATIZACIÓN DE UNA PLANTA DE FORMACIÓN E INHIBICIÓN DE HIDRATOS BAJO CONDICIONES DINÁMICAS”³.

Este proyecto se enmarca en la misión de impulsar el desarrollo empresarial, social y científico de nuestro país, y a su vez fortalece el vínculo universidad, sociedad y empresa.

La organización del presente texto es la siguiente:

El Capítulo uno (1) consta de un Marco Teórico, en el cual se hace una breve inducción a la Lógica *Fuzzy*, al software (y el lenguaje de programación) con el cual se desarrolla el proyecto y a la perspectiva del diseño de hardware. Conceptos claves para la comprensión de las temáticas tratadas más adelante.

Los dos capítulos siguientes son esenciales en el desarrollo de este proyecto de grado:

En el Capítulo dos (2) se presenta el diseño del formato de software de control *Fuzzy* en lenguaje ensamblador, con el cual se logra implementar el control *Fuzzy* en microcontroladores de propósito general.

³ ALVERNIA GÁLIVIZ, Luis Emiro. RODRÍGUEZ GÓMEZ, Jorge Eliécer. “Diseño e Implementación de Algoritmos para la Automatización de una Planta de Formación e Inhibición de Hidratos bajo condiciones dinámicas “. Bucaramanga, Colombia, 2003. Proyecto de grado (Ingenieros Electrónicos). Universidad Industrial de Santander. Facultad de Ingenierías Físico – mecánicas. Escuela de Ingenierías Eléctrica, Electrónica y Telecomunicaciones.

El Capítulo tres (3) se describe el programa FUZZYE3T, elaborado en LabVIEW para implementar el formato de software de control *Fuzzy* en aplicaciones particulares definidas por el usuario.

En el capítulo cuatro (4) se desarrolla un ejemplo de aplicación del formato de control *Fuzzy* y del software FUZZYE3T. Se controla la temperatura de un sistema realimentado simple: Un elemento resistivo de calefacción. Se plantean las características del sistema y se implementa un control *Fuzzy*; utilizando como dispositivo de procesamiento, primero el computador y luego un microcontrolador.

El diseño de la tarjeta electrónica para la demostración del control *Fuzzy* (tanto desde el microcontrolador como desde el computador) así como las principales características de sus componentes se analizan en el Capítulo cinco (5) de esta tesis.

El Capítulo seis (6) recoge los resultados de las pruebas hechas al control lógico *Fuzzy* implementado.

Finalmente, en el Capítulo siete (7) se dan las conclusiones obtenidas en el presente trabajo y las tendencias que se sugiere tener en cuenta para la implementación de controladores *Fuzzy* de carácter comercial para la industria.

OBJETIVOS

OBJETIVO GENERAL

Desarrollar una herramienta software y hardware para la implementación de un controlador con Lógica *Fuzzy* en el computador y el microcontrolador.

OBJETIVOS ESPECÍFICOS

- Recopilar y analizar el material bibliográfico referente a los conceptos básicos de Lógica *Fuzzy* y al sistema electrónico de la planta donde será implementado el controlador.
- Diseñar y construir el hardware necesario para implementar un control *Fuzzy* de temperatura, ya sea desde el computador o desde un microcontrolador (PIC 16F873 o Motorola MC68HC908JL3).
- Implementar un sistema de control *Fuzzy* de temperatura desde el computador utilizando el paquete *Fuzzy Logic Toolkit* de LabVIEW.
- Elaborar en LabVIEW un algoritmo que permita generar un archivo en código ensamblador para ejecutar en el microcontrolador (PIC 16F873 o Motorola

MC68HC908JL3) un control con Lógica *Fuzzy*, a partir de la caracterización del controlador que se haga en el entorno de programación de *Fuzzy Logic Toolkit*.

- Realizar pruebas de desempeño al controlador lógico *Fuzzy*, mediante la utilización de variables reales.
- Elaborar el documento de soporte y el manual técnico de operación para el usuario del controlador lógico *Fuzzy*.

1. MARCO TEÓRICO

En el contexto de ingeniería en el cual se concibe la herramienta en software y hardware para el desarrollo de controladores con lógica *Fuzzy*, tratada en esta tesis, se destacan principalmente los siguientes aspectos:

La lógica *Fuzzy*, como fundamentación teoría para la realización de estrategias de control no convencionales.

LabVIEW, software especializado de alto nivel utilizado en este proyecto para la caracterización e implementación de un tipo de controladores *Fuzzy*.

Assembler, lenguaje de programación en bajo nivel al cual se traduce un programa de control *Fuzzy* para ejecutar desde un microcontrolador, en este proyecto.

Hardware, pautas generales para tener en cuenta al particularizar el hardware del controlador *Fuzzy*.

1.1. LÓGICA FUZZY

La **Lógica** (del griego *logos* = razón) es la ciencia que trata los principios formales y normativos (leyes, modos y formas) del razonamiento. La **lógica clásica** hace referencia al **razonamiento lógico**, con el cual se deduce una conclusión a partir de **proposiciones precisas** relacionadas por medio de implicaciones; y en donde los **valores de certeza**

son normalmente **Uno (1)** para **Verdadero** y **Cero (0)** para **Falso**. La **lógica Fuzzy** por su parte, hace referencia al **razonamiento aproximado** con el cual se deduce una conclusión a partir de **proposiciones imprecisas** relacionadas por medio de implicaciones *Fuzzy*; y en donde el **grado de certidumbre** normalmente esta asociado al **intervalo [0;1]**, aceptándose de esta forma valores intermedios entre falso (0) y verdadero (1).

La característica principal de la *lógica Fuzzy* es la asignación de un grado de verdad a las fórmulas lógicas y está basada en la teoría matemática de los conjuntos *Fuzzy*, ésta se describe brevemente a continuación.

1.1.1. Conjuntos *Fuzzy*

Un conjunto *Fuzzy* es una clase de objetos (x's) cuyo grado de pertenencia al conjunto se representa mediante una función característica continua entre 0 (no pertenencia) y 1 (pertenencia completa). Dicha función es llamada **función de membresía** (o pertenencia) y se representa con la letra μ ; puede interpretarse como una medida de la compatibilidad entre un valor del dominio (D) y la idea fundamental encerrada en el conjunto *Fuzzy*.

Como una extensión de la teoría de conjuntos clásica se tiene que: Un conjunto *Fuzzy* se considera **vacío** cuando su función de pertenencia es igual a cero (0) para todos los elementos del conjunto. Dos conjunto *Fuzzy* se consideran **iguales** cuando el valor de sus funciones de membresía es igual para todos los elementos del dominio. Un conjunto *Fuzzy* A es **subconjunto** de un conjunto *Fuzzy* B, si para cada elemento el grado de pertenencia al conjunto A es menor o igual que el grado de pertenencia al conjunto B. A diferencia de la teoría clásica de conjuntos, en teoría de conjuntos *Fuzzy*, la unión de un conjunto *Fuzzy* y su complemento no produce el Universo; y la intersección de un conjunto *Fuzzy* y su complemento no es vacía. Las operaciones básicas de conjuntos se verán más adelante.

Un conjunto *Fuzzy* A puede representarse como pares elemento – grado de pertenencia, de la siguiente forma:

$$A = \{(x, \mu(x)) / x \in D\} \text{ Ec. 1}$$

1.1.1.1. Funciones de Membresía

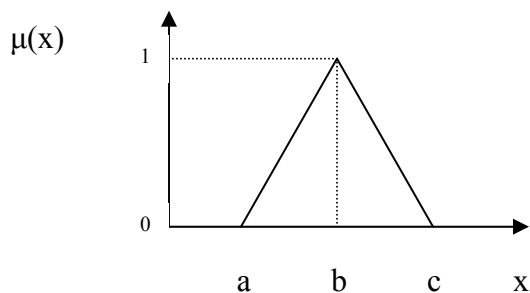
Aunque en principio la función de membresía puede tomar cualquier forma, en general es preferible usar funciones simples por cuanto simplifican los cálculos; a continuación se presentan las funciones de membresía usadas en el presente texto:

1.1.1.1.1. Triangular

Definida por sus límites inferior a , superior c , y el valor modal b ; tal que:

$$\mu_{\Delta}(x) = \begin{cases} 0 & \text{si } x \leq a \\ \frac{(x-a)}{b-a} & \text{si } x \in (a, b] \\ \frac{(c-x)}{(c-b)} & \text{si } x \in (b, c) \\ 0 & \text{si } x \geq c \end{cases} \text{ Ec. 2.}$$

Figura 1. Función de membresía triangular.



También puede representarse como:

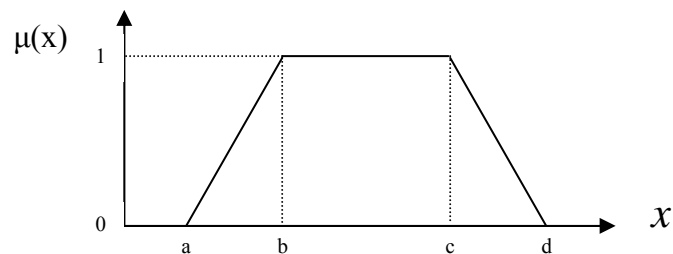
$$\mu_{\Delta}(x; a, b, c) = \max\left\{\min\left\{\frac{(x-a)}{b-a}, \frac{(c-x)}{(c-b)}\right\}, 0\right\} \quad \text{Ec. 3.}$$

1.1.1.1.2. Función Trapezoidal

Definida por sus límites inferior **a** y superior **d**, y los valores intermedios inferior **b** y superior **c**.

$$\mu_{\Pi}(x) = \begin{cases} 0 & \text{si } x \leq a, \vee, x \geq d \\ \frac{(x-a)}{b-a} & \text{si } x \in (a, b) \\ 1 & \text{si } x \in [b, c] \\ \frac{(d-x)}{(d-c)} & \text{si } x \in (c, d) \end{cases} \quad \text{Ec. 4}$$

Figura 2. Función de membresía trapezoidal.



Opcionalmente, puede representarse como:

$$\mu_{\Pi}(x; a, b, c, d) = \max\left\{\min\left\{\frac{(x-a)}{(b-a)}, 1, \frac{(d-x)}{(d-c)}\right\}, 0\right\} \quad \text{Ec. 4.}$$

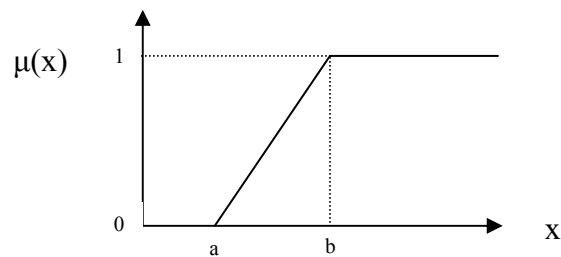
1.1.1.1.3. Función S

Las aproximaciones por segmentos de recta de las funciones S y Γ (Gamma) son similares, y corresponden básicamente a:

$$\mu_s(x) = \begin{cases} 0 & \text{si } x \leq a \\ \frac{(x-a)}{b-a} & \text{si } x \in (a,b) \\ 1 & \text{si } x \geq b \end{cases} \quad \text{Ec. 5.}$$

Gráficamente como se ve en la siguiente figura:

Figura 3. Función de membresía S.



Esta función puede representarse también como:

$$\mu_s(x; a, b) = \max \left\{ \min \left\{ \frac{(x-a)}{b-a}, 1 \right\}, 0 \right\} \quad \text{Ec. 6.}$$

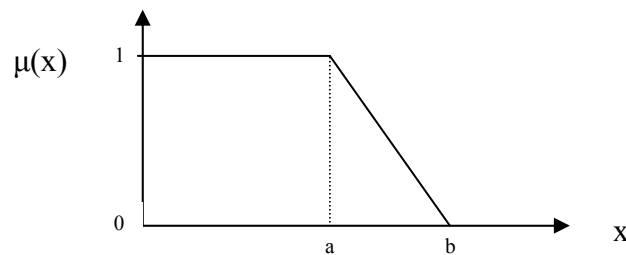
1.1.1.1.4. Función Z

En su forma lineal coincide con la de función S y se puede expresar como:

$$\mu_z(x) = \begin{cases} 1 & \text{si } x \leq a \\ \frac{(b-x)}{(b-a)} & \text{si } x \in (a,b) \\ 0 & \text{si } x \geq c \end{cases} \text{ Ec. 7.}$$

Gráficamente:

Figura 4. Función de membresía Z.



Además, puede expresarse de la siguiente forma:

$$\mu_z(x; a, b) = \max \left\{ \min \left\{ 1, \frac{(b-x)}{(b-a)} \right\}, 0 \right\} \text{ Ec. 8.}$$

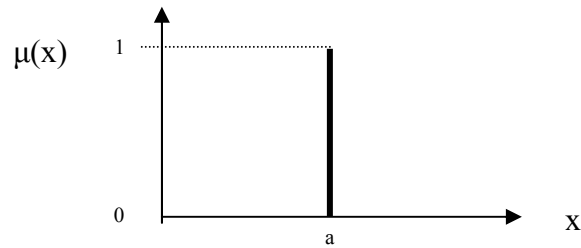
1.1.1.1.5. Singleton

Esta es una función de membresía normalizada muy especial, debido a que se considera como un pulso de ancho infinitesimal establecido en un punto dado de las abscisas. El *singleton* es útil para modelar un valor *crisp* con un conjunto *Fuzzy*. Puede expresarse como:

$$\mu_\delta(x) = \begin{cases} 1 & \text{si } x = a \\ 0 & \text{si } x \neq a \end{cases} \text{ Ec. 9.}$$

Gráficamente, tiene la siguiente forma:

Figura 5. Función de membresía de tipo *singleton*.



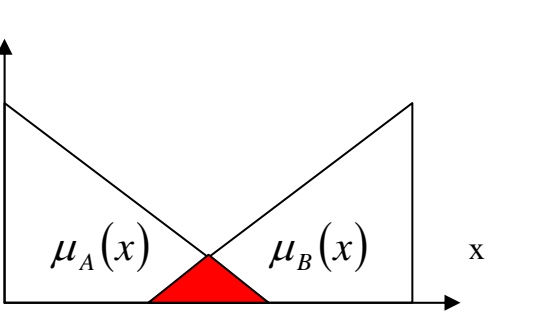
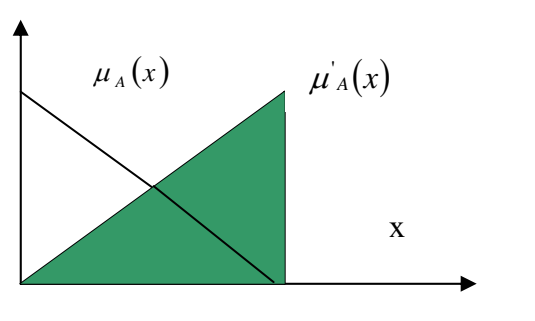
1.1.1.2. Operaciones Básicas sobre Conjuntos *Fuzzy*

Las operaciones básicas sobre conjuntos *Fuzzy* son: Unión, intersección y complemento. Cada una de estas operaciones sobre conjuntos *Fuzzy* da como resultado otro conjunto *Fuzzy*. Según las definiciones de Zadeh, la función de membresía para la **unión** e **intersección** de conjuntos *Fuzzy* representa respectivamente el **máximo** y el **mínimo** grado de pertenencia de cada elemento al conjunto; mientras que la función de membresía del **complemento** de un conjunto *Fuzzy* representa la **diferencia** entre la pertenencia total (1) y el grado de pertenencia de cada elemento al conjunto.

A continuación se presenta una descripción simbólica y una gráfica para cada operación, en el universo de discurso X tal que: $x \in X$.

Tabla 1. Operaciones básicas sobre conjuntos *Fuzzy*.

OPERACIÓN	DESCRIPCIÓN	
	SIMBÓLICA	GRÁFICA
Unión	$\mu_{A \cup B}(x) = \max\{\mu_A(x), \mu_B(x)\}$	

<p>Intersección</p>	$\mu_{A \cap B}(x) = \min\{\mu_A(x), \mu_B(x)\}$	
<p>Complemento</p>	$\mu'(x) = 1 - \mu(x)$	

1.1.2. Relaciones Fuzzy

Una relación *Fuzzy* establece cierto grado de interacción o asociación entre los elementos de los conjuntos *Fuzzy*. Las relaciones entre conjuntos *Fuzzy* dan como resultado otros conjuntos *Fuzzy* y pueden establecerse tanto sobre dominios iguales como diferentes.

Las relaciones *Fuzzy* se forman a partir de modelos de inferencia y permiten establecer propiedades de conexión entre conjuntos *Fuzzy*.

Otras operaciones importantes son el producto cartesiano de conjuntos *Fuzzy* y la composición de relaciones *Fuzzy*.

1.1.3. Operadores Lógicos

En el resumen de las definiciones de operadores lógicos que se presenta a continuación se utiliza la nomenclatura $v(A)$ que representa el grado de verdad de la fórmula lógica.

Tabla 2. Operadores lógicos.

OPERADOR LÓGICO	FÓRMULA LÓGICA
Negación	$v(\neg A) = 1 - v(A)$
Conjunción	$v(A \wedge B) = \min\{v(A), v(B)\}$
Disyunción	$v(A \vee B) = \max\{v(A), v(B)\}$
Implicación³	$v(A \Rightarrow B) = \max\{1 - v(A) + v(B), 1\}$
Universal	$v(\forall xP(x)) = \inf\{v(P(x_i))\}$
Existencial	$v(\exists xP(x)) = \sup\{v(P(x_i))\}$

1.1.4. Inferencia *Fuzzy*

Es el método con el cual se realizan los razonamientos dentro de la lógica *Fuzzy*. Es el proceso de aplicar una relación en particular para la evaluación de una implicación difusa. Según la relación utilizada la inferencia recibe un calificativo, normalmente el nombre de la relación utilizada.

1.1.5. Variable y términos lingüísticos

En Lógica *Fuzzy*, se puede decir que, una variable lingüística es un esquema lingüístico que tiene un significado susceptible de ser completado o ampliado por términos lingüísticos. Define el estado de un proceso variable por el grado de membresía de los parámetros de cada término lingüístico que la componen.

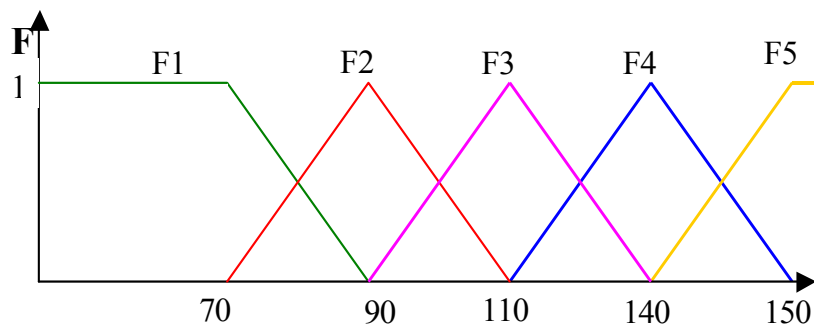
³ La implicación lógica *fuzzy* puede definirse de varias formas, aquí se presenta la de Lukasiewicz.

Cada Variable Lingüística está conformada por un conjunto de propiedades entre las cuales podemos destacar:

- ✂ **Nombre de la Variable.** Es una etiqueta con la que se distingue la naturaleza de la variable (por ejemplo, Error de Temperatura, Cambio de Error, etc).
- ✂ **Universo de Discurso.** Es el intervalo real dentro del cual la variable concreta puede tomar un valor (por ejemplo, $[-1,1]$, $[0,100]$, etc).
- ✂ **Términos Lingüísticos.** Son los posibles calificativos que puede tomar la variable (por ejemplo negativo, bajo, medio, máximo, etc.).

Los términos lingüísticos son atributos (categorías, etiquetas) semánticos para describir la variable lingüística en todo su espacio *Fuzzy*. Un término es definido cuantitativamente por la correspondiente función de membresía del conjunto *Fuzzy* que lo representa. En la siguiente figura se muestra una variable lingüística determinada (F) con la definición de sus términos lingüísticos (F1, F2, F3, F4, F5).

Figura 6. Variable lingüística.



x

1.1.6. Conceptos del Diseño *Fuzzy*

En esencia, un controlador lógico *Fuzzy* contiene un algoritmo capaz de convertir una estrategia lingüística de control en una estrategia de control automático. Dicho algoritmo se basa en reglas obtenidas a partir del conocimiento empírico de cómo controlar el fenómeno, sin necesidad de conocer el modelo matemático del sistema a controlar. Este conocimiento puede expresarse de una manera muy natural, empleando las variables lingüísticas que son descritas mediante conjuntos *Fuzzy*.

Diseñar un controlador *Fuzzy* significa esencialmente escribir las reglas de control, determinando los antecedentes y los consecuentes. Dicho diseño plantea como mínimo la selección de los siguientes parámetros:

- a) Número de Variables Concretas de Entrada y de Salida.
- b) Estructura de las Variables Lingüísticas asociadas a cada Variable Concreta de Entrada y de Salida.
- c) Definición de los Conjuntos *Fuzzy* asociados a cada Valor Lingüístico de cada Variable Lingüística.
- d) Definición del tipo de Fuzificador empleado para cada Variable de Entrada.
- e) Definición del número de reglas presentes en la Base de reglas.
- f) Valores Lingüísticos de cada una de las variables del Antecedente y del Consecuente para cada regla.

g) Tipo de relación de Implicación, operador AND, OR es la composición a utilizar en el Motor de Inferencia.

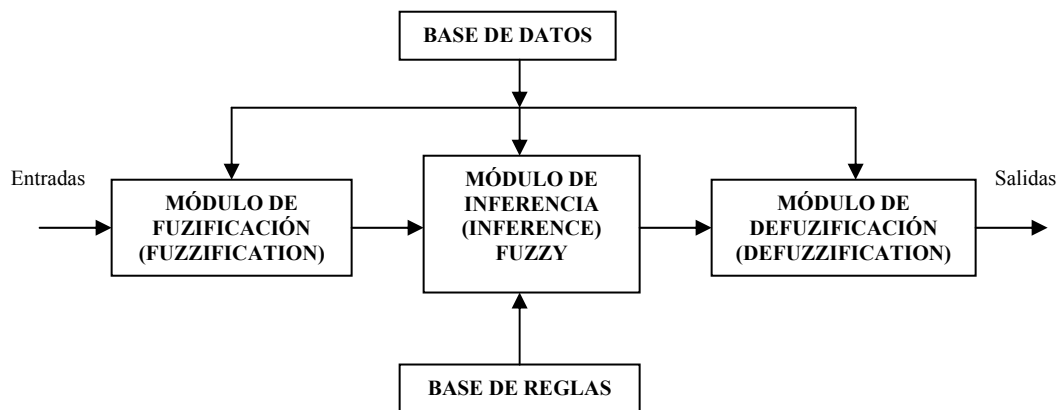
h) Tipo de Defuzificador empleado para cada Variable de Salida.

i) Tipo de Unión o Intersección a utilizar en el Defuzificador.

El objetivo de un sistema de control *Fuzzy* es encontrar una respuesta satisfactoria, es decir que la salida de la planta siga a la entrada de referencia a pesar de la presencia de disturbios en la planta y de los errores en el sensor.

El proceso de mantener la salida del controlador cerca de la referencia o *setpoint* se conoce como el proceso de regulación. Cuando un sistema tiene buena regulación en presencia de disturbios se dice que tiene buen rechazo al disturbio. A un sistema que tiene buena regulación ante cambios en los parámetros de la planta se le llama de baja sensibilidad a estos parámetros. Un sistema que tiene tanto buen rechazo al disturbio como baja sensibilidad se le conoce como robusto.

Figura 7. Esquema general de un controlador *Fuzzy*.



1.1.6.1. Estructura General de un Controlador *Fuzzy*

Contempla básicamente las siguientes etapas: Módulo de Fuzificación, Base de conocimiento, Módulo de Inferencia, y Módulo de Defuzificación. En la figura siete (7) se presenta el esquema de esta estructura general.

Un Sistema de Lógica *Fuzzy* puede entenderse como un sistema no lineal de múltiples entradas y múltiples salidas, cuya estructura interna es del mismo tipo que la anterior.

1.1.6.1.1. Módulo de Fuzificación

Es la etapa inicial, en ella se trasladan las entradas precisas (por ejemplo la lectura tomada por un sensor de temperatura) dentro de una representación lingüística. Es decir, transforma las variables de entrada en sus respectivos valores difusos definidos por los términos lingüísticos de los conjuntos difusos a los que pertenecen y su correspondiente grado de pertenencia.

1.1.6.1.2. Base de conocimientos

Esta etapa esta formada por dos (2) componentes básicos:

- ⌘ **Base de Datos:** Son los conceptos asociados para caracterizar las reglas del control *Fuzzy*. Estos conceptos, generalmente se definen subjetivamente con base en el conocimiento de los expertos.

- ⌘ **Base de Reglas de Control *Fuzzy*:** Permite la toma de las decisiones de control. Las reglas de control tratadas en este caso son del tipo: **SI** {antecedente} **ENTONCES** {consecuente}.

1.1.6.1.3. Módulo de Inferencia *Fuzzy*

Son los procedimientos con los que se evalúa la estrategia de control contenida en las reglas lógicas *Fuzzy*, por medio de la implicación *Fuzzy*. En esta etapa se selecciona entre las reglas definidas para el controlador las que tienen un grado de certeza mayor que cero (soporte) para los valores *Fuzzy* calculados en la etapa de Fuzificación y se calcula el grado en que éstas influyen a la decisión final.

1.1.6.1.4. Módulo de Defuzificación

Traslada el resultado de la etapa anterior a un valor preciso. Es decir, las acciones de control de tipo *Fuzzy* se transforman, en esta etapa, en acciones de control de tipo cuantitativo, que permiten un adecuado funcionamiento de uno o más actuadores del sistema bajo control. Esto se logra aplicando las conclusiones de control de tipo *Fuzzy* a los conjuntos *Fuzzy* de las variables de salida.

1.2. LABVIEW

LabVIEW es un software que ofrece un ambiente de desarrollo gráfico con una metodología fácil de dominar por ingenieros y científicos. Con esta herramienta se pueden crear fácilmente interfaces de usuario para la instrumentación virtual sin necesidad de elaborar código de programación. Para especificar las funciones sólo se requiere construir diagramas de bloque. Se tiene acceso a una paleta de controles de la cual se pueden escoger desplegados diferentes tipos de controles e indicadores (numéricos, medidores, termómetros, tanques, gráficas, etc.) e incluirlos como iconos en la programación de la aplicación.

Se basa en un modelo de programación de flujo de datos denominado G, que libera a los programadores de la rigidez de las arquitecturas basadas en texto, aunque también las permite a través de los CIN's (Code Interface Node). El Paquete de software *NI LabVIEW Professional development System*, además, es un sistema de programación gráfica que tiene un compilador que genera código optimizado, cuya velocidad de

ejecución es comparable al lenguaje C. Los desarrollos construidos son plenamente compatibles con las normas VISA, GPIB, VXI y la alianza de sistemas VXI Plug & Play.

El paquete software adicional *Fuzzy Logic for G Toolkit* de LabVIEW provee un entorno para la caracterización de los controladores *Fuzzy*. Este se describe a continuación.

1.2.1. Fuzzy Logic Toolkit

Con *Fuzzy Logic for G Toolkit* es posible diseñar controladores con lógica *Fuzzy* e implementarlos en aplicaciones desarrolladas en LabVIEW. Combinando los VI's de éste *Toolkit* con las funciones lógicas y matemáticas de LabVIEW, es posible desarrollar estrategias de control real mediante diagramas de bloques.

Este *Toolkit* posee cuatro VI's principales: *Fuzzy Logic Controller Design VI*, *Load Fuzzy Controller VI*, *Fuzzy Controller VI*, y *Test Fuzzy Control VI*.

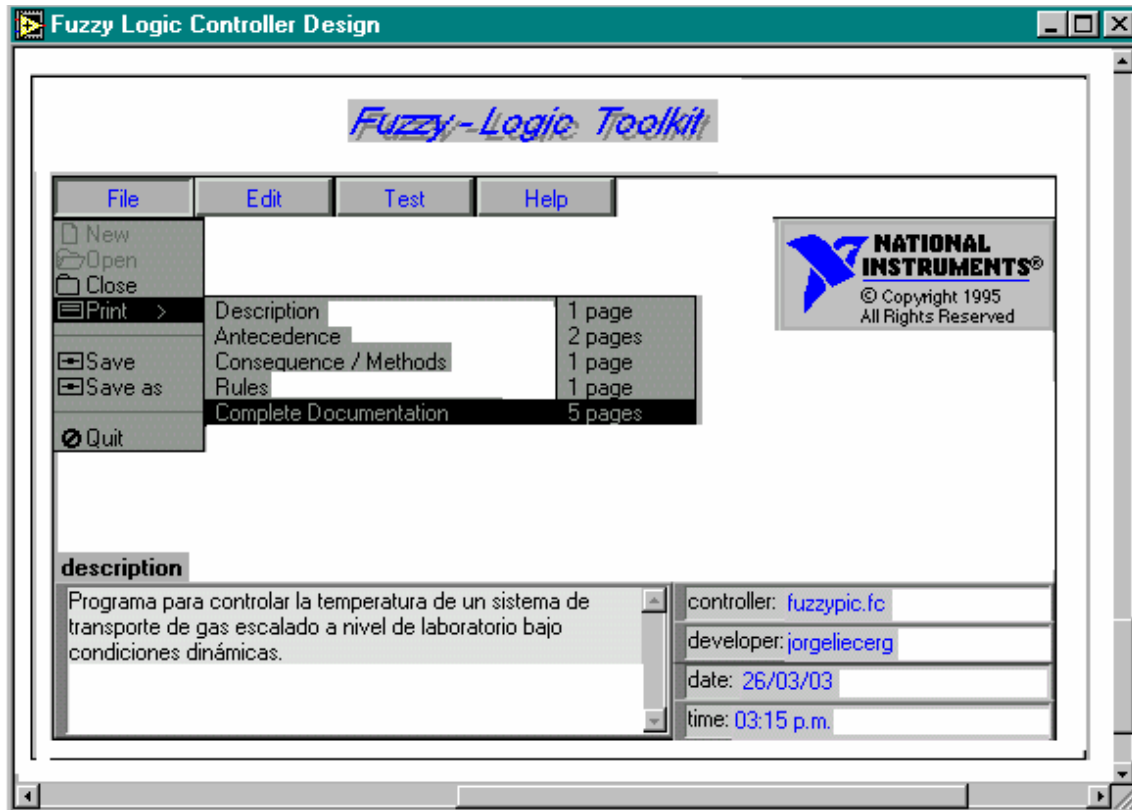
1.2.1.1 Fuzzy Logic Controller Design VI

Este VI provee una interfase gráfica de usuario para definir las funciones de membresía, la base de reglas de control y los parámetros del controlador *fuzzy*. Los SubVIs que estructuran este VI se organizan en cuatro capas de abstracción: *Project Manager*, *Fuzzy Set Editor*, *Rule Base Editor* y *Test*.

1.2.1.1.1. Project Manager

Este SubVI contiene el proyecto. Su panel frontal puede verse en la siguiente figura.

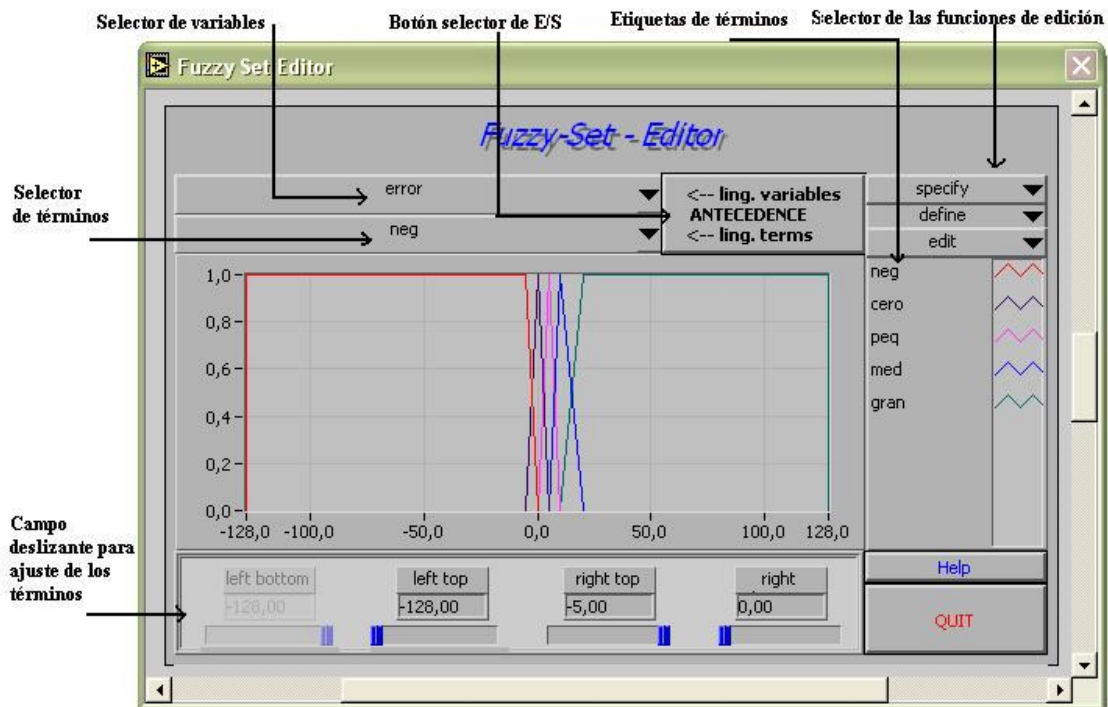
Figura 8. *Project Manager* .



1.2.1.1.2. Fuzzy Set Editor

Con este SubVI se definen y modifican las variables y sus términos lingüísticos. En la siguiente figura se ve su panel frontal.

Figura 9. Panel frontal de *Fuzzy Set Editor*.

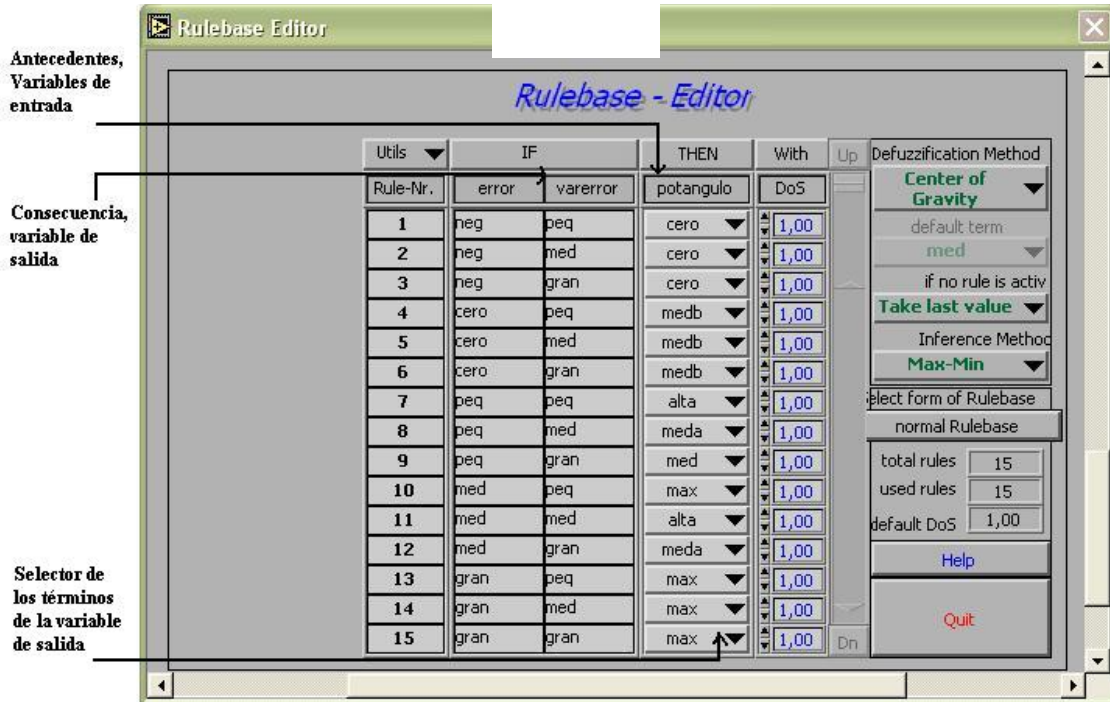


El editor presenta unos valores por defecto que pueden ser modificados mediante los campos de selección y ajuste de variables y términos lingüísticos. Además, mediante los atributos de edición se accede a opciones como renombrar, cambiar rangos, adicionar y remover términos y variables, etc.

1.2.1.1.3. Rule Base Editor

Con este SubVI se define y modifica la base de reglas del sistema *fuzzy* a desarrollar. El panel frontal de este SubVI puede verse en la siguiente figura.

Figura 10. Panel frontal de *Rule Base Editor*.



El *Rule Base Editor* presenta unos valores por defecto que pueden ser modificados mediante la manipulación de los selectores de campo provistos en el.

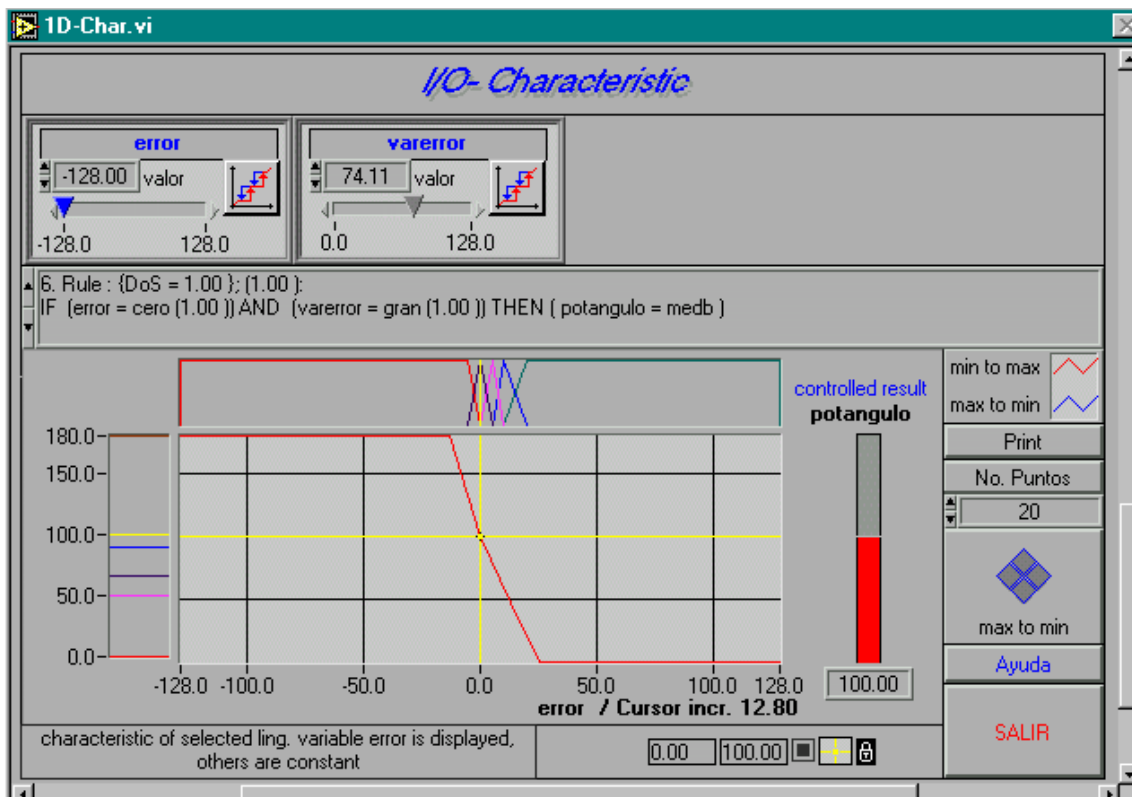
Cada regla esta asociada con un factor de peso o grado de soporte (DoS) para acentuar o reducir la influencia de la regla en la caracterización del controlador. El factor de peso junto con técnicas tales como los algoritmos genéticos puede ser una excelente alternativa para la optimización del controlador.

En este panel frontal también es posible modificar el método de Defuzificación (*Center of Maximum, Center of Gravity, Mean of Maximum*) entre otras opciones.

1.2.1.1.4. Test

Con este SubVI se prueban las características de entrada/salida del controlador *fuzzy* desarrollado mediante los SubVIs anteriores. El panel frontal de este SubVI se ve a continuación.

Figura 11. Panel frontal de *Test*.



1.2.1.2 Load Fuzzy Controller VI

Este VI carga el conjunto completo de parámetros e información del controlador definidos en el VI anteriormente descrito. La extensión del archivo usada para el archivo de datos es “*fc*”.

1.2.1.3. Fuzzy Controller VI

Este VI es utilizado para implementar la aplicación de control con lógica *Fuzzy* en LabVIEW. Para la utilización de este VI se requiere que el archivo de datos del controlador (desarrollado con el *Fuzzy Logic Controller Design VI*) sea cargado antes (mediante el *Load Fuzzy Controller VI*) y cableado al terminal de entrada de este VI.

1.2.1.4. Test Fuzzy Control VI

Este VI es un ejemplo de aplicación para probar el controlador *Fuzzy* desarrollado con *Fuzzy Logic Toolkit*. Al iniciar este VI requiere del archivo de datos del controlador *Fuzzy*.

Para mayor información al respecto de *Fuzzy Logic Toolkit for LabVIEW* remítase al Anexo 1 y a las referencias bibliografías del presente texto.

1.2.1.5. Restricciones

Para el desarrollo de un controlador en *Fuzzy Logic Toolkit for LabVIEW*, se deben tener en cuenta las siguientes restricciones:

- ⌘ El máximo número de variables lingüísticas de entrada permitidas al controlador es cuatro (4).
- ⌘ El máximo número de términos lingüísticos para cada variable lingüística es nueve (9).

- ✂ Las funciones de membresía normalizadas útiles en este entorno gráfico son las de tipo: Triangular, trapezoidal, Z, S y *singleton*.
- ✂ El máximo número de variables lingüísticas de salida permitidas al controlador es una (1).

1.3. HARDWARE

Actualmente, existen técnicas novedosas de implementación de sistemas con lógica *Fuzzy* dirigidas hacia el diseño de hardware *Fuzzy*. Estas técnicas presentan entre sus herramientas básicas el hardware configurable y los procesadores especializados para este fin. Los sistemas así desarrollados ejecutan tareas en tiempo real aún para sistemas de alta complejidad.

El tipo de controlador *Fuzzy* desarrollado en este proyecto está orientado a satisfacer las necesidades de la industria a un bajo costo, sus aplicaciones pueden revestir de una significativa complejidad pero que puede ser convenientemente cubierta con la implementación de las técnicas *Fuzzy* en software aquí descritas y soportadas sobre un hardware basado en un microcontrolador de propósito general (aunque puede extenderse a sistemas basados en microprocesador o DSP).

Desde esta perspectiva, es claro que para particularizar el controlador *Fuzzy* en un diseño concreto hay que tener en cuenta una multitud de factores propios del sistema y de la aplicación específica. Al seleccionar el microcontrolador y demás componentes del controlador se debe prever que cumpla con las normas de seguridad y confiabilidad a las que debe ajustarse un equipo electrónico, manteniendo una relación costo/beneficio bajo.

En el caso específico de la utilización de los microcontroladores de ocho bits se presentan en el anexo tres (3) las características de los modelos PIC16F873 y MC68HC908JL3 de las empresas Microchip y Motorola respectivamente, considerando

que estos son actualmente en nuestro medio de los más difundidos y fácil adquisición en el mercado; sin embargo, no se pretende hacer una comparación pues como ya se dijo anteriormente esto debe evaluarse para cada aplicación en particular.

2. DISEÑO DEL SOFTWARE DE CONTROL FUZZY EN CÓDIGO ENSAMBLADOR

En esencia, se diseñó en este proyecto un algoritmo para realizar control con lógica *Fuzzy* de manera relativamente eficiente tanto en tiempo de ejecución como en tamaño de código. El algoritmo en principio puede traducirse a cualquier lenguaje de programación y ejecutarse en un dispositivo tal como un microprocesador, microcontrolador o DSP. Sin embargo, se hace la programación sólo en lenguaje ensamblador particularizado para microcontroladores de ocho bits de la familia PIC (gamas básica y media) de MICROCHIP y de la familia CPU08 de MOTOROLA; Considerando que con estos Circuitos Integrados se alcanza el propósito intrínseco, de este trabajo, de proporcionar una herramienta de desarrollo de controladores con lógica Fuzzy construidos en hardware de bajo costo. Y con lenguaje ensamblador se obtiene un control más eficiente sobre las operaciones de estos dispositivos, por tener una representación directa de las instrucciones en código máquina de sus procesadores.

2.1. CARACTERÍSTICAS

El algoritmo de control *Fuzzy* desarrollado tiene las siguientes características generales:

- ✂ Tipo de inferencia Fuzzy: Condicional de reglas del tipo SI... ENTONCES.
- ✂ Tipo de funciones de membresía: Triangular, Z, S, y trapezoidal.
- ✂ Método de Defuzificación: Centroide.

- ✂ Método de implicación Fuzzy: Mínimo – máximo.
- ✂ Reglas por defecto: La regla anteriormente usada y la de salida cero.
- ✂ Variables de entrada: Admite dos (2) variables de entrada para la Fuzificación.
- ✂ Variables de salida: Entrega el valor de una (1) variable de salida luego de la defuzificación.
- ✂ Términos lingüísticos de las variables de entrada: El algoritmo no esta limitado a un número estricto de términos lingüísticos, pero se recomienda que la suma de los términos de todas las variables de entrada sea menor o igual a ocho (8).
- ✂ Términos lingüísticos de la variable de salida: Máximo (9) términos lingüísticos.

2.2. METODOLOGÍA DEL DISEÑO

La metodología que se utilizada para el diseño del formato de software de control *Fuzzy* puede resumirse de la siguiente forma:

- ✂ Análisis del procedimiento de control con lógica *Fuzzy*. En esta etapa, se hizo un seguimiento de un ejemplo didáctico de control *Fuzzy* y se detectó que era posible desarrollar un control de este tipo mediante operaciones matemáticas simples con base en la representación lineal de las funciones de membresía Triangular, Trapezoidal, Z, S y tipo *Singleton*.
- ✂ Organización de las tareas específicas del control *Fuzzy* en estructuras algorítmicas independientes. En esta etapa se crearon y ordenaron segmentos de programa mediante instrucciones básicas de programación (de control lineal, de selección y

repetición definidas) para cumplir independientemente con las tareas de Fuzificación, Inferencia *Fuzzy* y Defuzificación.

- ⌘ Ensamble del formato de programa general y Prueba del mismo. Finalmente, se agruparon los segmentos de programa de tareas específicas creados en la etapa anterior para luego de un procedimiento de depuración de código, simulación y prueba del mismo (mediante variables reales), presentar la solución lógica al problema inicialmente planteado, de una manera fácil de programar o implementar en cualquier lenguaje o herramienta software disponible en el mercado.

2.3. PROCEDIMIENTO DE CONTROL FUZZY

A continuación se presenta el procedimiento de control con lógica *Fuzzy* utilizado en este proyecto, mediante un ejemplo didáctico.

2.3.1. Ejemplo Práctico

Suponga que el control de un sistema determinado es factible de hacerse mediante un controlador *Fuzzy* con la siguiente caracterización:

- ⌘ Dos variables lingüísticas de entrada: F y G.
- ⌘ Cinco términos lingüísticos cada variable, definidos con los conjuntos *Fuzzy* como se muestra en las siguientes figuras.

Figura 12. Términos lingüísticos de la variable lingüística F.

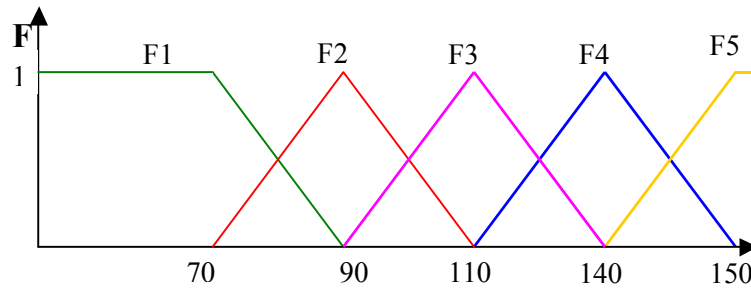
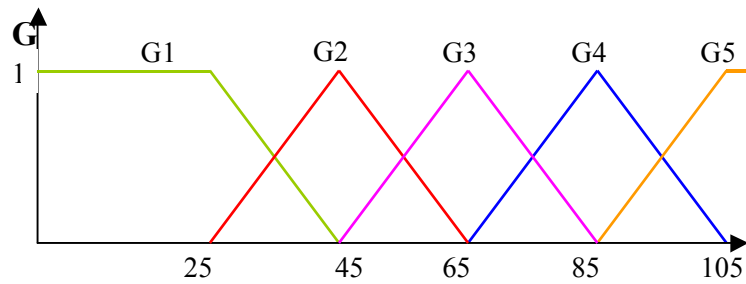
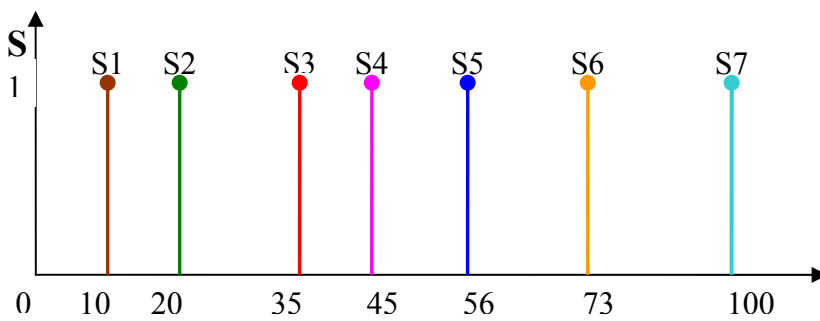


Figura 13. Términos lingüísticos de la variable lingüística G.



- ✕ Una variable de salida: S. Con siete términos lingüísticos definidos por las funciones de membresía como se muestra a continuación:

Figura 14. Términos lingüísticos de la variable de salida.



Una definición de reglas como sigue:

Si F es F1 y G es G1 es entonces S es S7

2. Si F es F1 y G es G2 es entonces S es S7
3. Si F es F1 y G es G3 es entonces S es S6
4. Si F es F1 y G es G4 es entonces S es S6
5. Si F es F1 y G es G5 es entonces S es S5
6. Si F es F2 y G es G1 es entonces S es S6
7. Si F es F2 y G es G2 es entonces S es S6
8. Si F es F2 y G es G3 es entonces S es S5
9. Si F es F2 y G es G4 es entonces S es S5
10. Si F es F2 y G es G5 es entonces S es S5
11. Si F es F3 y G es G1 es entonces S es S5
12. Si F es F3 y G es G2 es entonces S es S4
13. Si F es F3 y G es G3 es entonces S es S4
14. Si F es F3 y G es G4 es entonces S es S3
15. Si F es F3 y G es G5 es entonces S es S2
16. Si F es F4 y G es G1 es entonces S es S3
17. Si F es F4 y G es G2 es entonces S es S2
18. Si F es F4 y G es G3 es entonces S es S3
19. Si F es F4 y G es G4 es entonces S es S2
20. Si F es F4 y G es G5 es entonces S es S1
21. Si F es F5 y G es G1 es entonces S es S2
22. Si F es F5 y G es G2 es entonces S es S2
23. Si F es F5 y G es G3 es entonces S es S2
24. Si F es F5 y G es G4 es entonces S es S1
25. Si F es F5 y G es G5 es entonces S es S1

Suponiendo las siguientes entradas se tiene:

para $X_f = 85$ y $X_g = 50$

∞ El proceso de Fuzificación es el siguiente.

$$F1(85) = \frac{90 - 85}{90 - 70}$$

$$F1(85) = 0.25$$

de manera similar se tiene que

$$F2(85) = 0.25$$

ahora para la otra variable

$$G2(50) = \frac{65 - 50}{65 - 45}$$

$$G2(50) = 0.75$$

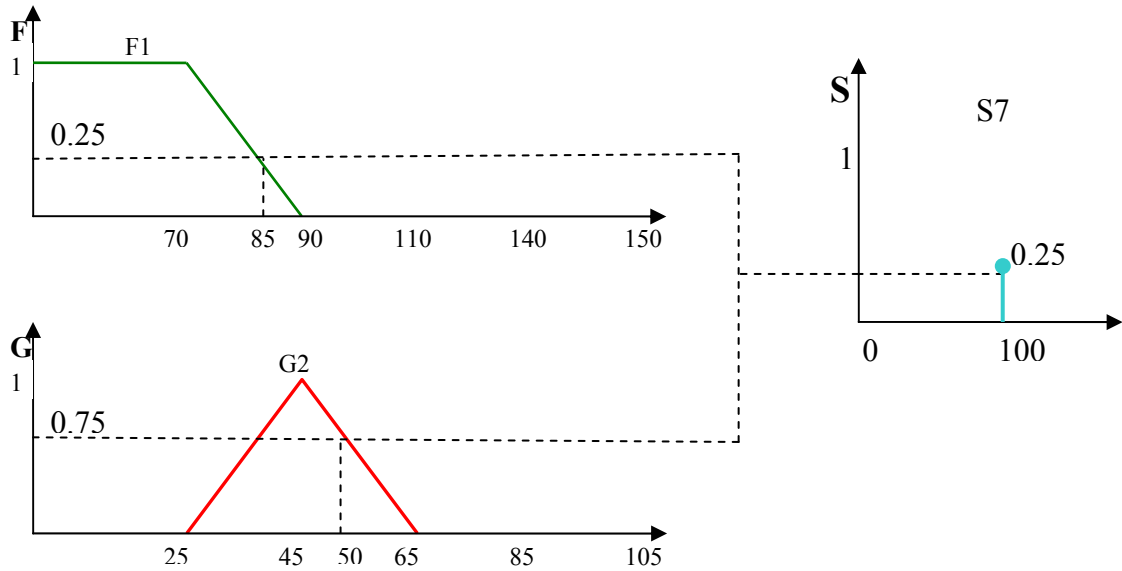
De manera similar se tiene que

$$G3(50) = 0.75$$

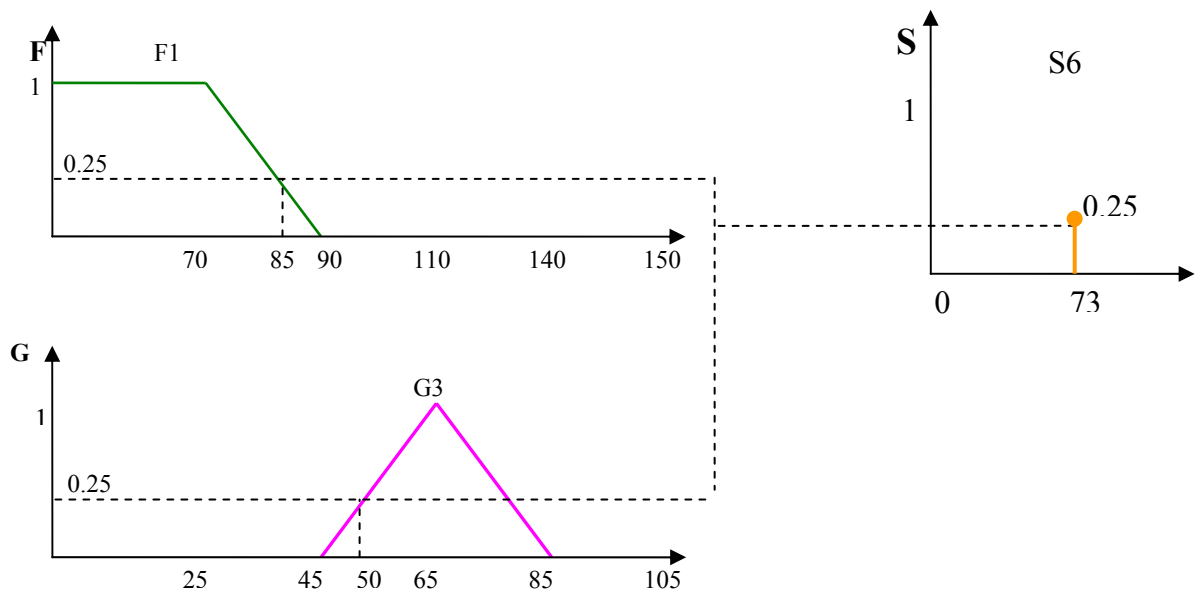
⊗ El proceso de inferencia *Fuzzy* es el siguiente.

Si F es F1 y G es G2 entonces S es S7

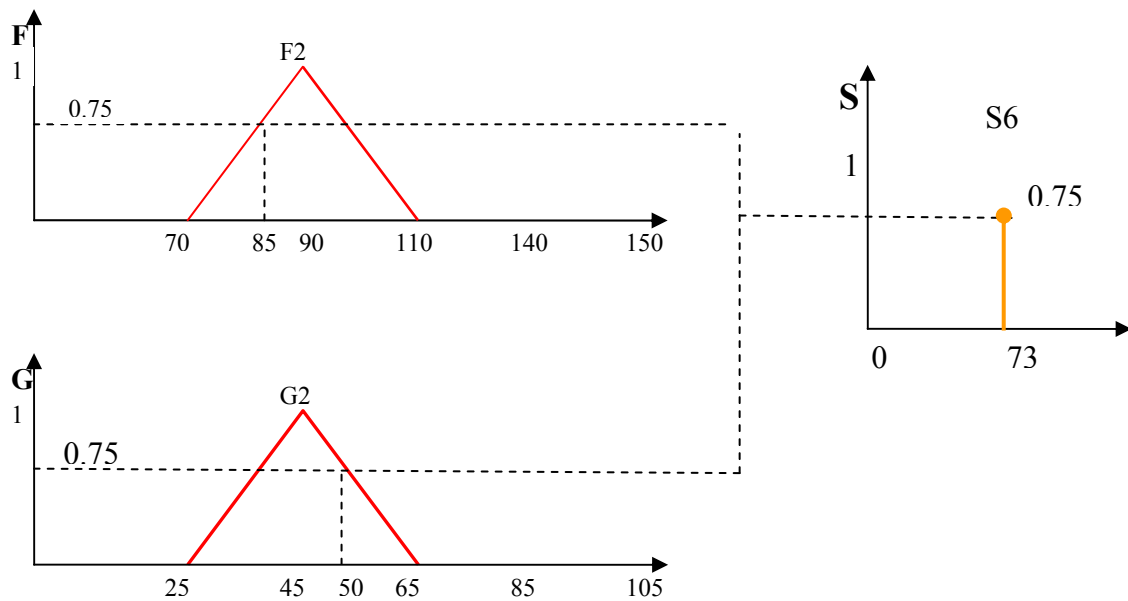
Figura 15. Proceso de inferencia *Fuzzy*.



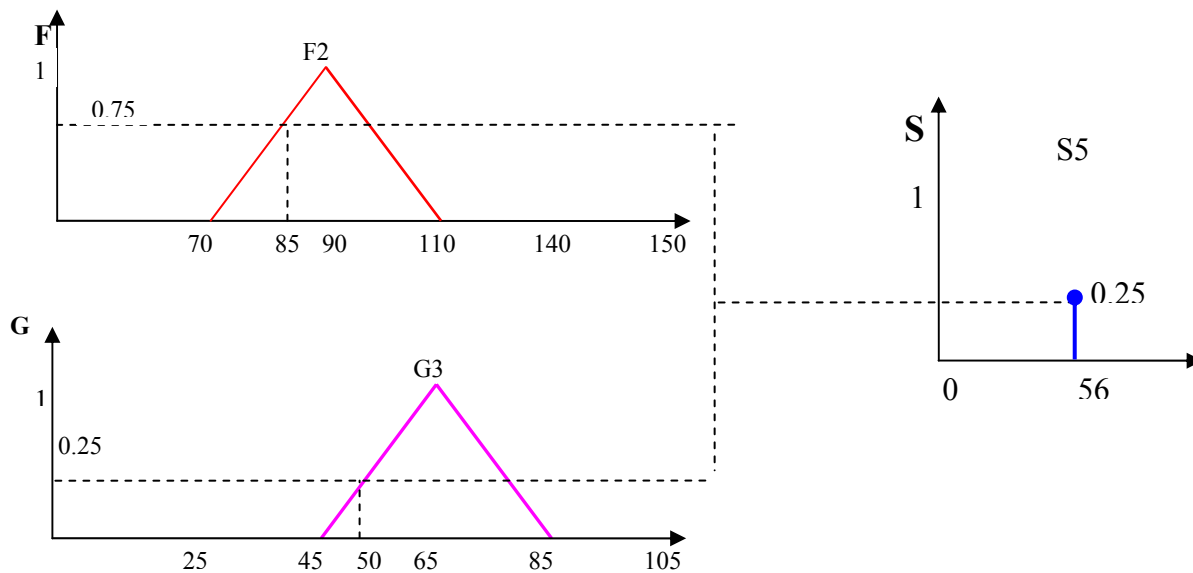
Si F es F1 y G es G3 entonces S es S6



Si F es F2 y G es G2 entonces S es S6



Si F es F2 y G es G3 entonces S es S5



✂ La defuzificación por medio de centroides es:

$$SALIDA = \sum_i \frac{Si \times Xsi}{Si}$$

$$SALIDA = \frac{100 \times 0.25 + 73 \times 0.25 + 73 \times 0.75 + 56 \times 0.25}{0.25 + 0.25 + 0.75 + 0.25}$$

$$SALIDA = \frac{112}{1.5} = 74.6666$$

$$SALIDA = 74.6666$$

2.4. ESTRUCTURAS ALGORÍTMICAS DE CONTROL FUZZY

Las estructuras algorítmicas diseñadas tienen correspondencia directa con las etapas de la estructura interna del controlador *Fuzzy* descritas en el apartado 1.1.6.1 del Marco Teórico. Éstas etapas son: Fuzificación, Base de conocimiento, Inferencia *Fuzzy* y Defuzificación.

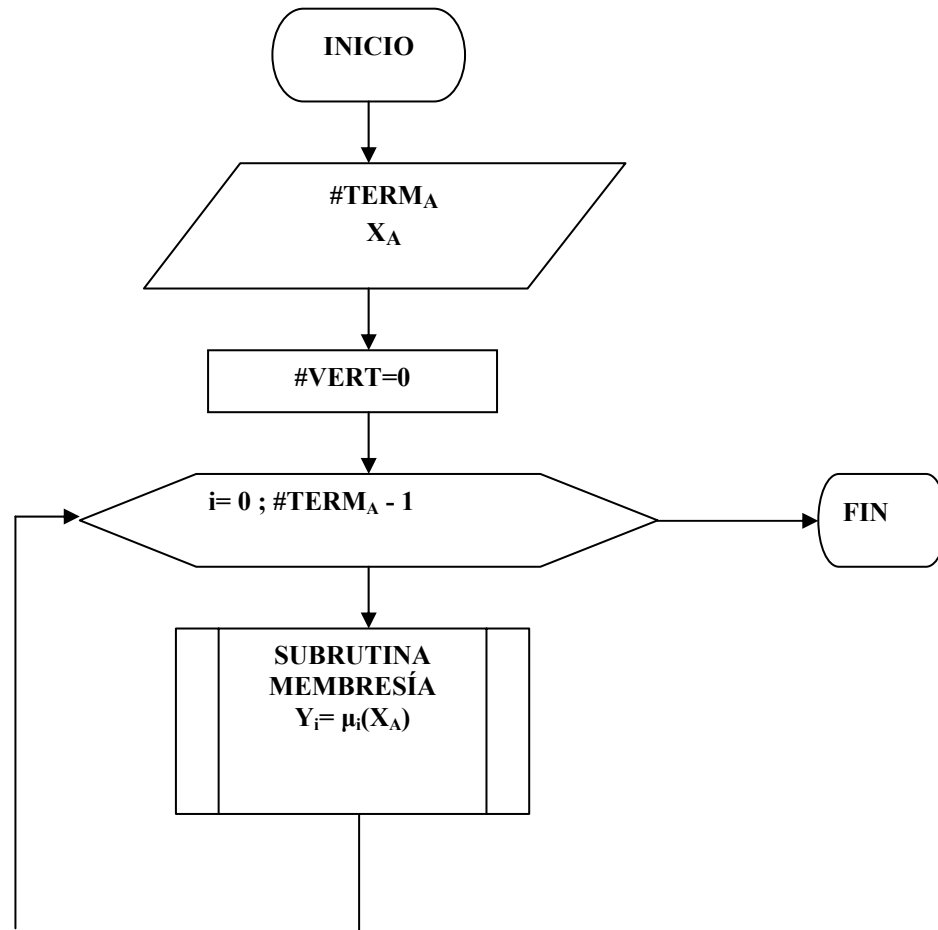
Los algoritmos y código fuente serán explicados inicialmente para el microcontrolador PIC y luego se presentarán para el microcontrolador MOTOROLA.

2.4.1. Etapa de Fuzificación

Para trasladar una determinada entrada de valor preciso (*crisp*) dentro de una representación lingüística de acuerdo a una caracterización *Fuzzy* dada, se deben seguir tres pasos fundamentalmente:

1. Comprobar que el valor de entrada coincida en el universo de discurso de la definición de las variables lingüísticas del controlador *Fuzzy*.
2. Evaluar el grado de pertenencia que corresponda de acuerdo a cada uno de los conjuntos *Fuzzy* en donde tenga cabida en sus dominios el valor de entrada.
3. Almacenar el valor *Fuzzy* que resulta de la transformación.

Figura 16. Diagrama de flujo simplificado de la etapa de fuzificación se muestra en la siguiente



Este programa toma dos datos de entrada: El número de términos lingüísticos “**#TERM_A**” de una variable lingüística determinada y el valor de entrada “**X_A**” que se desea convertir en un valor *Fuzzy*.

La variable contador “#VERT” se emplea para ejecutar la subrutina **MEMBRESÍA** conjuntamente con la etapa de base de datos, como se verá más adelante.

El algoritmo de fuzificación evalúa el grado de pertenencia del valor *crisp* de entrada a cada uno de los conjuntos que representan los términos lingüísticos de una variable *Fuzzy*. Un valor de entrada puede tener más de una representación *Fuzzy*. Esto tiene que ver con el solapamiento que se permite entre los conjuntos *Fuzzy* de una variable lingüística.

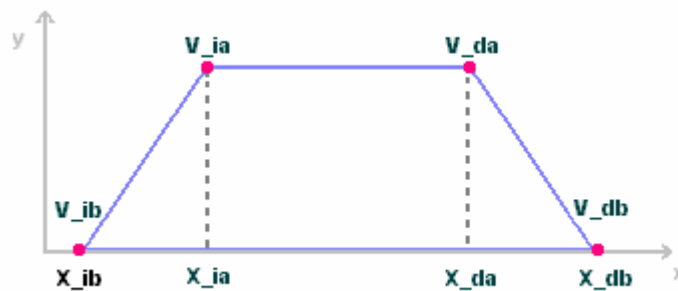
2.4.1.1. Evaluación del Grado de Membresía a un Conjunto Fuzzy

Los procesos técnicos para los cuales es factible aplicar el controlador con lógica *Fuzzy* diseñado en esta tesis, deben ser modelados con funciones de membresía normalizadas estándar de formas lineales como las de tipo Z, Triangular, Trapezoidal y Tipo S.

Estas funciones representan los conjuntos *Fuzzy* de manera tal que pueden dividirse por segmentos de recta para evaluarlos con interpolación lineal de primer orden. Esto permite, además, menor espacio de memoria para almacenar las funciones de membresía; ya que se tienen cuatro puntos como máximo para definir cada función.

Sobre la figura geométrica de un trapecio se especifican los cuatro extremos que pueden representar las funciones de membresía como se muestra en la siguiente figura:

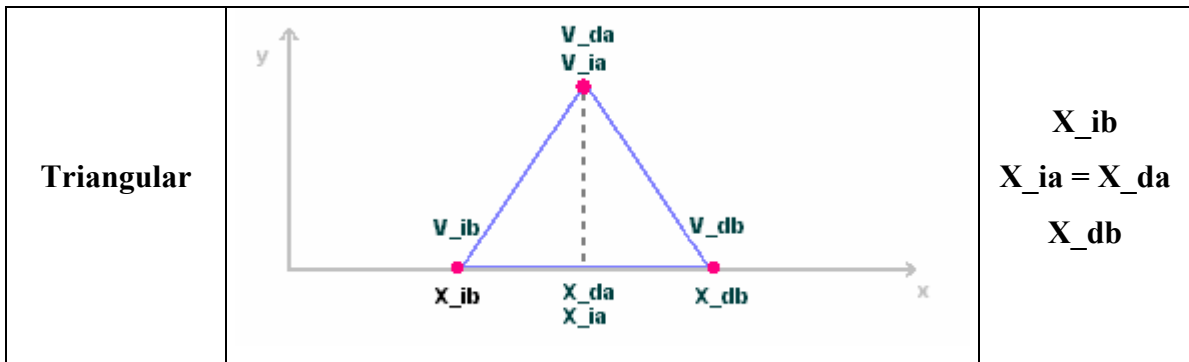
Figura 17: Trapecio en el que se representa funciones de membresía



De esta forma cualquiera de las funciones de membresía (Z, S, Triangular, Trapezoidal) puede ser representada por cuatro puntos, esto se ve en la siguiente tabla:

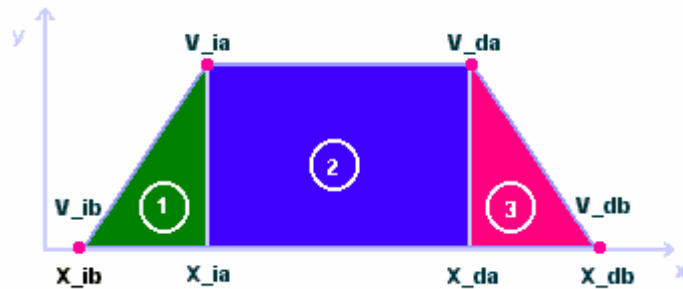
Tabla 3. Funciones de membresía Trapezoidal, S, Z, Triangular.

TIPO DE FUNCIÓN DE MEMBRESÍA	FIGURA	DESCRIPCIÓN POR ABCISAS
Trapezoidal		<p>X_{ib} X_{ia} X_{da} X_{db}</p>
S		<p>X_{ib} X_{ia} $X_{da} = X_{db}$</p>
Z		<p>$X_{ib} = X_{ia}$ X_{da} X_{db}</p>



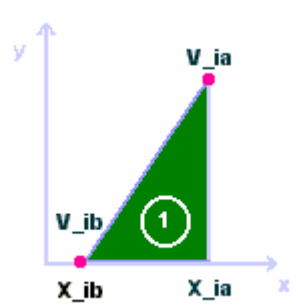
Cada una de las funciones de membresía se segmenta de tal manera que puede evaluarse el grado de pertenencia de un valor de entrada a un conjunto Fuzzy dado, resolviendo la ecuación de una recta o dándole un valor constante según el segmento que corresponda. Esto es; para la función de membresía trapezoidal se tienen los siguientes segmentos de recta y sus respectivas ecuaciones:

Figura 18: Segmentos de recta para la función de membresía trapezoidal



Recta A. En este segmento el grado de membresía se evalúa mediante la ecuación de la recta ascendente en función de los puntos X_{ib} y X_{ia} como se describe a continuación:

Figura 19. Recta A.



$$\mu(x) = \frac{(x - x_{ib})}{x_{ia} - x_{ib}} \quad x \in (x_{ib}, x_{ia})$$

El código de programa que realiza esta operación para los microcontrolador PIC16F873 y MC68HC908JL3 es de la siguiente forma:

*****PIC16F873*****

```

RECT_A
    movf  Xib_lsb,0
    movwf Q2_lsb
    movf  Xib_msb,0
    movwf Q2_msb
    call  REST@
    movlw 0x03
    movwf Q2_msb
    movlw 0xFF
    movwf Q2_lsb
    call  M_MSNUM
    movf  Xia_lsb,0
    movwf Q1_lsb
    movf  Xia_msb,0
    movwf Q1_msb
    movf  Xib_lsb,0
    movwf Q2_lsb
    movf  Xib_msb,0
    movwf Q2_msb
    call  REST@
    movf  Q1_lsb,0
    movwf SDEN_1
    movf  Q1_msb,0
    movwf SDEN_2
    call  DIV@
    bsf  DNUMDEN_2,7
    return
    
```

IF_3

```

movf  Xda_lsb,0
movwf Q2_lsb
movf  Xda_msb,0
movwf Q2_msb
call  COMP@
xorlw 0x01
btfss STATUS,2
goto  CTE

```

***** MC68HC908JL3*****

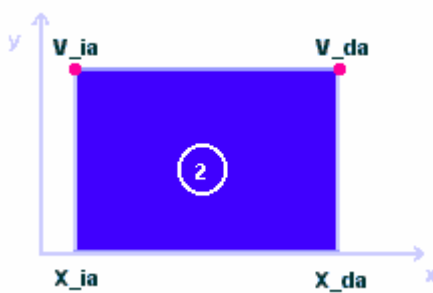
```

RECT_A
lda  Xia_lsb
sub  Xib_lsb
sta  Q3_1
lda  Q1_lsb
sub  Xib_lsb
ldx  #$80
mul
pshx
pulh
ldx  Q3_1
div
sta  DNUMDEN_1
jmp  SALE_0
IF_3
cmp  Xda_lsb
bhi  RECT_D
jmp  CTE

```

Constante. El valor constante que se da en este segmento para una función de membresía normalizada es la unidad (1), sin embargo, puede escalarse a otro valor.

Figura 20. Constante



$$\mu(x) = 1 \quad x \in [x_{ia}, x_{da}]$$

El código de programa que realiza esta continuación en los continuadores PIC y Motorola es el siguiente:

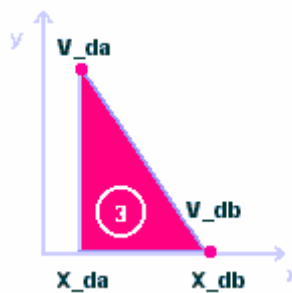
CONSTANTE

```
***** PIC16F873*****
CTE
    movlw 0x03
    movwf DNUMDEN_2
    movlw 0xFF
    movwf DNUMDEN_1
    bsf DNUMDEN_2,7
BRE2B return

***** MC68HC908JL3*****
CTE
    mov #$7F,DNUMDEN_1
SALE_0 bset 7, DNUMDEN_2
    jmp FUERA
SALE_1
    bclr 7,DNUMDEN_2
FUERA
    rts
```

Recta D. La continuación de la recta que sirve para evaluar este segmento y la gráfica que lo representa se muestran a continuación:

Figura 21. Recta D



$$\mu(x) = \frac{(x_{db} - x)}{(x_{db} - x_{da})} \quad x \in (x_{da}, x_{db})$$

El código fuente que realiza esta operación es el siguiente:

RECTA_D

*****PIC16F873*****

```
RECT_D
    movf  Q1_lsb,0
    movwf Q2_lsb
    movf  Q1_msb,0
    movwf Q2_msb
    movf  Xdb_lsb,0
    movwf Q1_lsb
    movf  Xdb_msb,0
    movwf Q1_msb
    call  REST@
    movlw 0x03
    movwf Q2_msb
    movlw 0xFF
    movwf Q2_lsb
    call  M_MSNUM
    movf  Xdb_lsb,0
    movwf Q1_lsb
    movf  Xdb_msb,0
    movwf Q1_msb
    movf  Xda_lsb,0
    movwf Q2_lsb
    movf  Xda_msb,0
    movwf Q2_msb
    call  REST@
    movf  Q1_lsb,0
    movwf SDEN_1
    movf  Q1_msb,0
    movwf SDEN_2
    call  DIV@
    bsf  DNUMDEN_2,7
    return
```

*****MC68HC908JL3*****

```
RECT_D
    lda  Xdb_lsb
    sub  Xda_lsb
    sta  Q3_1
    lda  Xdb_lsb
    sub  Q1_lsb
    ldx  #$80
    mul
    pshx
    pulh
    ldx  Q3_1
```

```

div
sta  DNUMDEN_1
jmp  SALE_0

```

2.4.1.2. Algoritmo de Membresía

Este algoritmo toma un dato de entrada “X” y un vector “VÉRTICES” con los cuatro (4) valores que describen una función de membresía en la caracterización del controlador. Se selecciona el segmento del dominio en el cual coincide el valor de entrada y conforme a este evalúa la ecuación correspondiente para dar el grado de pertenencia. El código fuente de la rutina de membresía es de la siguiente forma:

MEMBRESÍA

*****PIC16F873*****

```

MEMBR  movf  N_VERT,0
        call VERTICES
        movwf Xib_lsb
        incf  N_VERT,1
        movf  N_VERT,0
        call VERTICES
        movwf Xib_msb
        incf  N_VERT,1
        movf  N_VERT,0
        call VERTICES
        movwf Xia_lsb
        incf  N_VERT,1
        movf  N_VERT,0
        call VERTICES
        movwf Xia_msb
        incf  N_VERT,1
        movf  N_VERT,0
        call VERTICES
        movwf Xda_lsb
        incf  N_VERT,1
        movf  N_VERT,0
        call VERTICES
        movwf Xda_msb
        incf  N_VERT,1
        movf  N_VERT,0
        call VERTICES
        movwf Xdb_lsb
        incf  N_VERT,1
        movf  N_VERT,0
        call VERTICES
        movwf Xdb_msb
        incf  N_VERT,1
IF_0    movf  Xib_lsb,0
        movwf Q2_lsb
        movf  Xib_msb,0

```

```

        movwf Q2_msb
        call COMP@
        xorlw 0x01
        btfsc STATUS,2
        goto IF_1
        bcf DNUMDEN_2,7
        return
IF_1    movf Xdb_lsb,0
        movwf Q2_lsb
        movf Xdb_msb,0
        movwf Q2_msb
        call COMP@
        xorlw 0x01
        btfss STATUS,2
        goto IF_2
        bcf DNUMDEN_2,7
        return
IF_2    movf Xia_lsb,0
        movwf Q2_lsb
        movf Xia_msb,0
        movwf Q2_msb
        call COMP@
        xorlw 0x02
        btfss STATUS,2
        goto IF_3

```

*****MC68HC908JL3*****

MEMBR

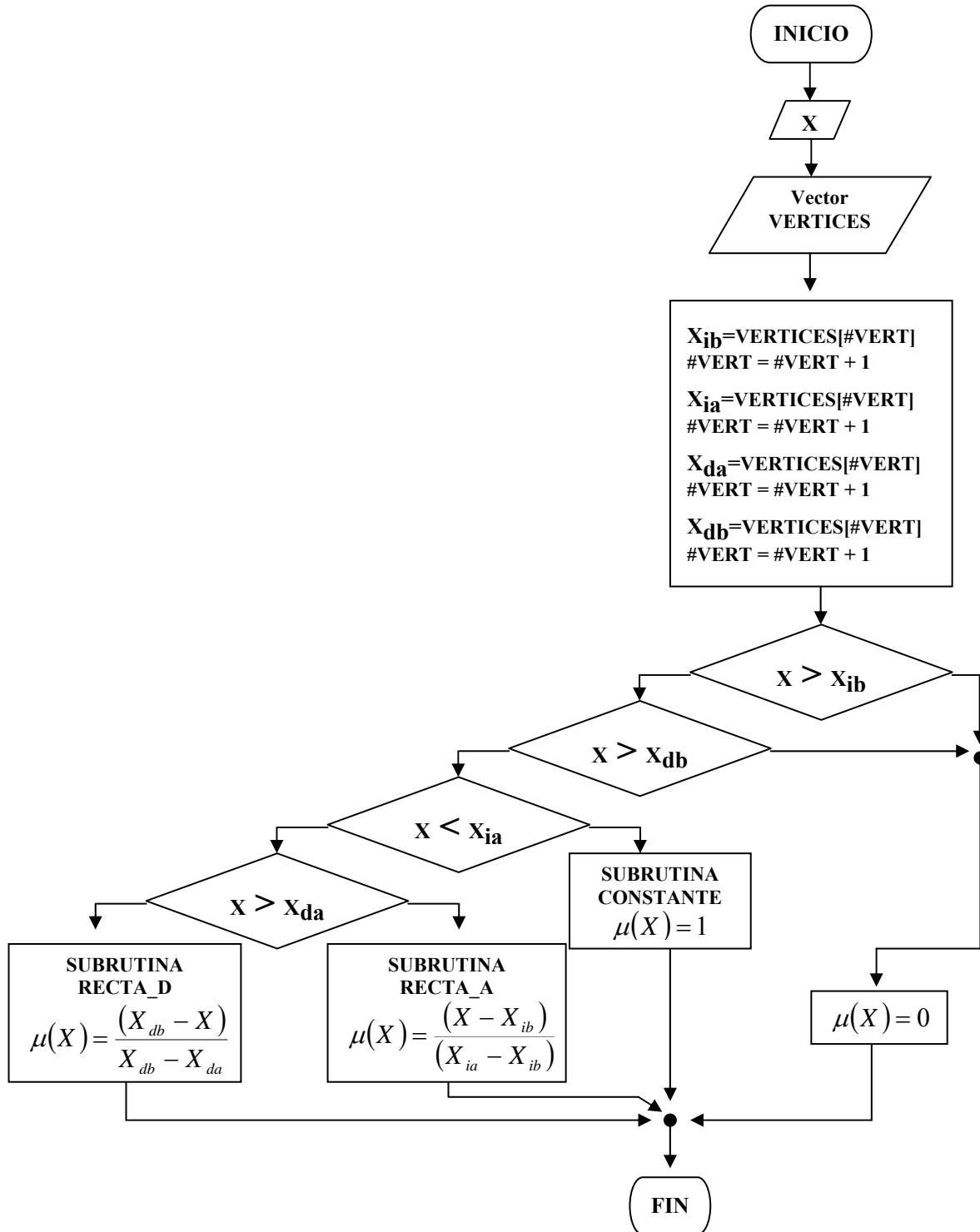
```

        clrh
        ldx N_VERT
        lda VERTICES,x
        sta Xib_lsb
        inc N_VERT
        ldx N_VERT
        lda VERTICES,x
        sta leftop_lsb
        inc N_VERT
        ldx N_VERT
        lda VERTICES,x
        sta Xda_lsb
        inc N_VERT
        ldx N_VERT
        lda VERTICES,x
        sta Xdb_lsb
        inc N_VERT
IF_0    lda Q1_lsb
        cmp Xib_lsb
        blo SALE_1
IF_1    cmp Xdb_lsb
        bhi SALE_1
IF_2    cmp Xia_lsb
        blo RECT_A
        jmp IF_3

```

El diagrama de flujo resumido de la subrutina Membresía se muestra a continuación:

Figura 22: Diagrama de flujo subrutina de membresía



2.4.2. Base de Conocimiento

Esta formada por dos componentes básicos: Base de Datos y Base de Reglas.

2.4.2.1. Base de Datos

Uno de los conceptos importantes, antes de caracterizar las reglas de control *Fuzzy*, es la definición de los límites de los conjuntos *Fuzzy* con los cuales se representa el conocimiento. Por lo general, estos límites se definen subjetivamente con base en el conocimiento de los expertos.

Para el controlador *Fuzzy*, realizado en esta tesis, se relaciona un vector de datos que especifican los contornos de los conjuntos *Fuzzy* mediante cuatro datos cada uno. Los datos que definen las funciones de membresía se almacenan secuencialmente en el siguiente orden:

Para las variables lingüísticas de entrada:

```
X_ib11; Abscisa del vértice izquierdo bajo del primer término de la primer variable lingüística.  
X_ia11; Abscisa del vértice izquierdo alto del primer término de la primer variable lingüística.  
X_da11; Abscisa del vértice derecho alto del primer término de la primer variable lingüística.  
X_db11; Abscisa del vértice derecho bajo del primer término de la primer variable lingüística.  
X_ib21; Abscisa del vértice izquierdo bajo del segundo término de la primer variable lingüística.  
X_ia21; Abscisa del vértice izquierdo alto del segundo término de la primer variable lingüística.  
X_da21; Abscisa del vértice derecho alto del segundo término de la primer variable lingüística.  
X_db21; Abscisa del vértice derecho bajo del segundo término de la primer variable lingüística.  
...  
X_ibmn; Abscisa del vértice izquierdo bajo del enésimo término de la enésima variable lingüística.  
X_iamn; Abscisa del vértice izquierdo alto del enésimo término de la enésima variable lingüística.  
X_damn; Abscisa del vértice derecho alto del enésimo término de la enésima variable lingüística.  
X_dbmn; Abscisa del vértice derecho bajo del enésimo término de la enésima variable lingüística.
```

El código en lenguaje ensamblador para el PIC es de la siguiente forma:

VERTICES

```
addwf PCL,1  
retlw 0x00  
retlw 0x00
```

```

retlw 0x00
retlw 0x00
retlw 0xEC
retlw 0x01
retlw 0x00
retlw 0x02 ...

```

El código en lenguaje ensamblador para el microcontrolador Motorola es de la siguiente forma:

VERTICES

```

cbeqa #!0,cero
cbeqa #!1,cero
cbeqa #!2,cero
cbeqa #!3,medb
cbeqa #!4,medb
cbeqa #!5,medb
cbeqa #!6,alta
cbeqa #!7,meda

```

Para la variable lingüística de salida:

X_{sing_1} ; Abscisa del primer *singleton*.
 ...
 X_{sing_n} ; Abscisa del enésimo *singleton*.

Dado que se utiliza una sola variable de salida en el controlador *Fuzzy* diseñado en este proyecto, las abscisas de los singletons de dicha variable se introducen al programa como constantes, en el segmento de programa de Defuzificación.

2.4.2.2. Base de Reglas

La base de reglas es un conjunto de m reglas, cada una de las cuales es de la forma:

IF (entrada 1 es conjunto i_1 **AND** entrada 2 es conjunto i_2 **THEN** (salida 1 es conjunto i_1)

En donde *conjunto* i_j es uno de los Valores Lingüísticos que puede tomar la variable (de entrada o de salida) j .

En cada regla pueden distinguirse dos partes: el Antecedente y el Consecuente; de tal forma que cada regla puede escribirse en forma abreviada como:

IF (Antecedente) ***THEN*** (Consecuente).

Si las m reglas cubren todas las posibles combinaciones de Valores Lingüísticos de los Antecedentes, se dice que la Base de Reglas es Completa. En ningún caso puede permitirse que existan dos reglas con el mismo Antecedente.

Las reglas se incorporan al algoritmo del controlador *fuzzy* de manera implícita, dentro del algoritmo de inferencia. Esto se verá a continuación.

2.4.3. Etapa de Inferencia Fuzzy

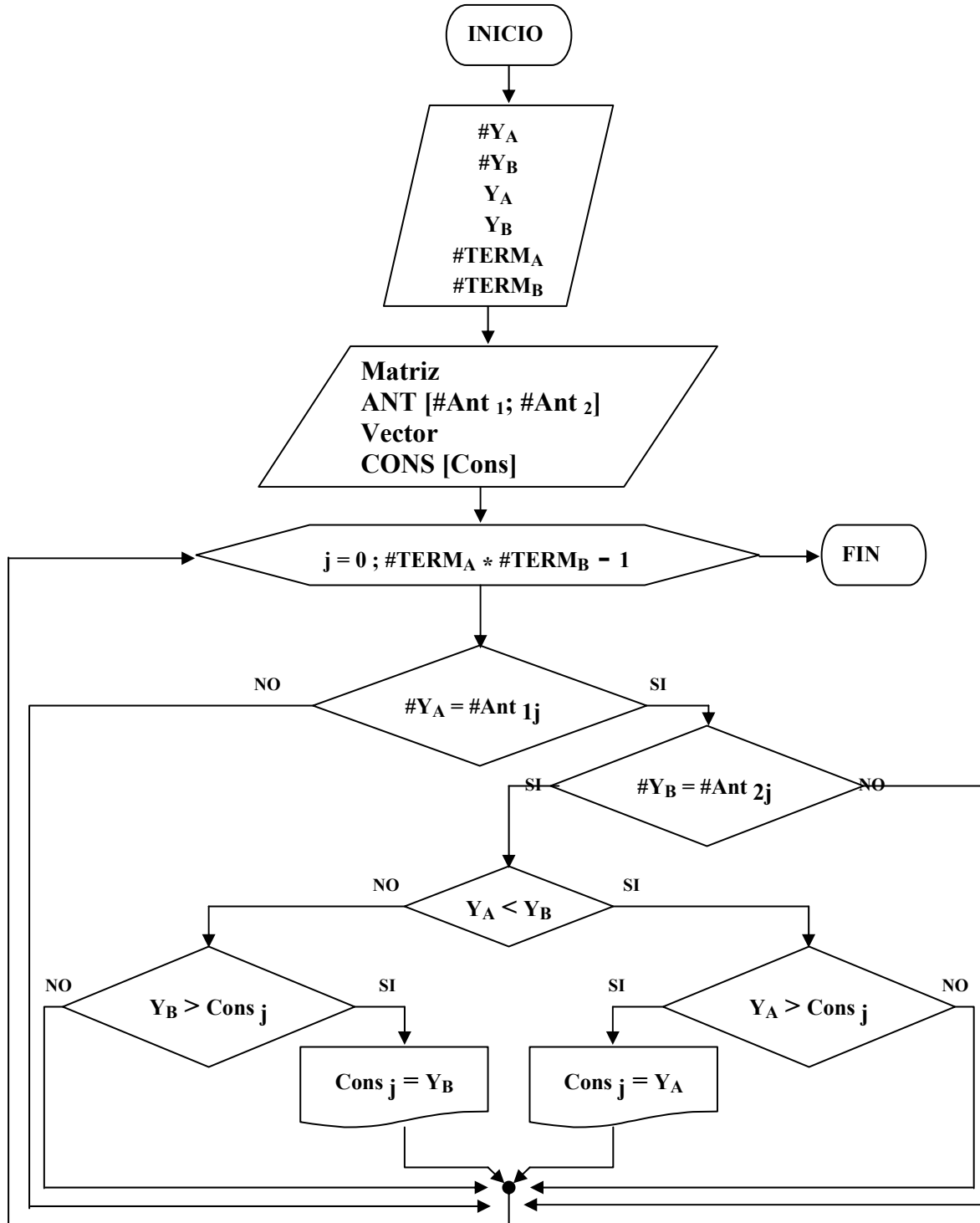
Esta etapa es usualmente conocida como el motor de inferencia en los sistemas *fuzzy*, y hacen parte de ella los procedimientos destinados a la toma de las acciones de control *fuzzy* por medio de la implicación y las reglas *fuzzy*. Se utilizan las reglas contenidas la etapa anterior para realizar el control.

2.4.3.1. Algoritmo de Inferencia Fuzzy

A este algoritmo toma como entrada:

- ⌘ Los valores Y_A, Y_B, \dots, Y_N , que representan el grado de pertenencia a los conjuntos *fuzzy* de los valores de entrada X_A, X_B, \dots, X_N , respectivamente.
- ⌘ Los números $\#Y_A, \#Y_B, \dots, \#Y_N$ con los cuales se distinguen los conjuntos *fuzzy*, estos números son tomados como los términos lingüísticos dentro del algoritmo *fuzzy* desarrollado en esta tesis.
- ⌘ $\#TERM_A, \#TERM_B, \dots, \#TERM_N$ representan los números totales de términos lingüísticos (o conjuntos *fuzzy*) de las variables lingüísticas A, B, ..., N.

Figura 23: Diagrama de flujo algoritmo de inferencia



El código fuente de la rutina que realiza la etapa de inferencia *fuzzy* es el siguiente:

INFERENCIA (REGLAS)

*****PIC*****

REGLAS

```
    call  MINMAX
    movf  N_TERM_0,0
    addwf N_TERM_0,0
    addwf N_TERM_0,0
    addwf N_TERM_1,0
    addwf PCL,1
    goto  cero
    goto  cero
    goto  cero
    goto  medb
    goto  medb
    goto  medb
    goto  alta
    goto  meda
    goto  med
    goto  max
    goto  alta
    goto  meda
    goto  max
    goto  max
    goto  max
max
    movf  singleton1_lsb,0
    movwf Q1_lsb
    movf  singleton1_msb,0
    movwf Q1_msb
    call  MINMAX
    movf  Q1_lsb,0
    movwf singleton1_lsb
    movf  Q1_msb,0
    movwf singleton1_msb
    return
alta
    movf  singleton2_lsb,0
    movwf Q1_lsb
    movf  singleton2_msb,0
    movwf Q1_msb
    call  MINMAX
    movf  Q1_lsb,0
    movwf singleton2_lsb
    movf  Q1_msb,0
    movwf singleton2_msb
    return
meda
    movf  singleton3_lsb,0
    movwf Q1_lsb
    movf  singleton3_msb,0
```

```

        movwf Q1_msb
        call MINMAX
        movf  Q1_lsb,0
        movwf singleton3_lsb
        movf  Q1_msb,0
        movwf singleton3_msb
        return
med
        movf  singleton4_lsb,0
        movwf Q1_lsb
        movf  singleton4_msb,0
        movwf Q1_msb
        call MINMAX
        movf  Q1_lsb,0
        movwf singleton4_lsb
        movf  Q1_msb,0
        movwf singleton4_msb
        return
medb
        movf  singleton5_lsb,0
        movwf Q1_lsb
        movf  singleton5_msb,0
        movwf Q1_msb
        call MINMAX
        movf  Q1_lsb,0
        movwf singleton5_lsb
        movf  Q1_msb,0
        movwf singleton5_msb
        return
cero
        movf  singleton6_lsb,0
        movwf Q1_lsb
        movf  singleton6_msb,0
        movwf Q1_msb
        call MINMAX
        movf  Q1_lsb,0
        movwf singleton6_lsb
        movf  Q1_msb,0
        movwf singleton6_msb
BRE3B  return

```

***** MC68HC908JL3*****

```

REGLAS
  jsr  MINMAX
  lda  N_TERM_0
  ldx  #!3
  mul
  add  N_TERM_1
  cbeq #!0,cero
  cbeq #!1,cero
  cbeq #!2,cero
  cbeq #!3,medb
  cbeq #!4,medb
  cbeq #!5,medb
  cbeq #!6,alta
  cbeq #!7,meda
  cbeq #!8,med
  cbeq #!9,max
  cbeq #!10,alta

```

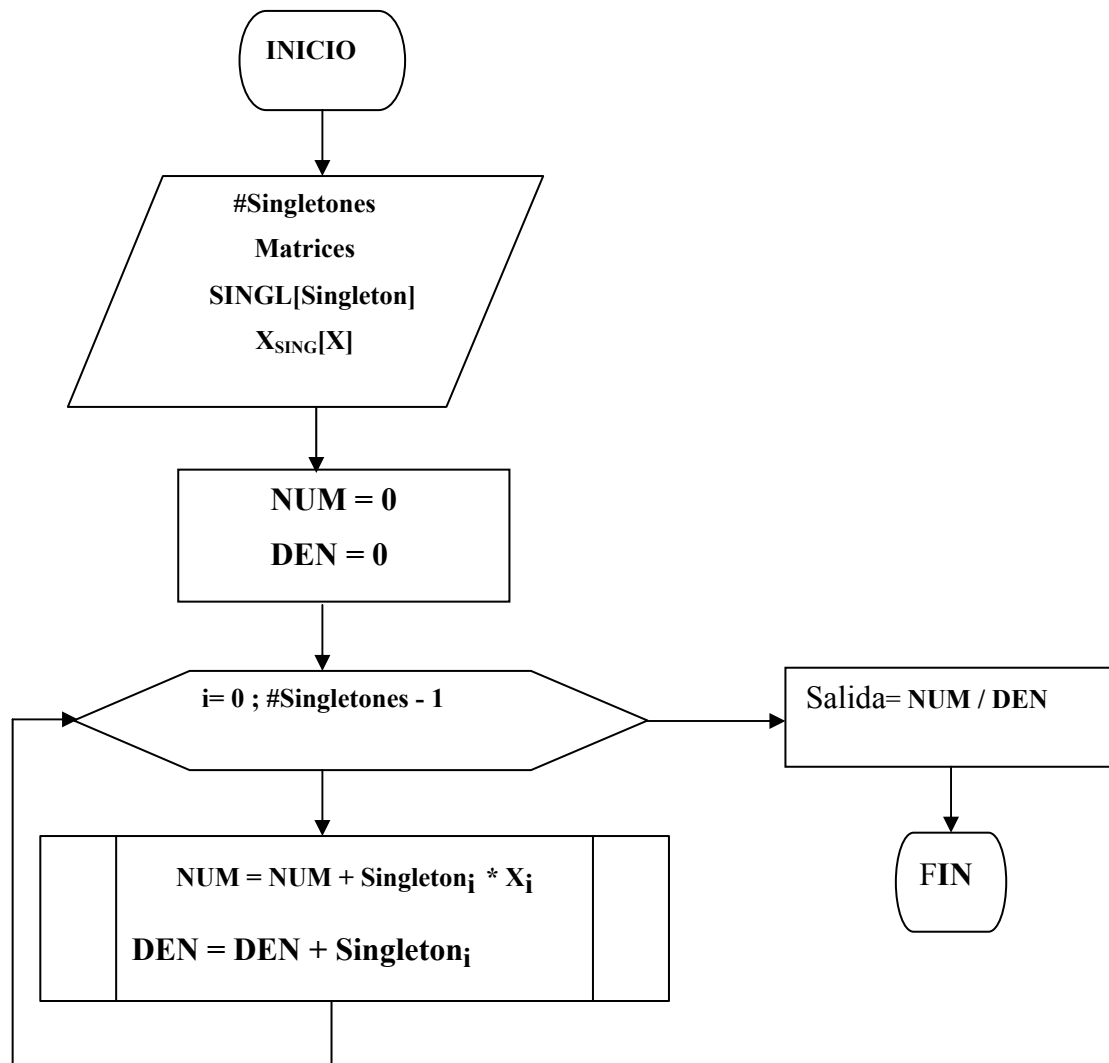
```

cbeqa #!11,meda
cbeqa #!12,max
cbeqa #!13,max
cbeqa #!14,max
max
  mov  singleton1,Q1_lsb
  jsr  MINMAX
  mov  Q1_lsb,singleton1
  jmp  RETORNA
alta
  mov  singleton2,Q1_lsb
  jsr  MINMAX
  mov  Q1_lsb,singleton2
  jmp  RETORNA
meda
  mov  singleton3,Q1_lsb
  jsr  MINMAX
  mov  Q1_lsb,singleton3
  jmp  RETORNA
med
  mov  singleton4,Q1_lsb
  jsr  MINMAX
  mov  Q1_lsb,singleton4
  jmp  RETORNA
medb
  mov  singleton5,Q1_lsb
  jsr  MINMAX
  mov  Q1_lsb,singleton5
  jmp  RETORNA
cero
  mov  singleton6,Q1_lsb
  jsr  MINMAX
  mov  Q1_lsb,singleton6
RETORNA
rts

```

2.4.4. Etapa de Defuzificación

Figura 24: Diagrama de flujo algoritmo de Defuzificación



2.4.4.1. Algoritmo de Centroide

El código ensamblador para este algoritmo es el siguiente:

DEFUZIFICACION(CENTROIDE)

*****PIC*****

```
CENTROID
clrf MSNUM_1
clrf MSNUM_2
clrf MSNUM_3
clrf SDEN_1
clrf SDEN_2
clrf SDEN_3
clrf DNUMDEN_1
clrf DNUMDEN_2
c_max movf singleton1_lsb,0
      movwf Q1_lsb
      movf singleton1_msb,0
      movwf Q1_msb
      iorwf singleton1_lsb,0
      btfs STATUS,2
      goto c_alta
      call SUM@I
      movlw 0x00
      movwf Q2_lsb
      movlw 0x00
      movwf Q2_msb
      call MULSUM@S
c_alta movf singleton2_lsb,0
      movwf Q1_lsb
      movf singleton2_msb,0
      movwf Q1_msb
      iorwf singleton2_lsb,0
      btfs STATUS,2
      goto c_med
      call SUM@I
      movlw 0x1C
      movwf Q2_lsb
      movlw 0x01
      movwf Q2_msb
      call MULSUM@S
c_med  movf singleton3_lsb,0
      movwf Q1_lsb
      movf singleton3_msb,0
      movwf Q1_msb
      iorwf singleton3_lsb,0
      btfs STATUS,2
      goto c_med
      call SUM@I
      movlw 0x77
      movwf Q2_lsb
      movlw 0x01
      movwf Q2_msb
      call MULSUM@S
```

```

c_med  movf  singleton4_lsb,0
        movwf Q1_lsb
        movf  singleton4_msb,0
        movwf Q1_msb
        iorwf singleton4_lsb,0
        btfsc STATUS,2
        goto  c_medb
        call  SUM@I
        movlw 0x00
        movwf Q2_lsb
        movlw 0x02
        movwf Q2_msb
        call  MULSUM@S
c_medb movf  singleton5_lsb,0
        movwf Q1_lsb
        movf  singleton5_msb,0
        movwf Q1_msb
        iorwf singleton5_lsb,0
        btfsc STATUS,2
        goto  c_cero
        call  SUM@I
        movlw 0x38
        movwf Q2_lsb
        movlw 0x02
        movwf Q2_msb
        call  MULSUM@S
c_cero movf  singleton6_lsb,0
        movwf Q1_lsb
        movf  singleton6_msb,0
        movwf Q1_msb
        iorwf singleton6_lsb,0
        btfsc STATUS,2
        goto  SALIDA
        call  SUM@I
        movlw 0xFF
        movwf Q2_lsb
        movlw 0x03
        movwf Q2_msb
        call  MULSUM@S
SALIDA call  DIV@
        movf  DNUMDEN_1,0
        movwf SALIDA_1
        movf  DNUMDEN_2,0
        movwf SALIDA_2

```

***** MC68HC908JL3*****

```

; Defuzzyficación
CENTROID
clra
clr  MSNUM_1
clr  MSNUM_2
clr  SDEN_1
clr  DNUMDEN_1

lda  SDEN_1
add  singleton1  ;*h1
sta  SDEN_1
lda  singleton1  ;*h1
ldx  #$00        ;*a1
mul

```

```

jsr suma16 ;
lda SDEN_1
add singleton2 ;*h2
sta SDEN_1
lda singleton2 ;*h2
ldx #$47 ;*a2
mul
jsr suma16
lda SDEN_1
add singleton3 ;*h3
sta SDEN_1
lda singleton3 ;*h3
ldx #$5E ;*a3
mul
jsr suma16
lda SDEN_1
add singleton4 ;*h4
sta SDEN_1
lda singleton4 ;*h4
ldx #$80 ;*a4
mul
jsr suma16
lda SDEN_1
add singleton5 ;*h5
sta SDEN_1
lda singleton5 ;*h5
ldx #$8E ;*a5
mul
jsr suma16
lda SDEN_1
add singleton6 ;*h6
sta SDEN_1
lda singleton6 ;*h6
ldx #$FF ;*a6
mul
jsr suma16 ;sumar MSNUM = (X:A)+MSNUM
*** DNUMDEN = (MSNUM/SDEN_1) *****
ldhx MSNUM_2
lda MSNUM_1
ldx SDEN_1
div
sta SALIDA
rts

```

2.5. FORMATO DE PROGRAMA DE CONTROL FUZZY

El programa fue implementado inicialmente en un microcontrolador PIC16F873 de MICROCHIP y luego se tradujo su código de programación a un microcontrolador MC68HC908 de MOTOROLA. Los resultados de las pruebas se presentan en el Anexo 2.

3. PROGRAMA PARA LA GENERACIÓN DEL CÓDIGO ENSAMBLADOR DEL CONTROLADOR FUZZY

El programa desarrollado para el diseño de controladores con lógica *Fuzzy* y la generación de su código en lenguaje ensamblador se denominó **FUZZYE3T**.

Este es un software para elaborar la programación básica de controladores con lógica *Fuzzy* para ser implementada en microcontroladores de ocho (8) bits de la familia PIC (gamas básica y media) de MICROCHIP y de la familia CPU08 de MOTOROLA, a través de una interfase gráfica de diseño.

El formato de programa en código ensamblador para implementar controladores *Fuzzy* desarrollado en este proyecto y descrito en el capítulo anterior es particularizado para cada aplicación mediante el programa **FUZZYE3T**. En este software se realiza la caracterización del controlador *Fuzzy* y automáticamente se genera el código ensamblador para el tipo de microcontrolador seleccionado (PIC o MOTOROLA).

El archivo generado es de extensión “.asm” y puede ser compilado de dos (2) formas: Como un archivo *INCLUDE* para ejecutarse como una subrutina donde sea llamado dentro de un programa principal. O como el formato de programa principal donde se le anexan las demás subrutinas que el diseñador estime necesarias para el desarrollo de su aplicación en particular.

El programa finalmente implementado por el diseñador (usuario de FUZZYE3T) debe estar en capacidad de controlar el proceso para el cual se particularizó, de forma autónoma desde el microcontrolador. Un ejemplo de esto se muestra en el capítulo

cuatro (4) de esta tesis, en el cual se presenta el control *Fuzzy* de la temperatura de una resistencia de calefacción.

El lenguaje de programación utilizado es LabVIEW de la empresa National Instruments. Para lo cual, el Centro de Investigación del Gas y la Escuela de Ingenierías Eléctrica, Electrónica y Telecomunicaciones patrocinaron este proyecto colocando a su disposición los siguientes paquetes de software:

- NI LabVIEW *Professional development System*
- NI *Fuzzy Logic Toolkit* for LabVIEW

El entorno de desarrollo y ejecución es bajo Microsoft Windows 98 Segunda Edición, pero podría ser trasladado a Microsoft Windows 9x, 2000, XP sin ningún problema según especificaciones de LabVIEW.

Además, se han utilizado paquetes gráficos como *Paint* para la creación y retoque de imágenes.

A continuación se presentan la descripción funcional y la estructura de programación de los módulos implementados en el programa **FUZZYE3T**.

3.1. SOFTWARE FUZZYE3T

Este software presenta las siguientes características principales:

- ✂ Posee una interfase gráfica para la caracterización de un tipo de controlador *fuzzy*, de fácil comprensión y manejo para ingenieros.

- ✂ Permite hacer chequeo de las características de entrada / salida de los controladores *fuzzy* diseñados, para el afinamiento de sus parámetros antes de ser implementados.
- ✂ Ayuda en línea para que el usuario resuelva dudas acerca del funcionamiento del programa.
- ✂ Generación automática de un reporte en formato html de la caracterización del controlador *fuzzy* diseñado y con opción de impresión de dicho reporte.
- ✂ Programa ejecutable e instalable, compilado mediante la herramienta de software denominada *Application Builder* y que no requiere que el entorno de programación de LabVIEW se encuentre instalada para funcionar; para esto último sólo necesita el sistema operativo y el software *Runtime* (de LabVIEW).

Dado que este programa tiene como base el algoritmo de control *Fuzzy* descrito en el capítulo anterior, las características de éste son válidas en cuanto al tipo de control y se citan a continuación:

- ✂ Tipo de inferencia *fuzzy*: Condicional de reglas del tipo **SI** A es F **Y** B es G **ENTONCES** S es H.
- ✂ Tipo de funciones de membresía: Triangular, Z, S, y Trapezoidal.
- ✂ Método de Defuzificación: Centroide.
- ✂ Método de implicación *fuzzy*: Mínimo – máximo.
- ✂ Reglas por defecto: La regla anteriormente usada y la de salida definida por el usuario.

- ⌘ Variables de entrada: Admite dos (2) variables de entrada para la fuzificación.
- ⌘ Variables de salida: Entrega el valor de una (1) variable de salida luego de la defuzificación.
- ⌘ Términos lingüísticos de las variables de entrada: El algoritmo no esta limitado a un número estricto de términos lingüísticos, pero se recomienda que la suma de los términos de todas las variables de entrada sea menor o igual a ocho (8).
- ⌘ Términos lingüísticos de la variable de salida: Máximo (9) términos lingüísticos.

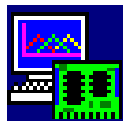
Además, se recomienda utilizar nombres de pocos caracteres (máximo 6 caracteres) para las variables de entrada y salida del controlador *Fuzzy* que se vaya a diseñar con el programa FUZZYE3T, debido a que son los mismos con los cuales se implementa el programa en código ensamblador. Esto último, hace el trabajo más pedagógico en cuánto que puede seguirse el flujo de instrucciones para su comprensión.

En los siguientes apartados se describe la funcionalidad de los elementos que componen el software **FUZZYE3T**.

3.1.1. Presentación del Programa

El programa posee el siguiente icono particular que lo distingue:

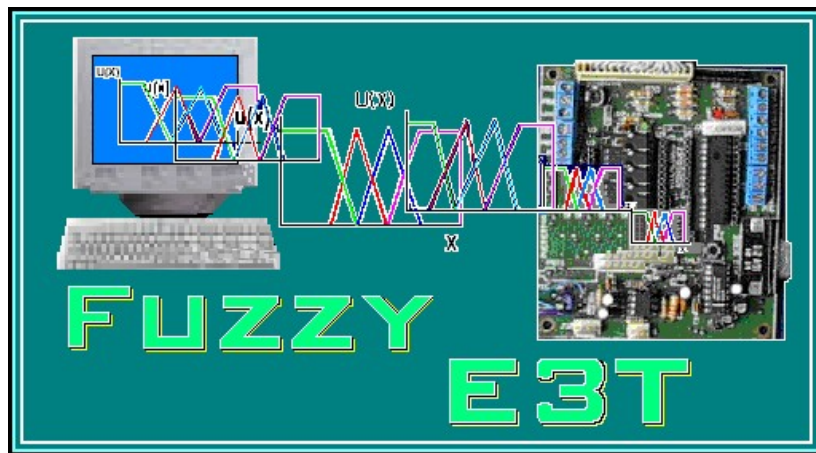
Figura 25: Icono del programa FUZZYE3T



Al iniciar el programa FuzzyE3T V1.0 aparece una animación del logo del programa y luego se abre la ventana principal y la ventana de Inicio. En esta última se tienen tres opciones Abrir, Nuevo y Ayuda.

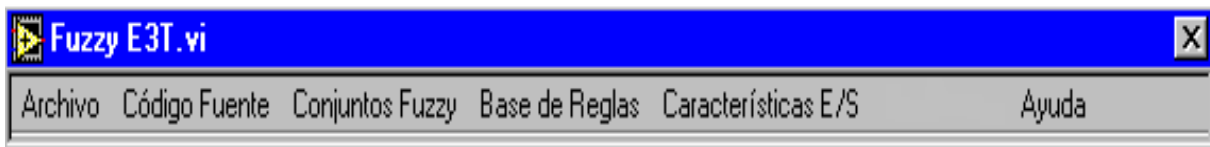
El logo de presentación, figura 35 muestra la representación de un computador con las gráficas características de las principales funciones de membresía que se utilizan en la caracterización del controlador *fuzzy*. Al lado, la representación de una tarjeta electrónica con dos microcontroladores; haciendo alusión a los microcontroladores PIC y MOTOROLA a los cuales se dirige la implementación del controlador.

Figura 26. Logo del programa FUZZYE3T.



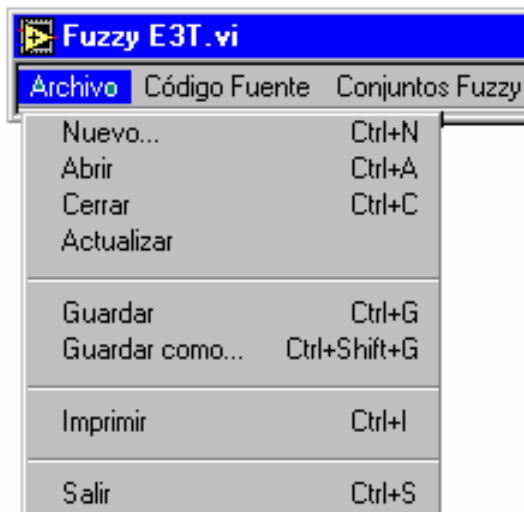
3.1.2. Menú Principal

Figura 27. Menú principal



Este menú consta de seis ítems principales: Archivo, Código Fuente, Conjuntos Fuzzy, Base de Reglas, Características E/S y Ayuda. Cada uno de estos tiene asociado un submenú como se ve a continuación:

Figura 28 . Menú Archivo.



El menú **Archivo** contiene las opciones de:

- ⌘ Nuevo. Para crear un nuevo archivo de caracterización de controlador *fuzzy*. Asequible también por medio de las teclas Ctrl+N.
- ⌘ Abrir. Para abrir un archivo de extensión *.fc que contenga la caracterización de un controlador *fuzzy*. Puede usarse las teclas rápidas Ctrl+A.

- ✂ Cerrar. Para cerrar un archivo *.fc. Se puede acceder a esta opción mediante Ctrl+C. Si el archivo ha sufrido cambios el programa pregunta en una caja de diálogo si desea guardar los cambios.
- ✂ Actualizar. A cada cambio hecho en las ventanas de variables y de reglas hay que utilizar esta opción para refrescar la ventana de variable de salida.
- ✂ Guardar. Para guardar un archivo, también puede utilizarse Ctrl+G.
- ✂ Guardar como. Similar al anterior, pero con la opción de cambiar de nombre al archivo. Sus teclas rápidas son Ctrl+Shift+G.
- ✂ Imprimir. Se accede a un cuadro que permite seleccionar la documentación que se desea imprimir. Ctrl+I también puede ser utilizado para tal fin.
- ✂ Salir. Con esta opción se sale del programa FUZZYE3T, no sin antes preguntar si desea aplicar los cambios que se hayan hecho al archivo trabajado.

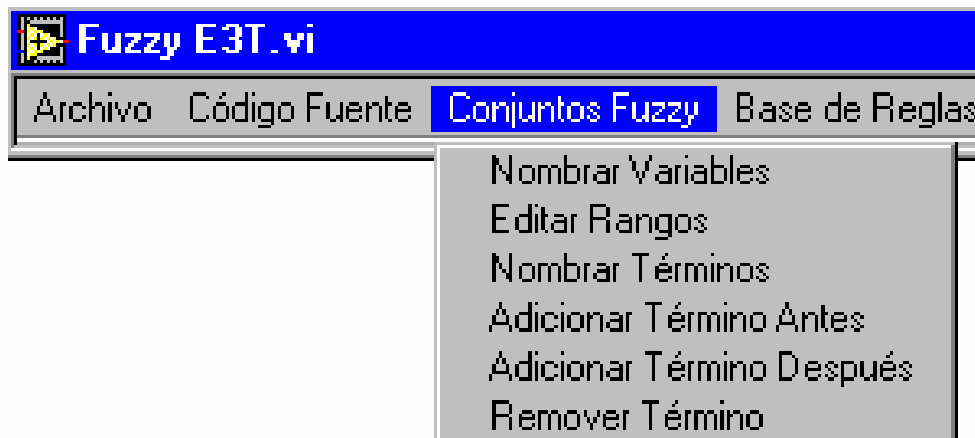
El menú **Herramientas** tiene dos (2) opciones para generar el código del controlador *fuzzy* en lenguaje ensamblador, uno para la familia de microcontroladores PIC (gammas básica y media) de la Empresa MICROCHIP y otra para la familia CPU08 de microcontroladores MOTOROLA. Los códigos de programa generados con estas opciones son compatibles con los software MPLAB e ICS08JLZ respectivamente.

Figura 29. Menú Código Fuente.



El menú **Conjuntos Fuzzy** permite dos opciones principales: Especificar y Definir. Con la primera se puede Nombrar variables, nombrar términos y editar los rangos de las variables lingüísticas, Adicionar términos después y antes del término activo (seleccionado desde la interfaz gráfica), remover términos.

Figura 30. Menú Editor de Conjuntos Fuzzy.



El submenú Conjuntos Fuzzy aplica tanto para las dos variables de entrada como para la variable de salida (a excepción de la última opción de este submenú, Salida en Singletons, que solo aplica a la variable de salida), la variable a la cual se aplicara cada opción de este submenú depende de la ventana que se encuentre activa; la activación consiste en hacer doble clic sobre la ventana (en BASE DE REGLAS se debe hacer un clic en la parte superior de dicha ventana). Cada una de las cuatro subventanas PRIMERA VARIABLE DE ENTRADA, SEGUNDA VARIABLE DE ENTRADA, VARIABLE DE SALIDA Y REGLAS al ser activa se resalta su apariencia, de lo contrario será opaca.

Luego de hacer un cambio en una de las ventanas anteriormente mencionadas, si se quiere que dicho cambio sea aceptado, es necesario seleccionar la opción de Actualizar en el submenú Archivo.

El menú **Base de Reglas**. Con este menú se accede a otro: Reglas sin activar, con el cual se puede configurar que valor tomar cuando una regla no se haya definido.

Figura 31. Menú Base de Reglas.



El menú **Características E/S**. En este ítem se activa la ventana Visor de características además permite ingresar el número de puntos que se desea graficar en la característica de entrada / salida del controlador *Fuzzy*.

Figura 32. Menú Características E/S.



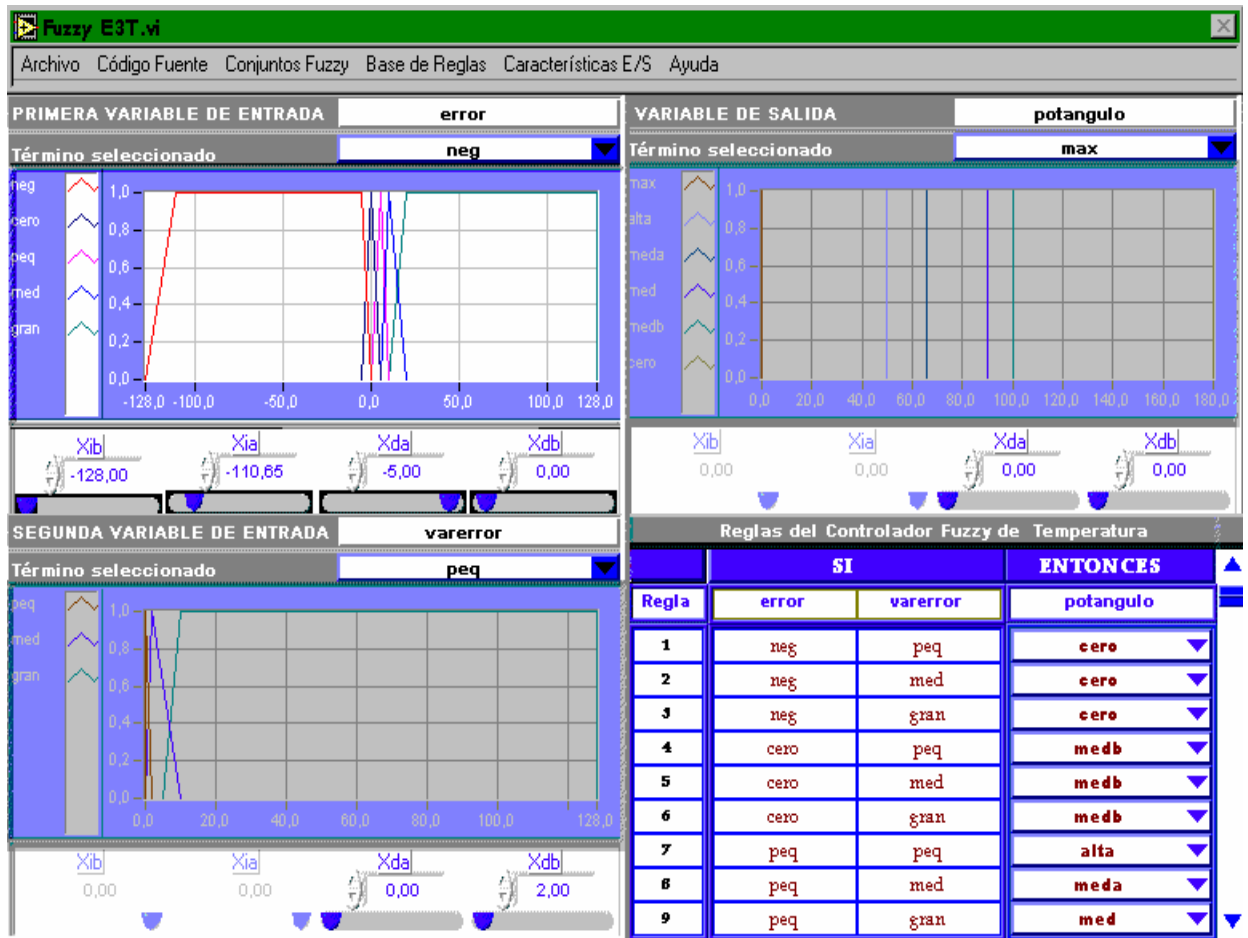
El menú **Ayuda** presenta las siguientes opciones: Ayuda general del Programa FUZZYE3T y Acerca de. Como se ve en la siguiente figura.

Figura 33. Menú Ayuda



3.1.3. Interfaz Gráfica de Caracterización del Controlador Fuzzy

Figura 34. Interfaz gráfica de diseño del programa FUZZYE3T.



Esta interfase se basa en el paquete de software *Fuzzy Logic for G Toolkit*. Al iniciar el programa aparece una ventana de inicio sobre el entorno de diseño de los controladores *Fuzzy*, esta ventana tiene tres despliegues *setups* diferentes concernientes a las tres

funciones que puede desempeñar; estas son: Abrir, Nuevo y Ayuda. Estos pueden activarse mediante los tres íconos que se encuentran en su parte superior y que representan cada una de esas acciones. Por defecto se inicia con la ventana de Abrir para acceder un archivo de extensión *.fc que contenga la caracterización de un controlador *Fuzzy* que se halla diseñado anteriormente con **FUZZYE3T** o con *Fuzzy Logic Toolkit*. Su apariencia puede observarse en la siguiente figura.

Figura 35. Ventana de Inicio del programa FUZZYE3T, con la opción de abrir un archivo *.fc.



Para buscar un archivo *.fc existen dos (2) opciones: La primera es llenar los dos primeros espacios en blanco del esquema con el título del archivo y la Ruta del mismo. La segunda opción es haciendo clic en el ítem **Examinar**, con el cual aparece una caja de diálogo para la búsqueda del archivo.

En cualquiera de las opciones anteriores, al encontrar el archivo aparecerán los cuatro espacios en blanco llenos con los datos del archivo: Título del archivo, ruta, Tamaño y última modificación.

Luego, para continuar se procede con el ítem **Aceptar** o si se desea salir de esta ventana con el ítem **Cancelar**.

La ventana de inicio para crear un nuevo archivo toma la siguiente forma:

Figura 36. Ventana de inicio para crear un nuevo archivo de caracterización de controlador *Fuzzy*.



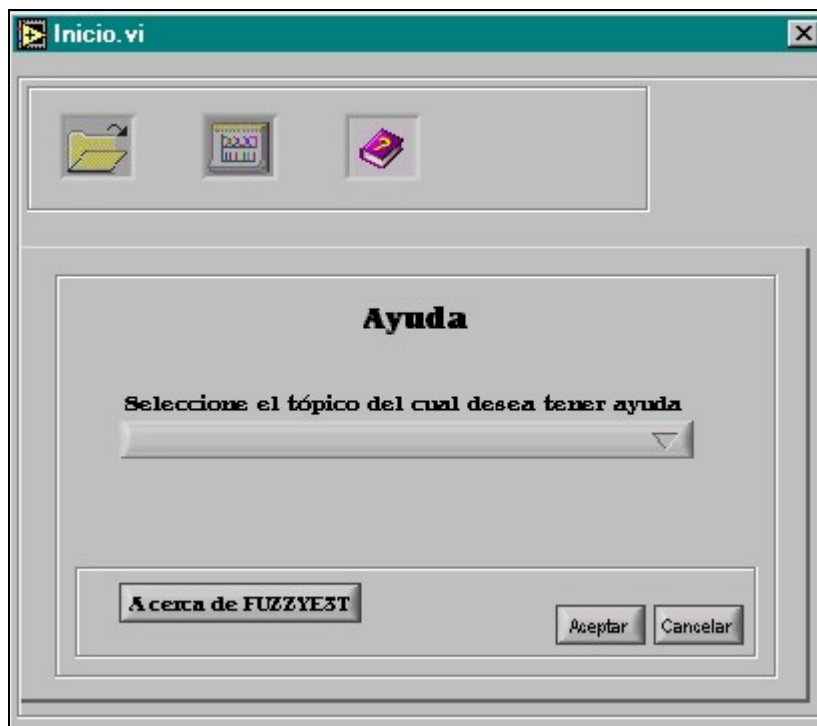
The image shows a graphical user interface window titled "Inicio.vi". At the top, there are three icons: a folder, a document with a grid, and a floppy disk. Below these icons is a section titled "Nuevo" (New). This section contains four input fields arranged in a 2x2 grid. The top-left field is labeled "Título del controlador:" (Controller title:), the top-right is "Diseñador:" (Designer:), the bottom-left is "Fecha:" (Date:), and the bottom-right is "Hora:" (Time:). At the bottom right of the window, there are two buttons: "Aceptar" (Accept) and "Cancelar" (Cancel).

En esta ventana se introduce el Título del Controlador *Fuzzy* que se va a diseñar, el nombre del diseñador, la fecha y la hora de creación del archivo que llevara la caracterización propia del controlador.

Las opciones de Aceptar y cancelar tienen el mismo significado que en la ventana anterior.

La opción de Ayuda que presenta ventana de Inicio es la siguiente:

Figura 37. Ventana de Inicio para obtener la Ayuda del programa FUZZYE3T.



En esta ventana se selecciona un ítem en particular para obtener ayuda y automáticamente aparece la explicación asociada con dicho ítem.

La opción **Acerca de FUZZYE3T** hace alusión a las referencias del programa como tal y a sus autores.

También se provee en esta ventana de las opciones de **Aceptar** y **Cancelar**.

La interfaz gráfica de FUZZYE3T presenta tres (3) ventanas asociadas que permiten editar la información contenida en un archivo de caracterización de un controlador *Fuzzy*, o crear dicha información; estas ventanas son: Conjuntos Fuzzy de las variables lingüísticas de entrada, Conjuntos Fuzzy de la variable lingüística de salida y Base de Reglas. Además, se provee de una cuarta ventana que permite observar las Características de E/S del controlador *Fuzzy* que se está diseñando. Estas ventanas son los paneles frontales de los VI's que se ejecuta de manera seguida.

Luego de hacer un cambio en una de las ventanas anteriormente mencionadas, si se quiere que dicho cambio sea aceptado, es necesario seleccionar la opción de Actualizar en el submenú Archivo.

Para que el código se genere correctamente es necesario que las funciones de membresía de los términos de la variable lingüística de salida sean del tipo singleton, esto se logra utilizando los desplazadores de la parte inferior de la ventana VARIABLE DE SALIDA o mediante la opción Salida en Singletons del submenú Conjuntos Fuzzy. Además, se deben tener definidas totalmente las reglas en la BASE DE REGLAS, el programa por defecto coloca el primer término lingüístico de la variable de salida si se pide generar el código en assembler sin definir totalmente las reglas. Dicho término por defecto puede ser cambiado en el submenú Base de Reglas.

El código generado en assembler para el PIC16F873 contiene además del formato de control fuzzy, unas subrutinas que permiten la comunicación serial entre el microcontrolador y el computador (mediante la interfase diseñada en este proyecto). Esto lo hace un programa completo que sirve como ejemplo para desarrollo de aplicaciones particulares y además permite que se realicen pruebas del funcionamiento del programa Fuzzy en código ensamblador debido a que se puede comparar con el

mismo algoritmo de control fuzzy pero ejecutado en el computador con las herramientas de Fuzzy Logic Toolkit for LabVIEW. Para estas pruebas se creo otra aplicación de LabVIEW denominada Probar Código FuzzyE3T.

El código en ensamblador para el JL3 es únicamente el formato de control fuzzy (subrutinas) que requiere la adición del resto de cuerpo de programa según la aplicación que se desee.

El código generado para cualquiera de los dos tipos de microcontroladores, toma los nombres los nombres de las variables y términos linguisticos dados por el usuario en la caracterización de Controlador. Esto permite hacer un seguimiento del algoritmo de manera mas didáctica.

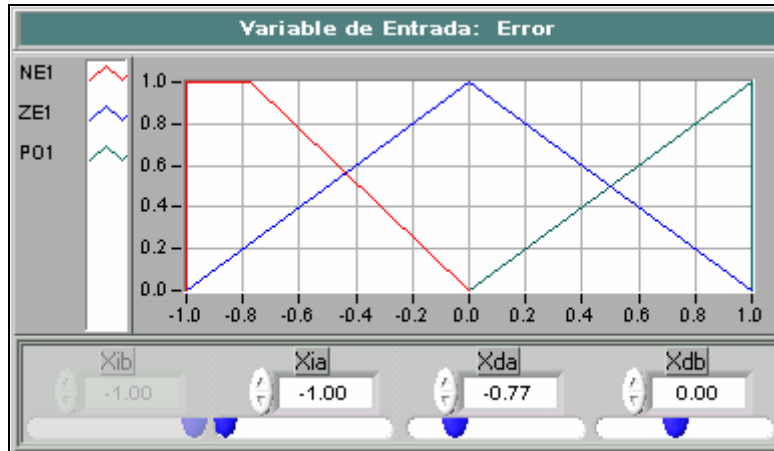
Nota:

Los archivos de texto generados con extensión *.asm deben ser copiados al editor propia de cada uno de los fabricantes de microcontroladores (Microchip y Motorola) para realizar la compilación correcta. Se recomienda abrirlos con dichos editores de texto, seleccionar todo el texto y pegarlo como un nuevo archivo con un nombre diferente. Esto evitara cualquier tipo de errores de compilación.

3.1.3.1. Editor de Conjuntos Fuzzy.VI

Este VI sirve para editar los conjuntos *fuzzy* de las variables de entrada y salida. Al lado izquierdo del panel frontal se encuentra el selector de los términos linguisticos de la variable linguistica que se este tratando, junto con la convención de colores utilizada dentro de la gráfica.

Figura 38. Panel Frontal del Editor de Conjuntos Fuzzy



Al hacer *clic* en la etiqueta de cada término lingüístico se activan los controles de entrada numérica y deslizable de la parte inferior, con los cuales es posible modificar de manera interactiva las funciones de membresía de los conjuntos *fuzzy*. Las modificaciones de las figuras que representan a los términos lingüísticos están sujetas a las restricciones propias de las funciones de membresía utilizadas para definirlos.

Otras opciones de modificación de una variable lingüística y de sus términos son asequibles desde el menú principal del programa y para tal fin se debe seleccionar el objeto a modificar haciendo *clic* en su etiqueta. Estas opciones para una variable lingüística son: Nombrar (o cambiar de nombre a) una variable, editar sus rangos (el universo de discurso), adicionar y remover variables. De manera similar, para los términos lingüísticos las opciones son: Nombrar términos, adicionar términos antes o después y remover términos.

3.1.3.2. Editor de Base de Reglas.VI

Figura 39. Panel Frontal del Editor de Base de Reglas

Reglas del Controlador Fuzzy: De Temperatura			
Regla	SI		ENTONCES
	in1	in2	out
1	NE1	NE2	Ninguna
2	NE1	ZE2	Ninguna
3	NE1	PO2	Ninguna
4	-ZE1	NE2	Ninguna
5	-ZE1	ZE2	Ninguna
6	-ZE1	PO2	Ninguna
7	-ZE1+	NE2	Ninguna
8	-ZE1+	ZE2	Ninguna
9	-ZE1+	PO2	Ninguna
10	-ZE1+ +	NE2	Ninguna
11	-ZE1+ +	ZE2	Ninguna
12	-ZE1+ +	PO2	Ninguna
13	ZE1	NE2	Ninguna
14	ZE1	ZE2	Ninguna
15	ZE1	PO2	Ninguna

La base de reglas se fundamenta principalmente en el conocimiento de un experto acerca del control del proceso, existen otras técnicas para establecer dichas reglas, pero este tópico no esta dentro de los alcances de este proyecto.

El Editor de Base Reglas es básicamente una tabla en la cual se resumen las reglas de la siguiente forma:

Tabla 4. Formato de la Base de Reglas

Número de Regla	SI		ENTONCES
	Variable de Entrada 1	Variable de Entrada 2	Salida

El significado explícito de este formato para una regla es el siguiente:

SI la variable de entrada 1 es el término A **Y** la variable de entrada 2 es el término B **ENTONCES** la variable de salida es S.

Este editor inicia con un conjunto de reglas por defecto o definidas a partir de los términos de las variables de entrada, estas reglas se particularizan seleccionando en la columna **ENTONCES** una de las etiquetas concernientes a un *Singleton* de la variable de salida mediante un selector que se encuentra en cada fila donde se define una regla.

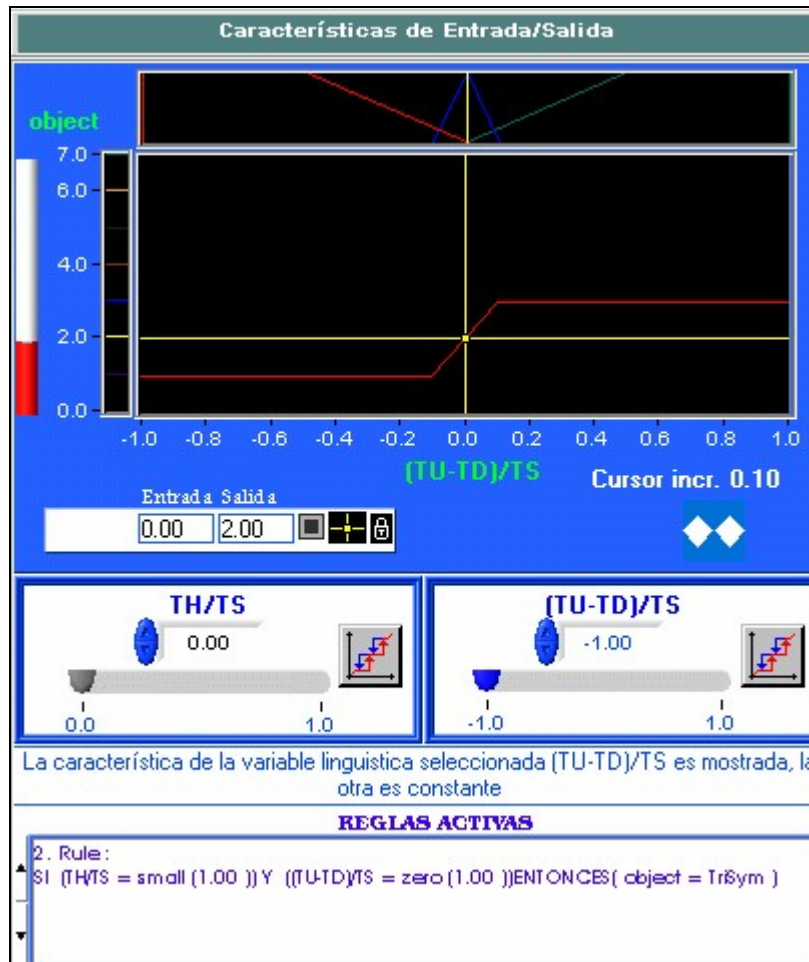
Existen dos (2) opciones para definir la regla que debe tomar el editor cuando quede sin especificar en una regla su consecuente (singleton de la variable de salida) o en otras palabras que quede inactiva, estas opciones son: **Ultimo valor** y **Valor por defecto**. Y pueden en el menú escoger en el ítem **Herramientas<<Reglas sin activar**.

3.1.3.3. Visor de Características de E/S.VI

Esta ventana permite observar las características de Entrada/Salida del controlador *Fuzzy* que se este diseñando, para esto el programa coloca una de las variables de entrada como un valor constante; la otra variable se varía en todo su universo de discurso. Se gráfica la característica tomando en el eje x la variable de entrada y en el eje y la variable de salida.

Existen dos (2) recuadros en la parte inferior de la gráfica de la característica de Entrada / Salida; cada uno de los cuales contiene un icono que se activa para graficar en la característica de E/S la variable descripción de entrada que representa su etiqueta, contra la variable descripción de salida. Además, contiene un control numérico y un control deslizable para asignar un valor constante a la variable descripción de entrada que no sea graficada en la característica de E/S.

Figura 40. Panel Frontal del Visor de Características de E/S



En la parte inferior de la gráfica se encuentra el cursor que permite desplazarse a través de la curva, y unos indicadores de la entrada y salida en cada punto seleccionado. Cada punto dentro de la curva de E/S es el resultado que se ejerce a través de una o más reglas de control *Fuzzy* definidas en la Base de reglas. Las reglas que son activas para cada punto (x;y) seleccionado en la curva pueden observarse en el recuadro inferior de la ventana.

3.2. ESTRUCTURA DE PROGRAMACIÓN DEL GENERADOR DE CÓDIGO

Dentro del programa **FUZZYE3T** se encuentran los programas denominados **FUZZYASM_P** y **FUZZYASM_M**, los cuales convierten la caracterización del controlador *Fuzzy* (hecha mediante las herramientas de *Fuzzy Logic Toolkit*) a un formato de Descripción del control *Fuzzy* en lenguaje ensamblador para los microcontroladores PIC y MOTOROLA respectivamente. En general, cada uno de estos programas puede dividirse en cuatro (4) partes para su descripción; estas son:

a) Módulo de Conversión de Antecedentes.

b) Módulo de Reglas.

c) Módulo de Centroide.

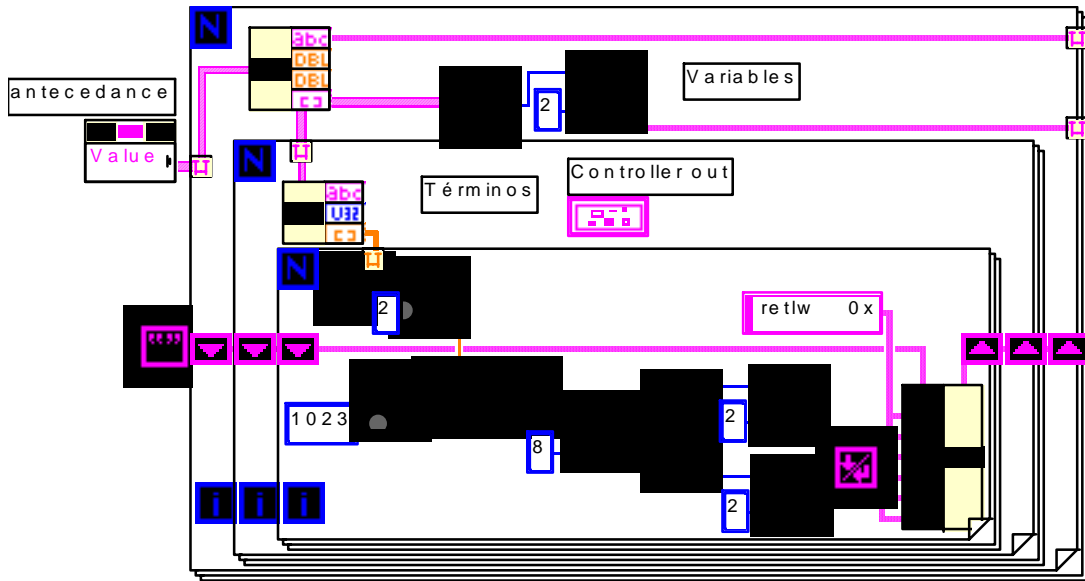
d) Acople.

3.2.1. Módulo de Conversión de Antecedentes

La programación gráfica de este módulo consta principalmente de tres estructuras de repetición anidadas del tipo *FOR*.

Como resultado de esta programación se obtienen dos (2) vectores de cadenas de caracteres y una cadena de caracteres adicional. El primer vector contiene las etiquetas (nombres) de las variables lingüísticas de entrada definidas por el usuario. El segundo vector contiene los número de términos lingüísticos definidos para cada una de las variables lingüísticas de entrada. La cadena de caracteres adicional contiene el código en lenguaje ensamblador que sirve como tabla, que almacena las abscisas que definen las funciones de membresía de cada término lingüístico (4 bytes para cada término). Esta programación puede verse en la siguiente figura:

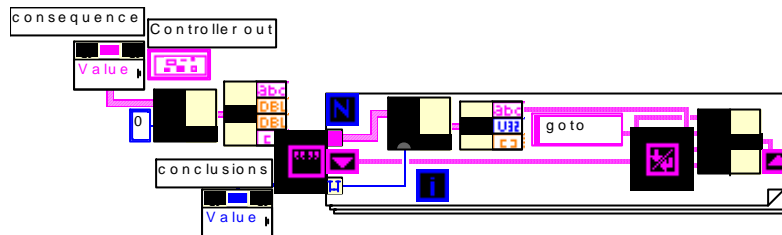
Figura 41. Programación gráfica del módulo de conversión de antecedentes.



3.2.2. Módulo de Reglas

Este módulo consta principalmente de una estructura del tipo *FOR*. El resultado de este módulo de programación es una cadena de caracteres que contiene el segmento de código en lenguaje ensamblador para direccionar las reglas de control *Fuzzy*.

Figura 42. Programación gráfica del módulo de reglas.

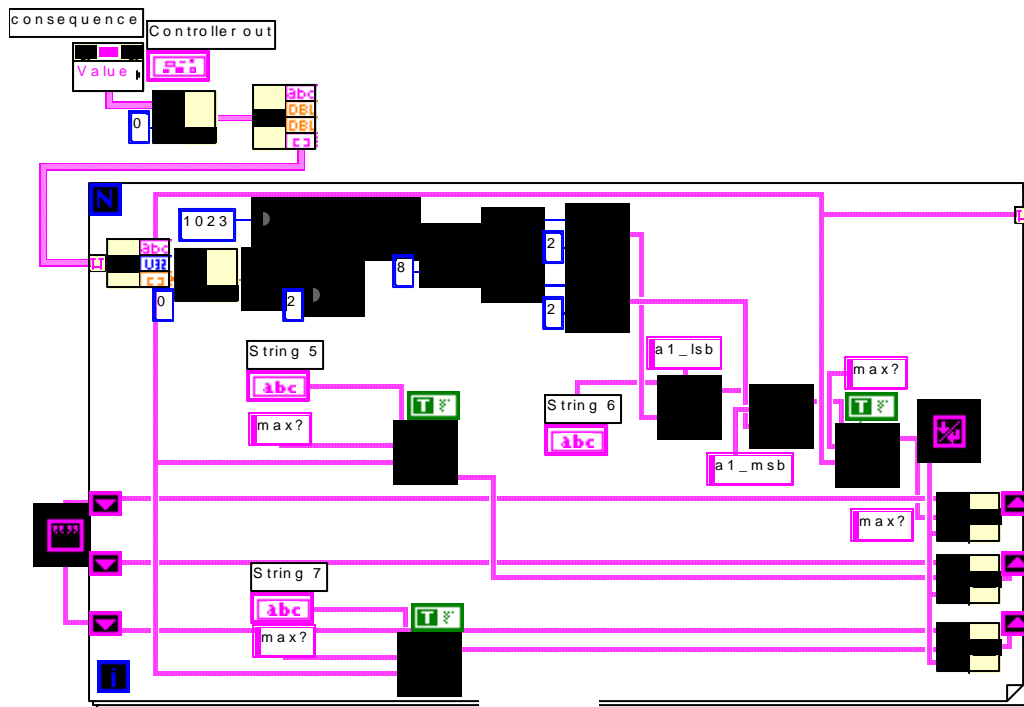


En esencia, en este segmento se utilizan estructuras de salto condicional para acceder a una regla *fuzzy* determinada dentro del formato de programa de control *fuzzy*.

3.2.3. Módulo de Centroide

Este módulo utiliza un lazo *FOR* para obtener como resultado tres cadenas de caracteres. La primera cadena representa el código en lenguaje ensamblador para ejecutar las operaciones de multiplicación, suma y división que involucra el cálculo del centroide de los *singletons* de la variable lingüística de salida. La segunda cadena, contiene el código de programa que sirve para ejecutar la implicación mínimo – máximo y almacenar el resultado en la variable (de programa) que representa el término de salida, según una regla determinada. La tercer cadena de caracteres relaciona los nombres de las variables de programa que representan todos los términos lingüísticos de la variable lingüística de salida.

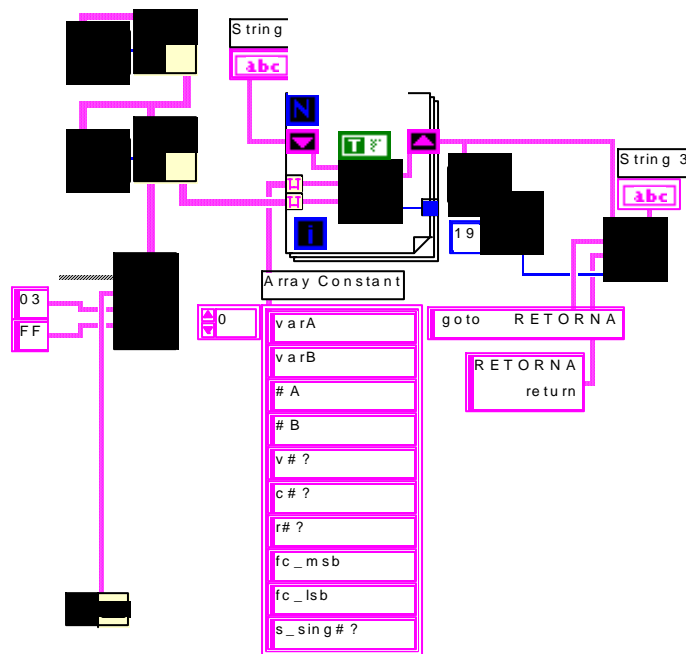
Figura 43. Programación gráfica del módulo de Centroide.



3.2.4. Acople

Esta programación es la encargada de tomar los resultados de los módulos anteriormente descritos y sintetizar una cadena de caracteres que representa el código del programa del control *Fuzzy* en lenguaje ensamblador. Esto se hace, incrustando los segmentos de código en el formato de programa de control *Fuzzy* (que se expuso en el capítulo 3). El formato es particularizado según la caracterización presente en el archivo *.fc que se formo en la interfaz gráfica de diseño de controladores *Fuzzy* y presentado finalmente como una subrutina, para esto último se cierra el código con las instrucciones de retorno de subrutinas.

Figura 44. Programación gráfica que acopla los módulos del Programa FUZZYASM.



4. APLICACIÓN: CONTROL FUZZY DE LA TEMPERATURA DE UNA RESISTENCIA DE CALEFACCIÓN

El control de temperatura es ampliamente utilizado en varios procesos industriales. A continuación se desarrolla un Controlador Lógico *Fuzzy* capaz de regular la energía entregada a un elemento resistivo para mantener su temperatura en rangos preestablecidos.

Primero, se muestra el control *Fuzzy* realizado por medio del computador y luego, el mismo control hecho mediante un microcontrolador de ocho bits de propósito general; en este caso se hace la prueba para cada uno de los microcontroladores PIC16F873 y MC68HC908JL3.

4.1. CARACTERÍSTICAS DEL SISTEMA

Este sistema físicamente consta de un bombillo incandescente de 120 Voltios – 60 Vatios como elemento resistivo objeto del control de temperatura, conectado en serie con una fuente de voltaje de 115 Vrms a través de un tiristor. El lazo de realimentación lo conforma básicamente un sensor de temperatura. El lazo directo se cierra por medio del controlador propiamente dicho, este puede ser implementado en el computador o en el microcontrolador.

El *setpoint* de temperatura puede introducirse al sistema a través de un potenciómetro (señal analógica) o por medio de un teclado alfanumérico (señal digital). La temperatura medida en la superficie de la ampolla de vidrio del bombillo es convertida a una señal eléctrica por medio del sensor (transductor) de estado sólido C.I. LM35.

La salida del controlador *Fuzzy* es una señal de voltaje modulada en ancho de pulso, que luego de pasar por una etapa de acondicionamiento de señal sirve para dar el disparo al tiristor actuador (TRIAC). Esto hace que el ángulo de conducción del tiristor sea variable y se produzca una señal de voltaje sinusoidal recortada en fase en los terminales del elemento resistivo. Se utiliza el control A.C. de línea para evitar la componente de D.C. presente en el control unidireccional, y por tanto mejorar la eficiencia del sistema de calentamiento de la resistencia (bombillo incandescente). Esto es posible aprovechando la característica de funcionamiento del tiristor (TRIAC) para regular la tensión eficaz aplicada a la carga resistiva.

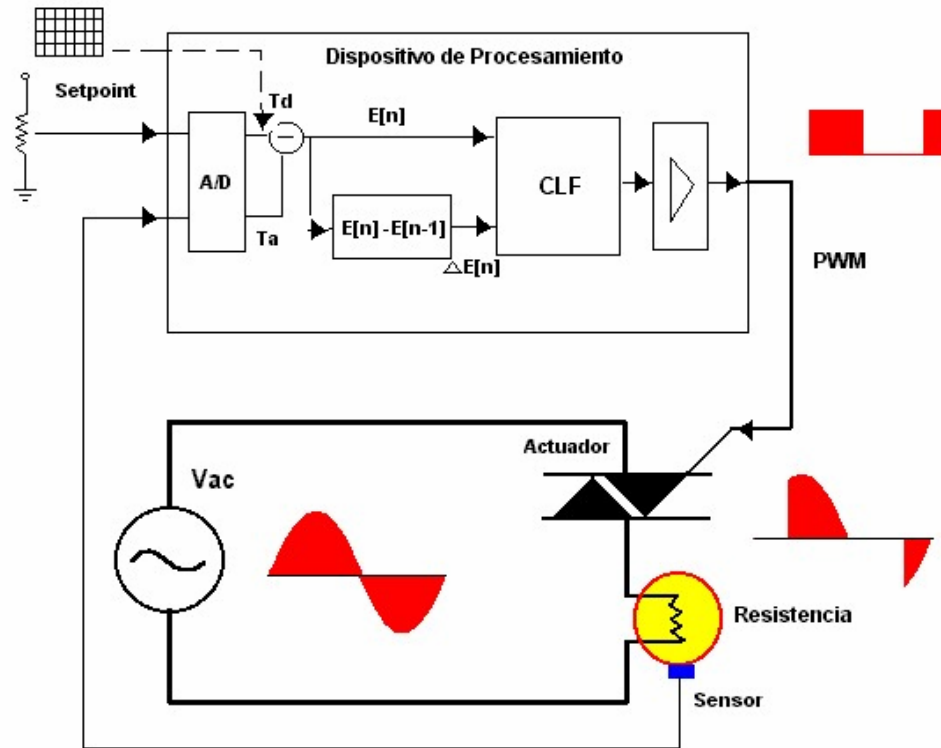
Finalmente, si las reglas del controlador *Fuzzy* son adecuadas, la energía entregada a la resistencia eléctrica se regula de tal forma que la temperatura alcanza el *setpoint* establecido y se mantiene aproximadamente constante, aún en presencia de cambios externos. El esquema general del sistema puede verse en la siguiente figura:

En el sistema implementado, el sensor de temperatura determina la entrada de datos al controlador. Esta entrada es procesada para obtener las dos variables lingüísticas de entrada (o antecedentes) del controlador, error (E) y variación del error (ΔE), de la siguiente forma:

$$E = Td - Ta \quad (\text{Ec. 15})$$

$$\Delta E = E_2 - E_1 \quad (\text{Ec. 16})$$

Figura 45. Esquema general del sistema.



Donde Td es la Temperatura deseada, Ta es la temperatura actual leída por el sensor, $E2$ es el error anterior y $E1$ es el error actual del sistema de control.

Considerando constante el *setpoint* de un muestreo de señal a otro, se tiene que:

$$Td2 = Td1 \quad (\text{Ec. 17})$$

Entonces,

$$\Delta E = Ta1 - Ta2 \quad (\text{Ec. 18})$$

Donde $Td2$ es la temperatura deseada anterior, $Td1$ es la temperatura deseada actual, $Ta1$ es la temperatura leída actual y $Ta2$ es la temperatura leída anterior.

La variable de salida (o consecuencia) es determinada según el método de funcionamiento del actuador, en este caso corresponde a una señal de PWM que se suministra a un dispositivo optoacoplador para dar el disparo a un TRIAC.

Las variables lingüísticas seleccionadas se estructuran con un total de ocho términos lingüísticos. Cinco términos lingüísticos la primer variable (Error Negativo, Error Cero, Error Pequeño, Error Medio y Error Grande) y tres la segunda (Variación del Error Cero, Variación del Error Medio y Variación del Error Grande), tomados éstos del lenguaje natural utilizado para la descripción del estado de la temperatura del elemento de calentamiento.

Las funciones de membresía utilizadas para cada término lingüístico dentro de cada variable se esbozan en las siguientes figuras:

Figura 46. Funciones de membresía utilizadas en los términos lingüísticos de la variable Error.

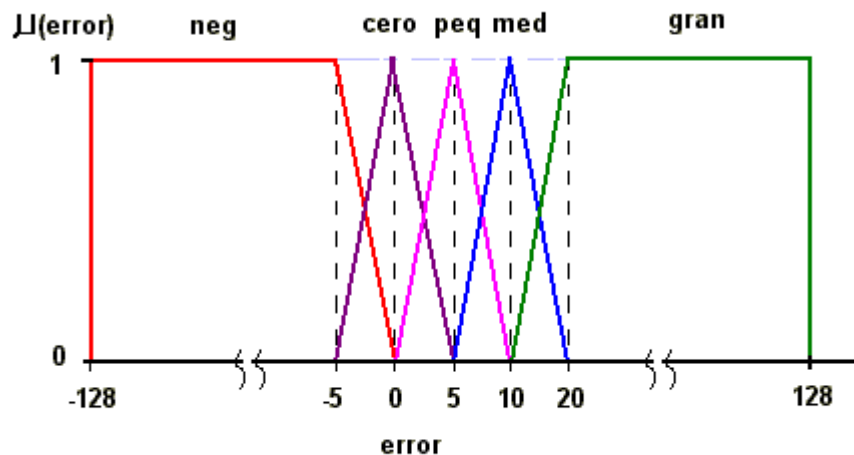
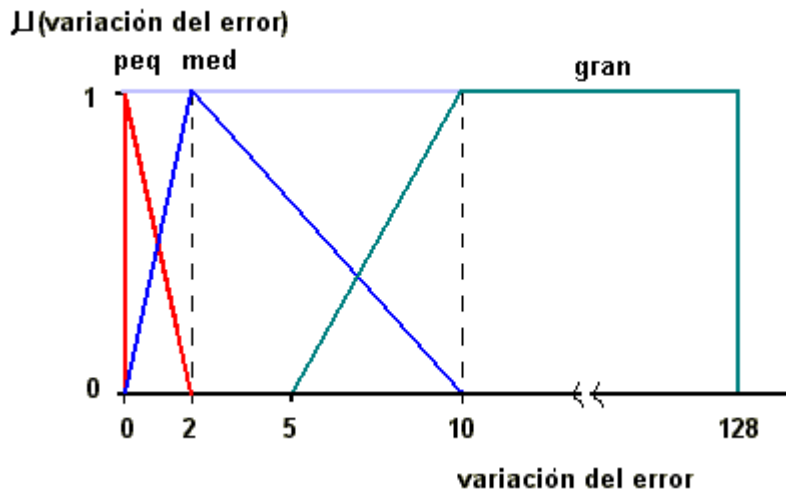


Figura 47. Funciones de membresía utilizadas en los términos lingüísticos de la variable Variación del Error



El ajuste de estas funciones es un factor determinante para el buen funcionamiento del controlador, y depende principalmente de pruebas empíricas.

La variable lingüística de salida o consecuencia se conforma de seis (6) términos lingüísticos definidos como *singletones*, estos son: Potencia Máxima, Potencia Alta, Potencia Media Alta, Potencia Media, Potencia Media Baja y Potencia Cero. Ver Figura, 4.11. El ajuste de los *singletones* (para los términos lingüísticos) en el universo de discurso de la variable de salida actual, se hace con base en la distribución de potencia al elemento resistivo por parte de la fuente de tensión, esto es:

Si $V_s = \sqrt{2} V_s^* \sin(\omega t)$ es el voltaje de entrada, y los ángulos de retraso del TRIAC en ambos sentidos son iguales ($\alpha_1 = \alpha_2 = \alpha$) el voltaje RMS de salida se determina como sigue:

$$V_o = \left[\frac{2}{2\pi} \int_{\alpha}^{\pi} 2V_s^2 \sin^2(\omega t) d(\omega t) \right]^{1/2} \quad (\text{Ec. 19})$$

$$V_o = \left[\frac{4V_s^2}{4\pi} \int_{\alpha}^{\pi} (1 - \cos(2wt)) d(wt) \right]^{1/2} \quad (\text{Ec. 20})$$

$$V_o = V_s \left[\frac{1}{\pi} \left(\pi - \alpha + \frac{\text{sen } 2\alpha}{2} \right) \right]^{1/2} \quad (\text{Ec. 21})$$

La potencia en la carga seria de la forma:

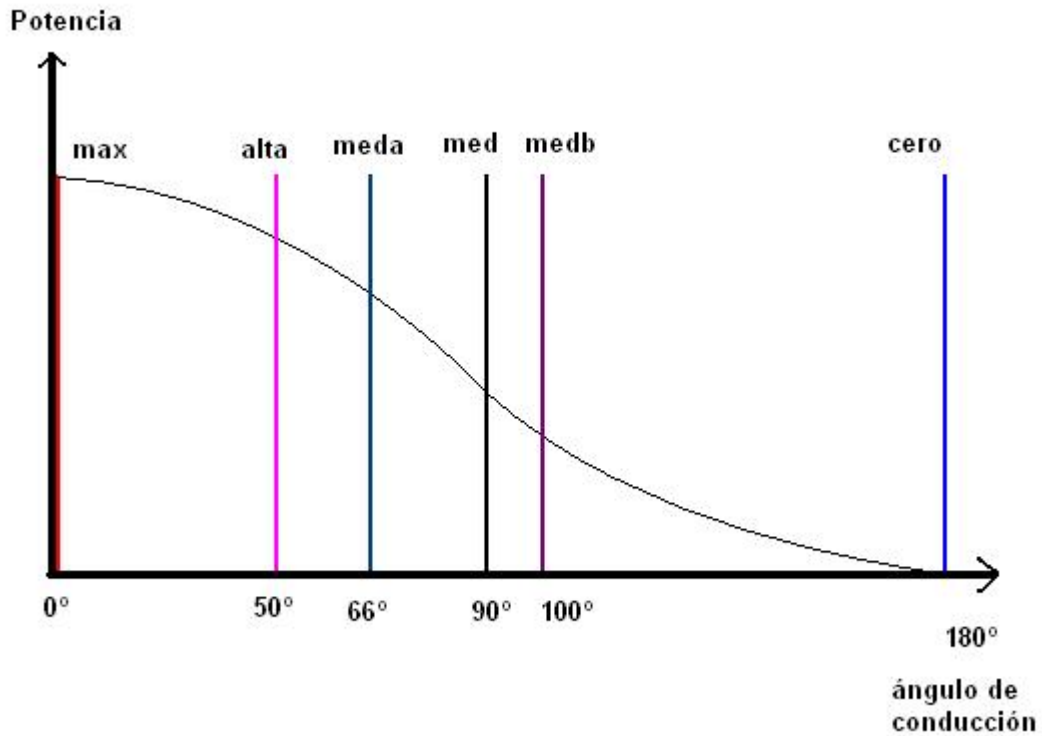
$$P_o = V_o^2 * R \quad (\text{Ec. 22})$$

$$P_o = \frac{\frac{V_s^2}{\pi} \left(\pi - \alpha + \frac{\text{sen } 2\alpha}{2} \right)}{R} = \frac{V_s^2 [2(\pi - \alpha) + \text{sen } 2\alpha]}{2\pi * R} \quad (\text{Ec. 23})$$

$$P_o = \frac{V_s^2 [2(\pi - \alpha) + \text{sen } 2\alpha]}{2\pi * R} \quad (\text{Ec. 24})$$

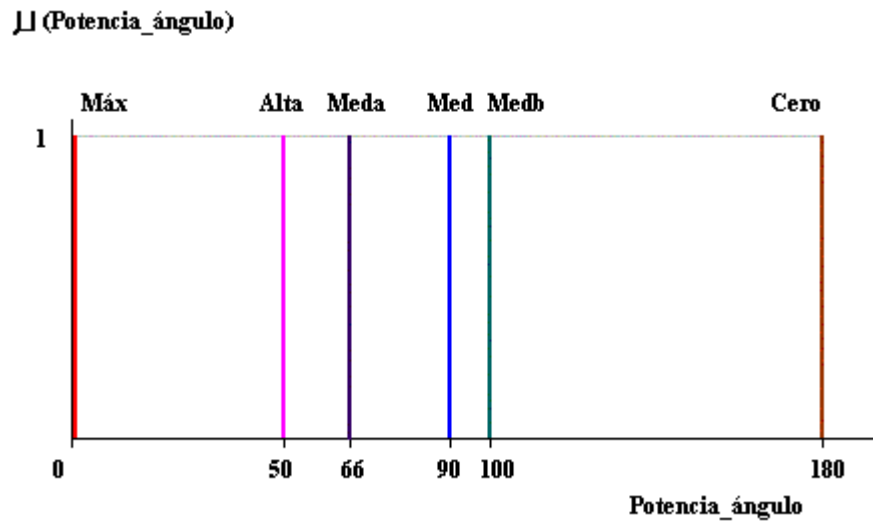
La curva que representa dicha potencia en función del ángulo de conducción, junto con la ubicación de los singletones es mostrada en la figura, 48.

Figura 48. Ajuste de los términos lingüísticos de la variable de salida sobre su universo de discurso.



El hecho de establecer las funciones de membresía de la variable de salida del tipo *singleton*, nos permite aplicar el método de defuzzyficación por centroide de forma simplificada. Para el controlador difuso se tiene, entonces, la variable de salida toma la siguiente forma (ver figura, 49):

Figura, 49. Términos lingüísticos de la variable de salida Potencia_ángulo.



El número de reglas que se utilizan en el control *Fuzzy* de este sistema esta dado por:

$$(Ec. 25)$$

$$(Ec. 26)$$

Donde P_i es el número de términos para la variable de entrada i , y m es el número de la variable de entrada.

Estas quince (15) reglas se forman a partir del ajuste de una consecuencia para cada posible combinación de los términos de las variables antecedentes del controlador difuso. La experiencia e intuición de un operador en el control de un sistema de calentamiento sencillo como este puede ser esbozada de forma resumida por medio de los siguientes enunciados:

1. Si el error de temperatura (diferencia entre la temperatura deseada y la temperatura leída) es negativo; es decir que la temperatura del elemento de calentamiento es superior a la temperatura deseada, no queda otra opción más que quitar la alimentación al sistema (pues no se cuenta con sistemas de enfriamiento).

2. Si el error de temperatura es positivo grande; es decir que el sistema esta lejos de alcanzar la temperatura deseada, luego la solución debe ser proporcionar la máxima potencia a la carga para que se produzca el calentamiento lo más rápido posible.

3. Si el proceso de alcanzar una temperatura deseada (*setpoint*) avanza muy lentamente (variación del error pequeño) y no se esta entregando la máxima potencia, entonces se debe aumentar dicha potencia.

4. Si la temperatura leída por el sensor se aproxima rápidamente a la temperatura deseada (cuando, temperatura deseada > temperatura leída), entonces puede ser ventajoso disminuir la gradualmente la potencia entregada a la carga resistiva para evitar sobrepasar el *setpoint*.

El conjunto completo de reglas puede resumirse en la siguiente tabla:

Tabla 5. Reglas utilizadas para la caracterización del control Fuzzy de temperatura

Regla N°.	SI		ENTONCES
	ERROR	VARIACIÓN DEL ERROR	POTENCIA
1	negativo	Pequeño	Cero
2	negativo	Medio	Cero
3	negativo	Grande	Cero
4	Cero	Pequeño	Media baja
5	Cero	Medio	Media baja

6	Cero	Grande	Media baja
7	Pequeño	Pequeño	Alta
8	Pequeño	Medio	Media alta
9	Pequeño	grande	Media
10	Medio	Pequeño	Máxima
11	Medio	Medio	Alta
12	Medio	grande	Media alto
13	Grande	Pequeño	Máxima
14	Grande	Medio	Máxima
15	Grande	grande	Máxima

En aplicaciones de control *Fuzzy* de lazo cerrado, como el de este ejemplo, son de uso común los operadores de AND (Mínimo) y OR (Máximo), dando como mecanismo de inferencia estándar el método de Mínimo-Máximo que se adopta en este proyecto.

El método de defuzzyficación de Centroides da como resultado de manera directa un valor preciso para la variable real de salida de control, una señal de tipo pulso modulado en amplitud (para este ejemplo).

La documentación completa de la caracterización del controlador es mostrada el anexo 3.

4.2. CONTROLADOR FUZZY DESDE EL COMPUTADOR

El control de sistemas físicos por computador se hace cada vez más común en la industria debido al incremento en la flexibilidad de los programas de control y la capacidad lógica de los sistemas digitales. El esquema general del sistema basado en computador es el mismo mostrado en la figura 45, donde el dispositivo de procesamiento hace alusión al PC.

Los principales requerimientos para el desarrollo de esta aplicación son:

- ⌘ Hardware de adquisición de datos.
- ⌘ Hardware de control.
- ⌘ Dispositivo de procesamiento central, en este caso un computador personal para procesar los datos adquiridos y la generan la salida correspondiente para el control con Lógica *Fuzzy* del sistema.
- ⌘ Software, para la aplicación de control. Para esto se desarrolló un programa en LabVIEW, basándose en la herramienta *Fuzzy Logic for G Toolkit*.

Con estos requerimientos básicos, el control *Fuzzy* es aplicable a casi todo sistema susceptible de ser controlado; basta con tener alguna experiencia en el funcionamiento del sistema a controlar (o utilizar alguna otra técnica de extracción de conocimiento) para que mediante un lenguaje natural se generen las reglas que determinarán el comportamiento del controlador *Fuzzy*.

Como hardware de adquisición de datos y acondicionamiento de la señal de salida se utiliza una tarjeta electrónica externa. Los detalles de la tarjeta pueden verse en el capítulo 5 de esta tesis de grado.

A continuación se describe el programa principal para esta aplicación, ejecutada desde el computador.

4.3. PROGRAMA PRINCIPAL

El programa de aplicación para el control *Fuzzy* desde el computador reúne las siguientes características:

- Interfaz gráfica intuitiva del proceso.
- Visualización de las señales de entrada y de las acciones de control generadas mediante gráficos en pantalla.
- Registro continuo de las señales de entrada y salida en disco, para tener un seguimiento histórico del comportamiento del sistema, mediante consultas de base de datos, y elaboración de gráficos directamente de los datos obtenidos.
- Permite seleccionar un archivo de extensión *.fc con la caracterización del controlador *Fuzzy*, esto permite probar diferentes caracterizaciones para escoger la más apropiada.

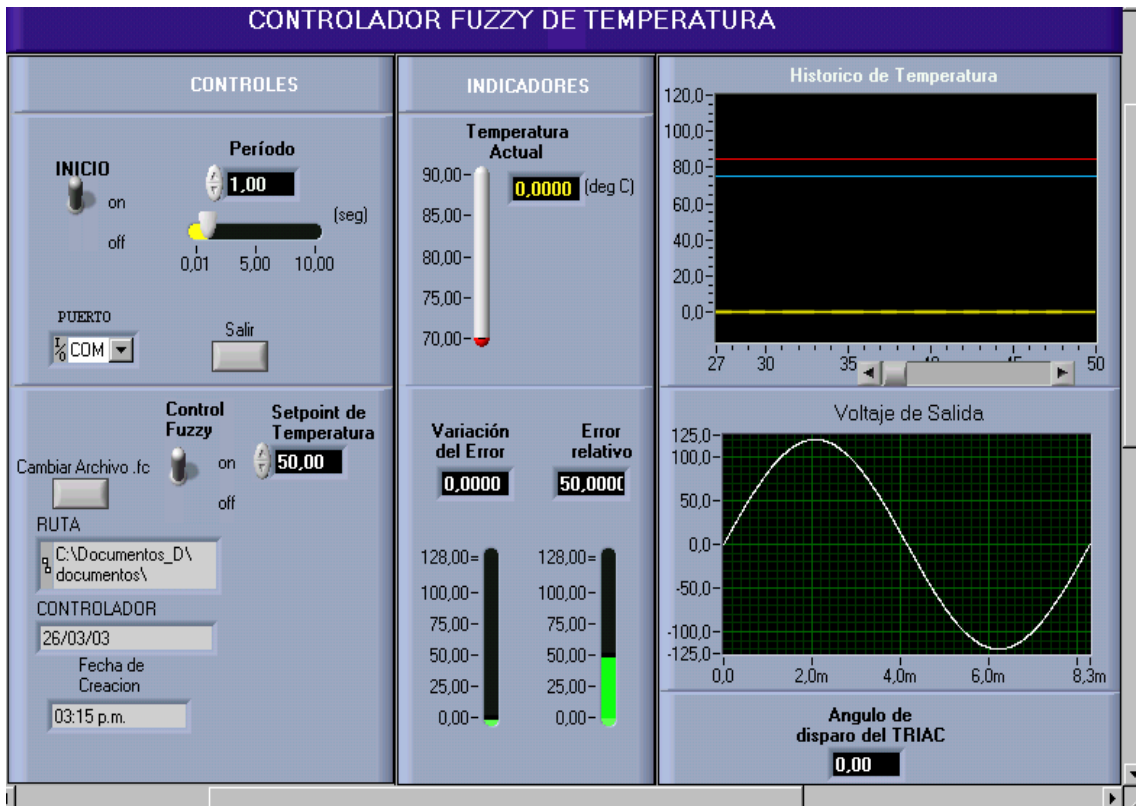
4.1.1.1. Interfase con el Usuario

El panel frontal del Controlador con Lógica *Fuzzy* basado en el computador se muestra en la figura 50.

En este Panel Frontal se puede observar el progreso de la variable controlada temperatura, mediante gráficas e indicadores numéricos; así como también se ve un análisis estadístico de dicha variable. Mediante los controles del campo de Rango de Temperatura es posible fijar los límites alto y bajo en la gráfica de temperatura, de manera tal que se produzca una alarma visual si se pasa uno de estos límites. El inicio de conversión de datos A/D y el del análisis de los datos adquiridos se dan en el campo denominado Controles del Sistema. Un indicador muestra el ángulo de disparo del

TRIAC y en una gráfica adicional se visualiza el voltaje de salida que se envía a la carga.

Figura 50. Interfase de usuario del programa de control de temperatura.



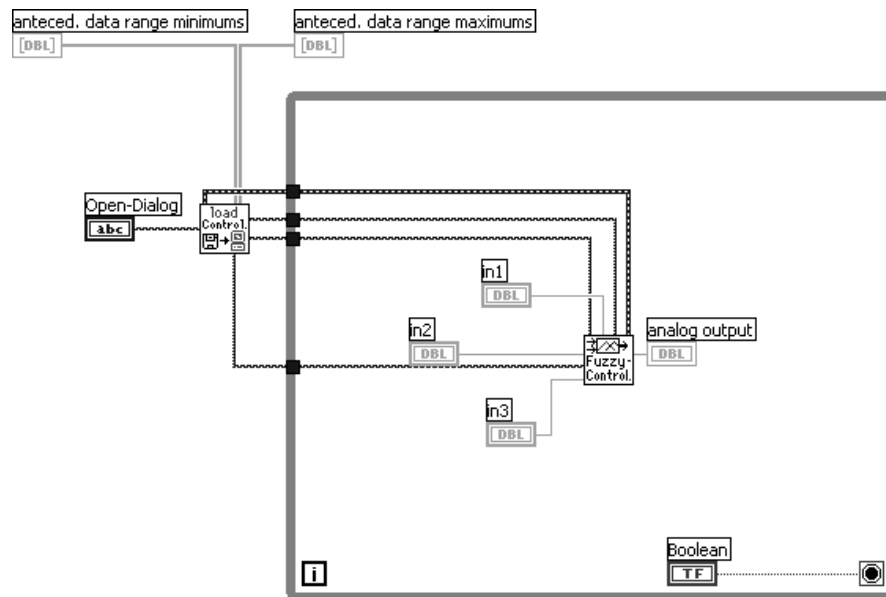
Al inicio del programa se abre una ventana de abrir, con el cual se selecciona el archivo de caracterización *. fc que se desea utilizar para el control del sistema.

4.1.1.2.Subrutina de Control

En esta subrutina se carga el archivo de control *Fuzzy* mediante el *Load Fuzzy Controller VI* y se procede a ejecutar el control con el *Fuzzy Controller VI*. Para esto, se toma el *setpoint* de temperatura y la temperatura leída por la tarjeta de adquisición de datos, y se procesa esta última para obtener las dos (2) variables lingüísticas entradas del

controlador. La salida de esta subrutina es el ángulo de disparo para el actuador (TRIAC) que es enviado a la tarjeta externa de control via puerto serial.

Figura 51. Subrutina de control.



4.4. CONTROLADOR FUZZY BASADO EN MICROCONTROLADOR

El formato de software de control *Fuzzy* desarrollado en esta tesis, esta dirigido a aplicaciones con microcontroladores de la familia PIC (gamas básica y media) de MICROCHIP y de la familia CPU08 de MOTOROLA. Para la aplicación particular de control *Fuzzy* de temperatura fueron escogidos dos (2) microcontroladores de 8 bits de bajo costo:

- ◆ PIC16F873 de la empresa *MICROCHIP*
- ◆ HC908JL3 de la empresa *MOTOROLA*.

Los pasos que se deben seguir para implementar un controlador *Fuzzy* en un sistema basado en microcontrolador son los siguientes:

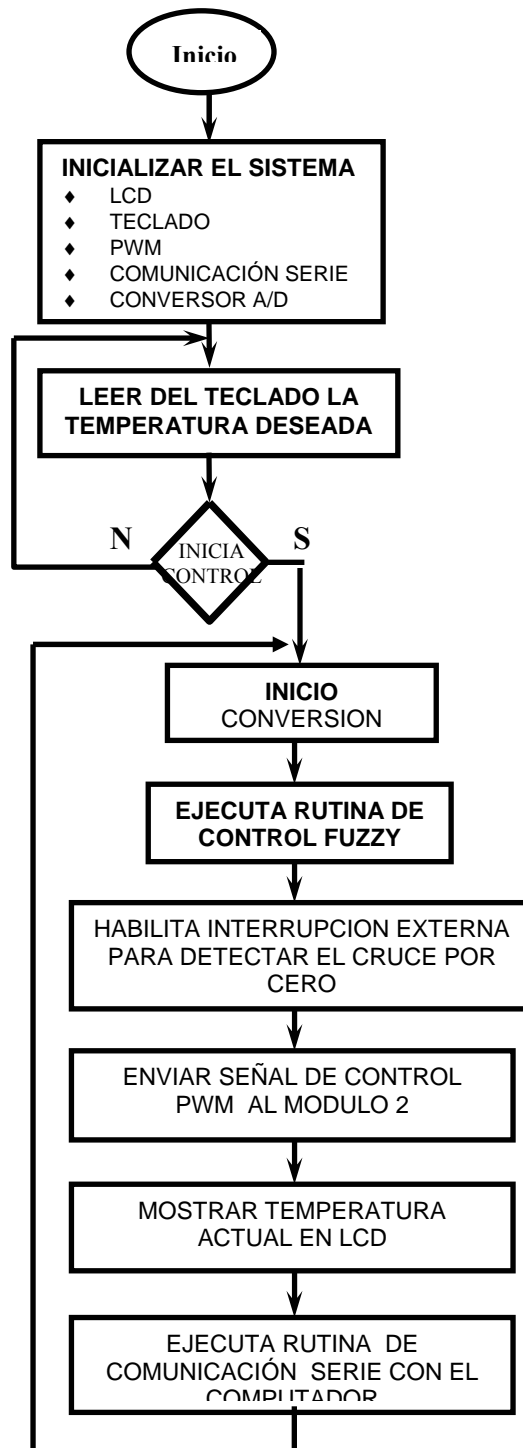
1. Caracterizar el sistema mediante una herramienta de diseño tal como FUZZYE3T o Fuzzy Logic Toolkit.
2. Afinar los parámetros del controlador, esto puede hacerse en el programa FUZZYE3T mediante la observación de las características de E/S o por medio de simulaciones en otros programas como MATLAB.
3. Generar el código en lenguaje ensamblador del programa del controlador *Fuzzy* por medio de un software como FUZZYE3T, o por cuenta propia del diseñador.
4. Ensamblar el código de control *Fuzzy* junto con las demás rutinas necesarias para la aplicación en particular.
5. Grabar el código de programa del controlador en el microcontrolador. Generalmente, los fabricantes de microcontroladores proveen su propio software para tal fin, por ejemplo: MPLAB para los microcontroladores de MICROCHIP y el ICS08JLZ para los de MOTOROLA.

Para la aplicación de control de temperatura de una resistencia de calefacción se complementó el código de control *fuzzy* (generado por FUZZYE3T) con rutinas de adquisición y visualización de datos, de generación de señales moduladas en ancho de pulso y manejo de interrupciones, entre otras. Esto se verá a continuación.

4.1.1.3. Diagrama de Flujo del Control de Temperatura

El diagrama de flujo del programa de control *fuzzy* del proceso de calentamiento de una resistencia de calefacción puede verse en la siguiente figura.

Figura 52. Diagrama de flujo programa de control *fuzzy* solo en el microcontrolador



4.1.1.4. Programa de Control *Fuzzy* en Código Ensamblador para los Microcontroladores PIC16F873 y HC08JL3

Los códigos de programa para la ejecución del control *fuzzy* de temperatura de una resistencia de calefacción son mostrados en el anexo 4.

5. DISEÑO DEL HARDWARE PARA EL CONTROLADOR FUZZY

En este capítulo se describe el hardware construido para el control Fuzzy en particular se presenta las características del mismo para implementar el control de temperatura de un sistema realimentado simple.

Para la implementación de este proyecto se construyó un sistema electrónico modular, en primera instancia dos módulos; Figura 53.

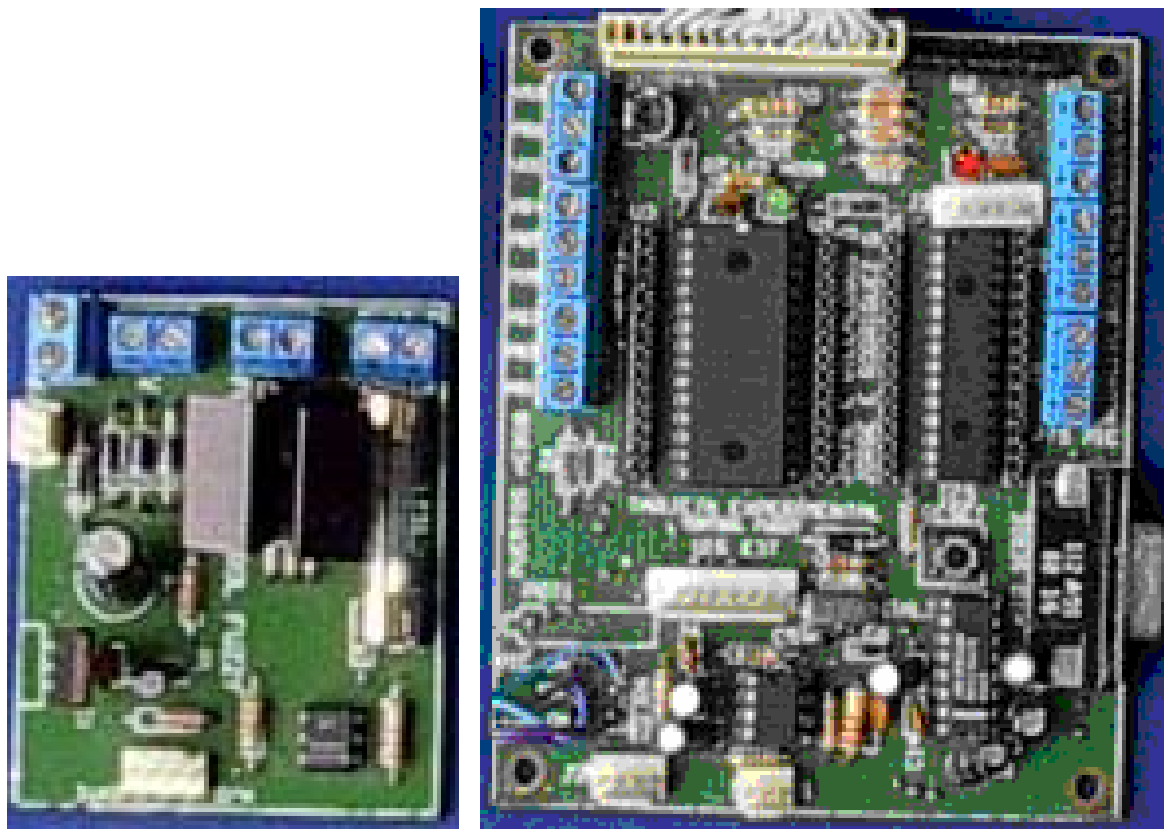


Figura 53, Vista superior de los módulos construidos (diseñados en demo Protel 99 SE)

El primer módulo es la etapa analógica, este agrupa la fuente, el detector de cruce por cero y el relé de estado sólido para controlar la carga. El segundo módulo es la *tarjeta experimental para el control Fuzzy*, que agrupa dispositivos digitales y analógicos.

Este sistema se puede utilizar para aplicaciones de control de procesos, soportando estrategias de control lógico Fuzzy, en una aplicación específica de control de temperatura de un sistema, control realizado desde el computador o exclusivamente desde alguno de los dos microcontroladores.

5.1. DESCRIPCIÓN

En la figura 54 se muestra el diagrama de bloques del sistema, cada uno de ellos esta formado por un grupo específico de componentes agrupados en los dos módulos.

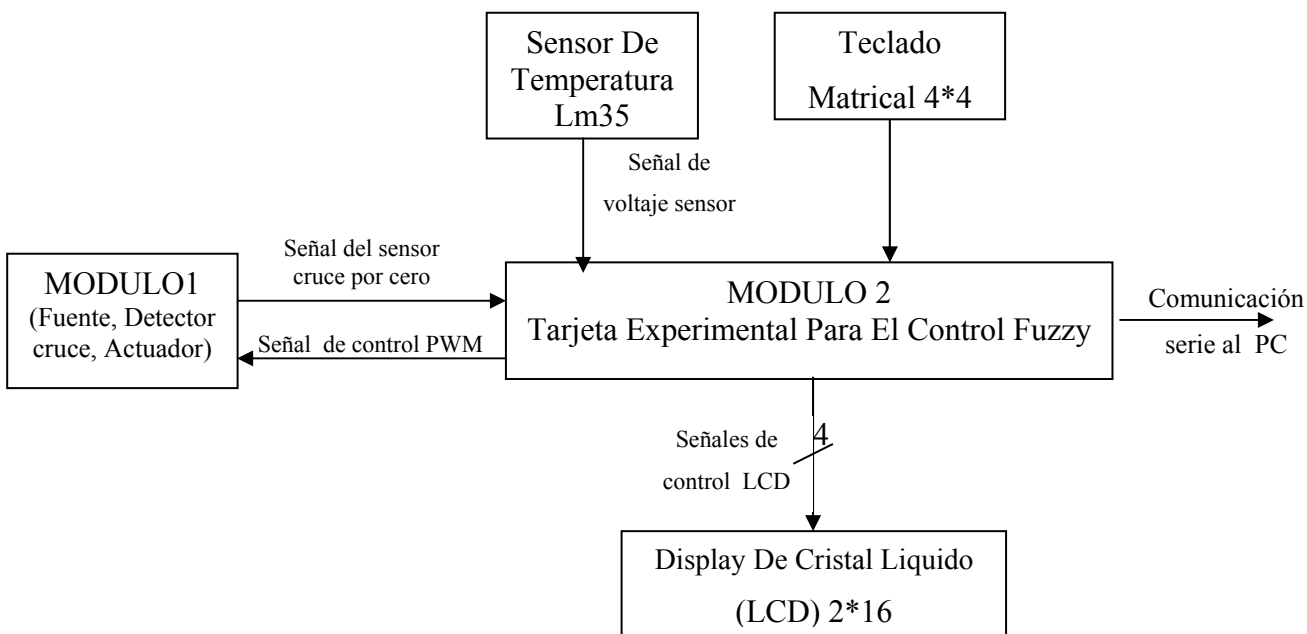


Figura 54, Diagrama de bloques del sistema

5.2. MODULO 1

Este modulo (figura 55) esta compuesto por:

- Fuente de alimentación +5v (cinco voltios positivos) 800mA
- Detector de cruce por cero de onda sinusoidal 60 Hz.
- Relé de estado sólido (control de potencia).

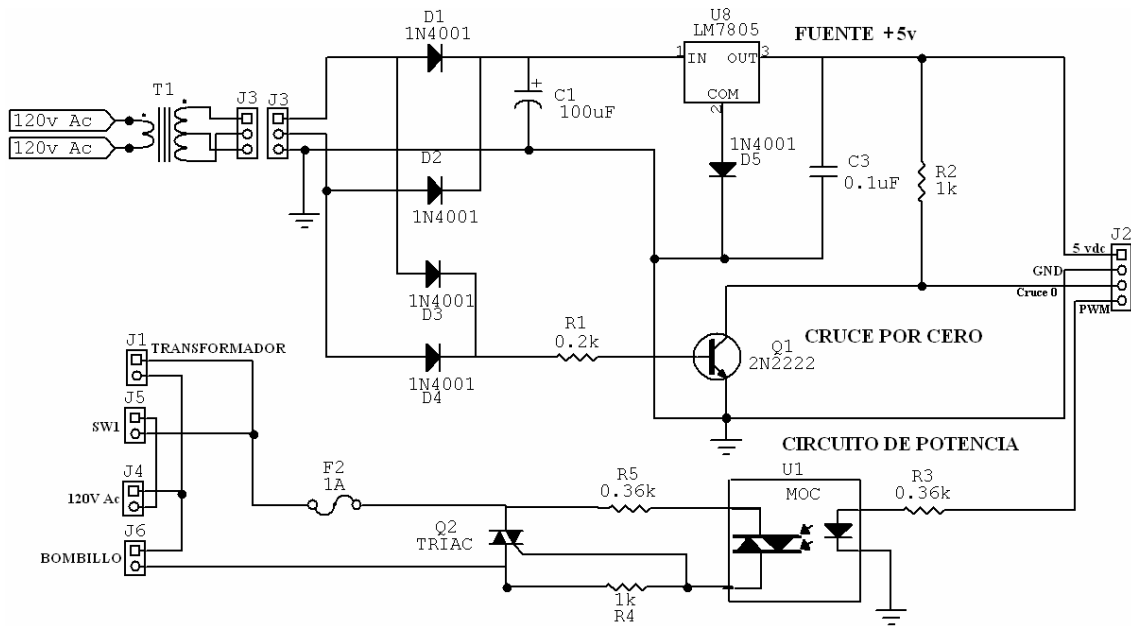


Figura 55, Modulo 1 (Fuente, Actuador y Detector de cruce por cero)

A continuación se describe cada uno de los componentes de este modulo.

5.2.1.1. Fuente de Alimentación

El sistema se alimenta de la red pública de 110 VAC, posee un transformador con derivación central que reduce dicha tensión a 18VA en los extremos o 9VA en la derivación central, un rectificador de onda completa formado por dos diodos (1 Amperio

de corriente máxima cada uno) y un condensador polarizado permite obtener un voltaje aproximado de 11VDC para alimentar el regulador +5v (7805).

Esta fuente alimenta el transistor del detector de cruce cero y los otros módulos (*Tarjeta Experimental Para El Control Fuzzy*).

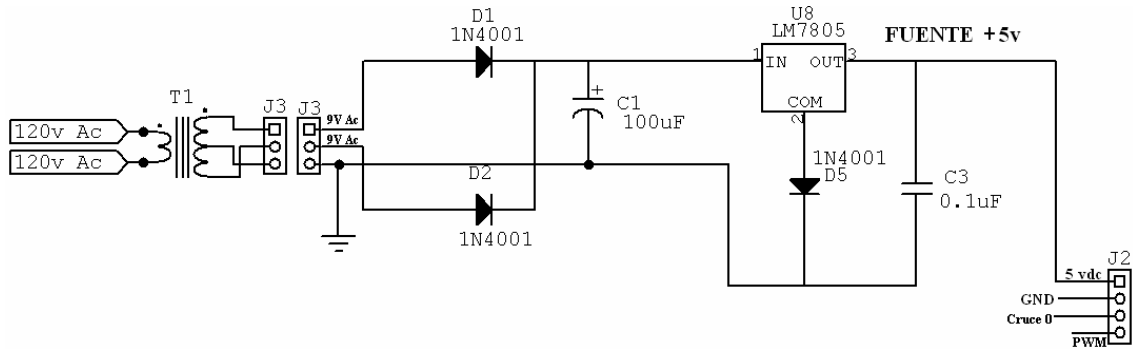


Figura 56, Fuente de Alimentación

5.2.1.2. Detector de Cruce por Cero

Es el circuito encargado de detectar los cruces por cero de una señal sinusoidal esta formado un rectificador de onda completa con dos diodos, conectados a un transistor inversor, se encarga de dar la señal de conducción o no conducción.

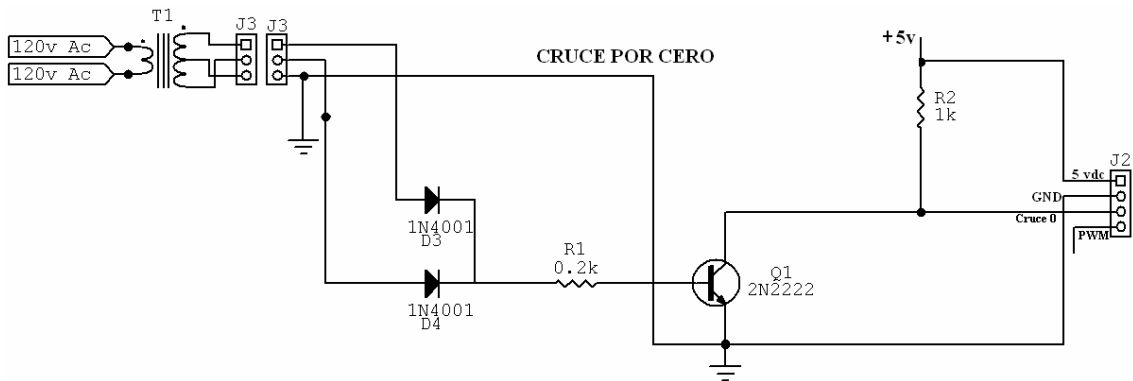


Figura 57, Detector de Cruce por Cero

5.2.1.3. Elemento de Control de Potencia

Es básicamente un interruptor de estado sólido encargado de conmutar cargas de potencia a partir de señales de control de bajo nivel. Estas últimas provenientes de los microcontroladores y dirigidas a motores, lámparas, solenoides, calefactores, etc. El circuito emplea un opto acoplador (Moc3010) para aislar las señales de control de las de potencia, además emplea un triac (Bta06) como elemento de conmutación para el control de fase de la onda sinusoidal de voltaje, especificado para 115 voltios y 6 amperios de corriente.

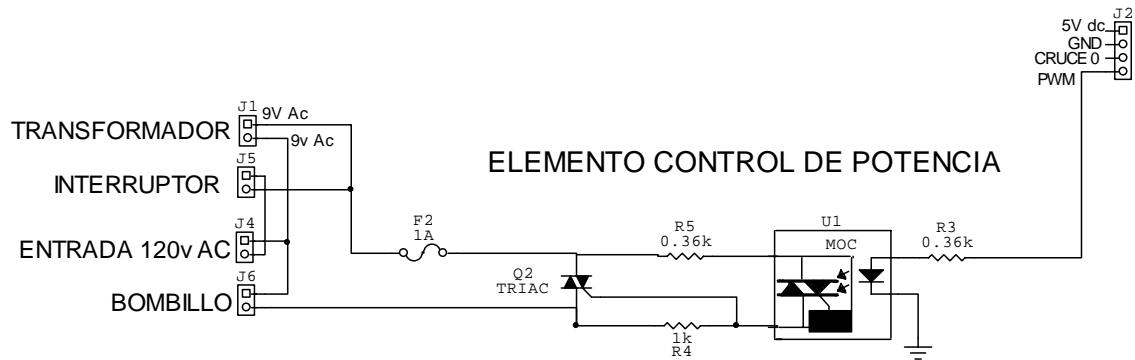


Figura 58, Elemento de Control de Potencia

5.3. MODULO 2

Este modulo esta compuesto por 9 etapas o circuitos, agrupados en la *Tarjeta Experimental Para El Control Fuzzy*.

- Sensor De Temperatura
- Etapa De Acondicionamiento De La Señal Analógica
- Etapa de entrada de datos al sistema (Ajuste De Set Point mediante un teclado)
- Interfaz grafica con el usuario (modulo LCD)
- Etapa Selección Del Microcontrolador
- Etapa Oscilador Del Sistema
- Etapa Reset Del Sistema

- Etapa Microcontrolador PIC 16F873
- Etapa Microcontrolador Motorola MC6HC908JL3
- Etapa De Interfase Para Comunicación Serial Asíncrona Con El PC
- Terminales varios de entrada-salida.

Se presenta a continuación una descripción de cada una de ellas.

5.3.1.1. Sensor de Temperatura

Formado por un sensor de temperatura activo de estado sólido LM35 el cual entrega una respuesta lineal de temperatura con resolución de 10mV/°C entre 0 y 150°C Ecuación 4.1, este sensor se conecta con el modulo 2 a través del conector J1.

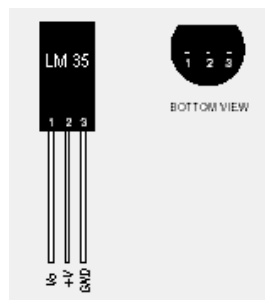


Figura 59, Sensor de Temperatura

Ecuación 27: $[V_o = f(T) = 10\text{mV}/^\circ\text{C}]$; para $(0^\circ < T < 150^\circ\text{C})$

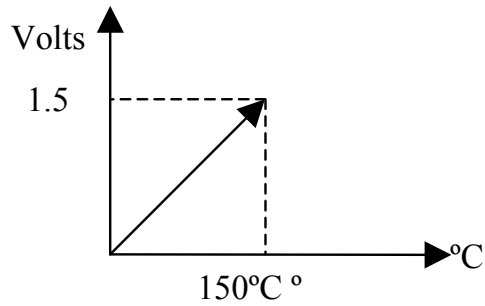


Figura 60. Curva característica del sensor de temperatura

5.3.1.2. Etapa de Acondicionamiento de la Señal Analógica

Encargada de recibir y acoplar adecuadamente la señal proveniente del sensor de temperatura (10mV/°C entre 0 y 150°C), amplificando lo suficiente para adecuar esta señal a los niveles de entrada de la siguiente etapa. Esta etapa de acondicionamiento de la señal analógica esta compuesta principalmente por el amplificador operacional LM358 el primero en configuración “buffer” y el segundo como amplificador no inversor de la señal de entrada la ganancia total es:

$$\text{Ecuación 28: } G = \frac{R15 + R8}{R8}$$

$$G = \frac{790\Omega + 330\Omega}{330\Omega} = 3.4$$

Cuando se presenta la máxima salida de voltaje del sensor (LM35) que corresponde a 1.5voltios (1.5*3.4 = 5.1V) ocurre el máximo voltaje de salida de esta etapa que es 5.1voltios DC.

Un teclado de este tipo consta de 16 teclas (matriz 4 X 4). Por cada fila y cada columna de la matriz hay un "cable" que pasa por detrás de las teclas, las cuales están colocadas en las intersecciones entre filas y columnas.

Así pues, la columna 1 (COL1) es un "cable" que pasa por debajo del 1, del 4, del 7 y del * ; la fila 1 (FIL1) pasa debajo de la A, 3, 2 y 1. Filas y columnas no están conectadas entre si.

Cuando se pulsa una tecla se conecta la columna y la fila que pasa por debajo de dicha tecla. Por ejemplo, si se pulsa el 1 se conecta la COL1 con FIL1; si se pulsa el 8 se conecta la COL2 con FIL3, y así sucesivamente con el resto de las teclas.

5.3.1.4. Interfaz Gráfica con el Usuario (modulo LCD)

Para visualizar información, parámetros de seto, etc. Se utilizo un *display* de cristal liquido o LCD 2x16 (2 filas por 16 caracteres) la interfase entre el microcontrolador y el *display* de cristal liquido es de un bus de datos de 4 bits, mas dos señales de control (habilitación E, selección RS). El pin que indica si se va a escribir o leer (R/W) el modulo LCD siempre esta en cero lógico (escritura). Este modulo comparte el puerto B del microcontrolador pic16f873 y a los puertos A y D del microcontrolador HC908JL3. El conector denominado LCD se utiliza para conectar el *display* de cristal liquido con el modulo 2.

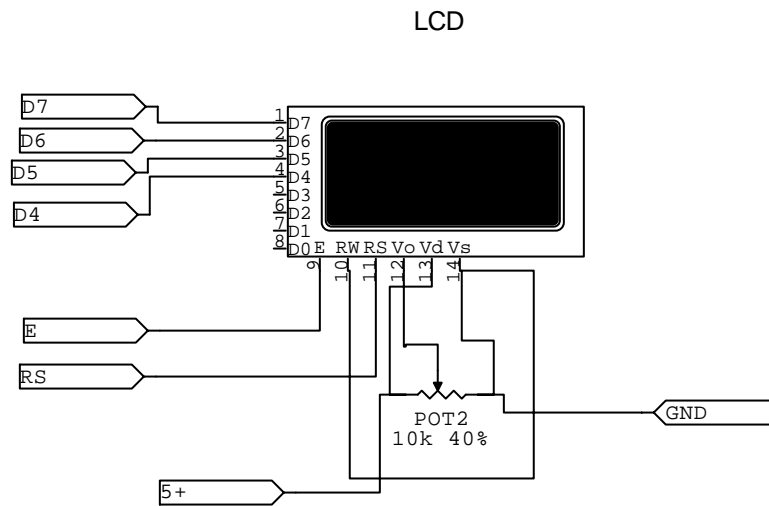


Figura 63, Interfaz Grafica con el Usuario (modulo LCD)

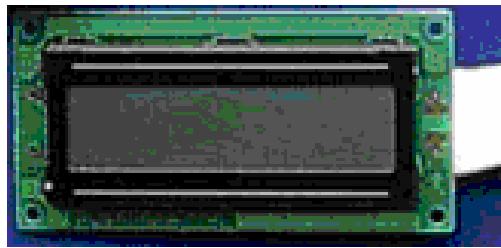


Figura 64, Vista real del modulo LCD

5.3.1.5. Etapa Selección del Microcontrolador

Básicamente es un interruptor de doble polo y permite seleccionar el paso de la señal de alimentación (+5v y tierra) y energizar al microcontrolador PIC 16F873 o el Motorola MC68HC908JL3.



Figura 65. Vista real del Teclado

Figura 66, Etapa Selección del Microcontrolador

5.3.1.6. Etapa Oscilador del Sistema

Encargada de generar la señal de reloj para el funcionamiento de los microcontroladores. Formada por un cristal 4Mhz dos condensadores y una resistencia de carga.

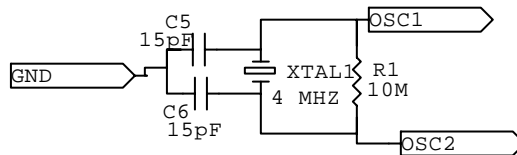


Figura 67, Etapa Oscilador del Sistema

5.3.1.7. Etapa Reset del Sistema

Produce la señal da reset a los microcontroladores, cuando el usuario oprime el pulsador. Esta formada por un pulsador, un diodo y varias resistencias.

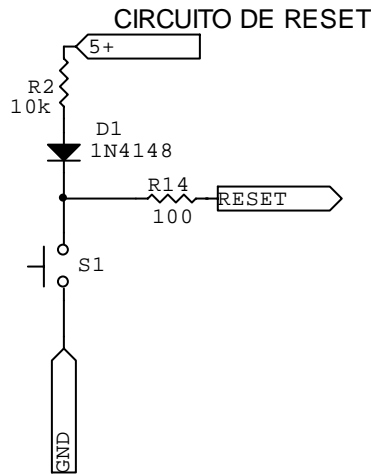


Figura 68, Etapa Reset del Sistema

5.3.1.8. Etapa Microcontrolador PIC 16F873

Realiza dos funciones diferentes.

- * Se encarga de realizar el control Fuzzy exclusivamente desde el microcontrolador PIC, al dispositivo le llegan las señales de temperatura y cruce por cero, provenientes de las anteriores etapas. Realiza la conversión A/D de las señales de temperatura y *set Point*, ejecuta el algoritmo de control Fuzzy y genera la señal de control o disparo que activa el elemento de potencia.
- * Cuando se realiza el control Fuzzy desde el computador esta opción es seleccionado por software desde el mismo (computador), el microcontrolador realiza las siguientes funciones:
 - Conversión A/D de las señales de temperatura y set Point,
 - Ejecución de la comunicación serie entre el microcontrolador y el PC
 - Proporciona la señal de disparo para el TRIAC de acuerdo al ángulo de conducción transferido desde el computador por el puerto serial.

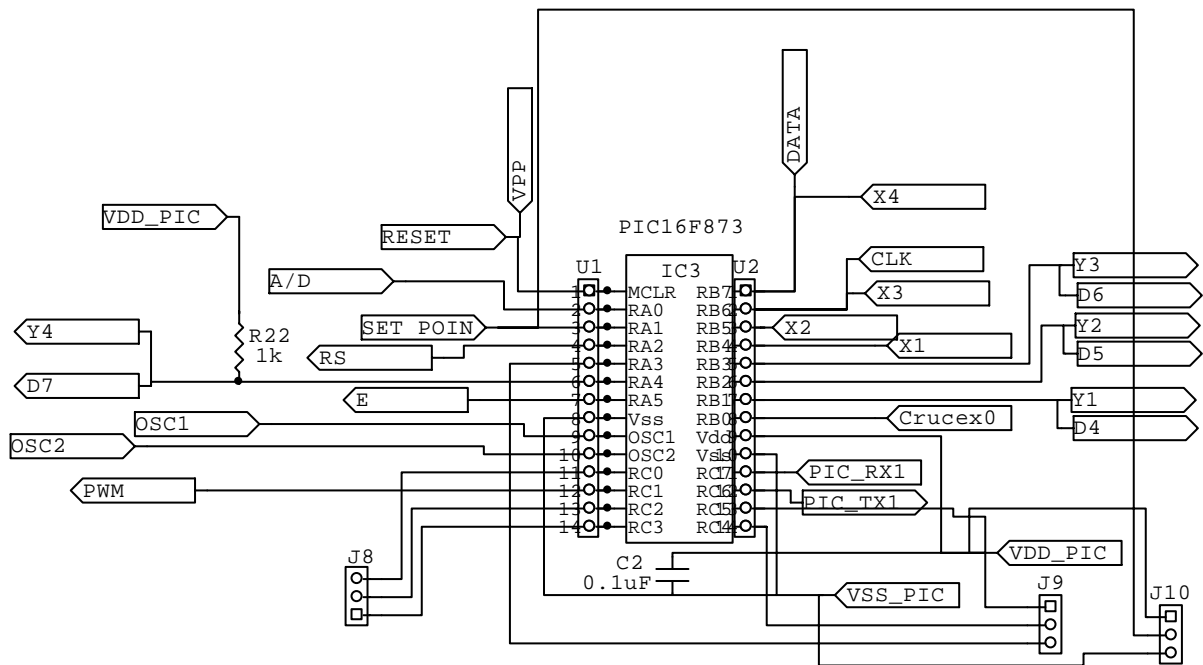


Figura 69. Etapa Microcontrolador PIC 16F873

5.3.1.9. Etapa Microcontrolador Motorola MC6HC908JL3

Al igual que la anterior etapa realiza las mismas dos funciones (control desde el microcontrolador ó control desde el computador).

- * Control Fuzzy desde el microcontrolador MC6HC908JL3, recibe las señales de las seis primeras etapas. Realiza la conversión A/D de las señales de temperatura y set point, ejecuta el algoritmo de control Fuzzy y genera la señal de control o disparo que activa el elemento de potencia.
- * Control Fuzzy desde el computador, esta opción es seleccionada por software desde el mismo (computador), el microcontrolador ejecuta las mismas acciones que la etapa anterior para este caso, realiza la conversión A/D de las señales de temperatura, ejecuta la comunicación serie entre el microcontrolador y el PC, proporcionar la señal de disparo para el TRIAC de acuerdo al ángulo de conducción transferido desde el computador por el puerto serial.

5.3.1.11. Terminales Varios de Entrada-Salida.

El modulo 2 posee conectores de acceso a todos los pines de los dos microcontroladores

- PIC: U1,U2.
- Motorola: U3,U4

Adicionalmente se cuenta con borneras de acceso rápido a los pines sin utilizar de ambos microcontroladores

- PIC: J8,J9,J10.
- Motorola: J5,J6,J7

La alimentación de la tarjeta se realiza mediante el conector J2. A este conector tan bien le llega la señal de cruce por cero proveniente del modulo 1, y la señal PWM que se dirige hacia el TRIAC.

Los conectores J4 y J3 se utilizan para verificar los pines de grabación e cada dispositivo.

6. RESULTADOS

Se comprobó el control de temperatura, mediante diferentes archivos de caracterización Fuzzy diseñados a partir del Programa FuzzyE3T, probados tanto para el controlador desde el Computador como desde los Microcontroladores.

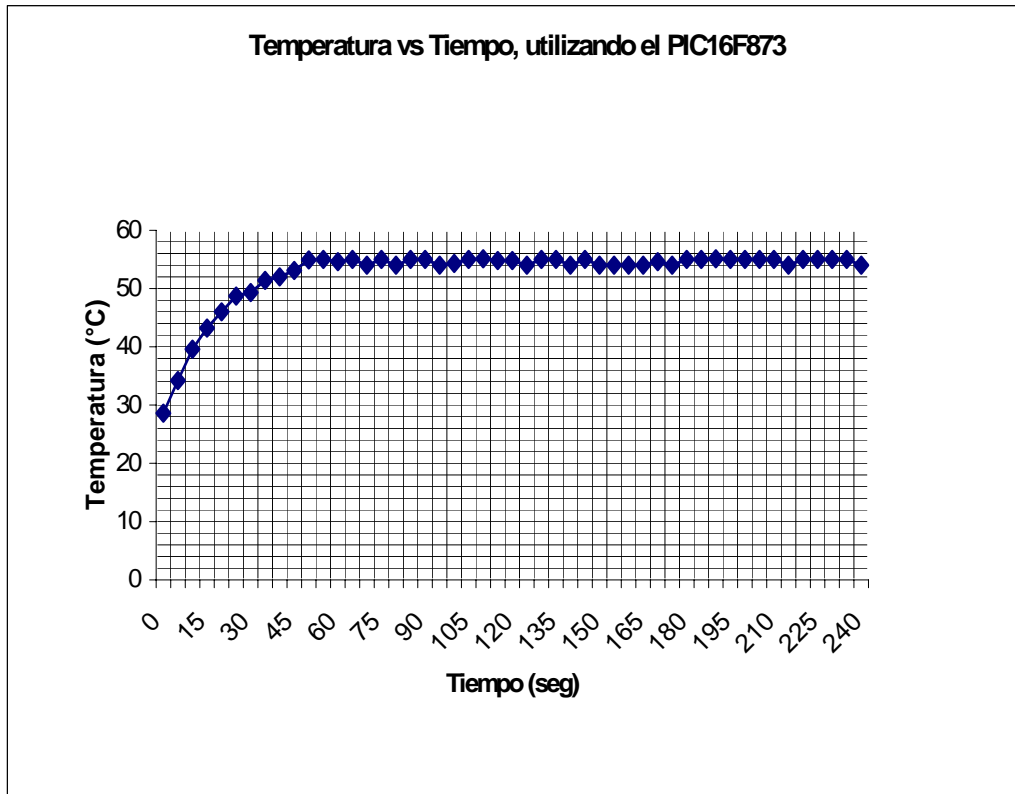
Los experimentos representativos de los controladores Fuzzy implementados se presentan enseguida.

6.1. PRUEBA CON LOS MICROCONTROLADORES

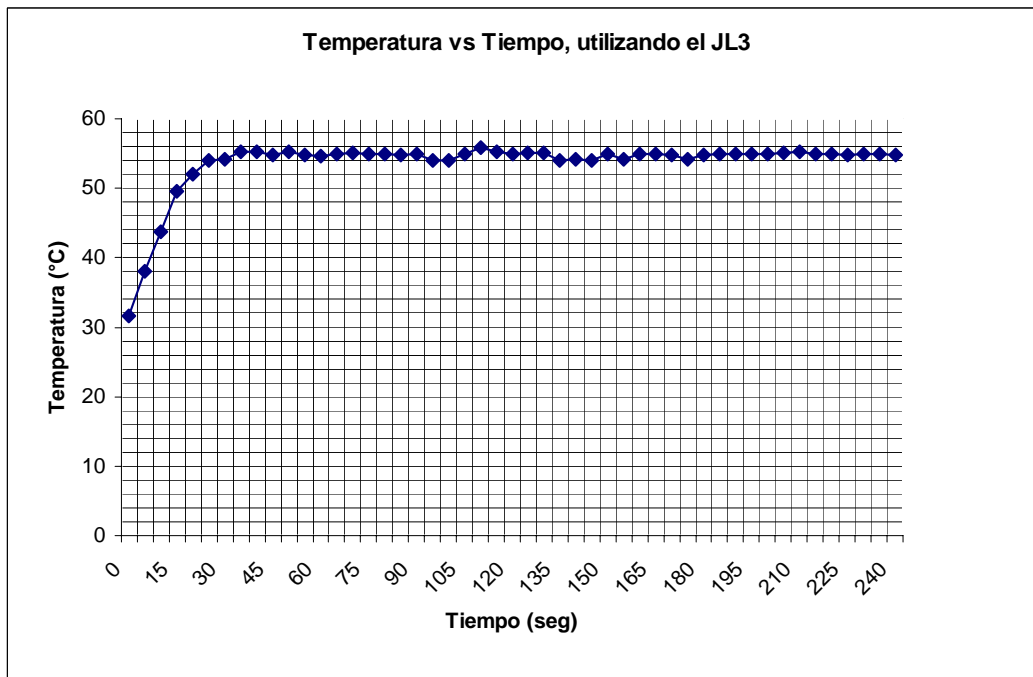
Estas pruebas se realizan utilizando el archivo de caracterización Fuzzy denominado “fuzzypic_+16°_21.fc”.

6.1.1. Primera prueba: *Setpoint* de Temperatura: 55° Celsius. Temperatura inicial del Conversor A/D: 28 °C. Utilizando como elemento calefactor un bombillo incandescente de 120 Vac, 100 Vatios.

A continuación se presentan los datos de temperatura registrados en la Tarjeta de Control Fuzzy con los microcontroladores (PIC y MOTOROLA) durante tres (3) minutos en intervalos constantes de tiempo de cinco (5) segundos. Las gráficas 72 y 73 muestran la evolución de la temperatura del elemento calefactor ante condiciones ambientales estables (28 ° Celsius).



Figuras 72 (arriba), 73 (abajo)



Tiempo en el cual se alcanzó el 95 % del *setpoint* fue aproximadamente 25 segundos.

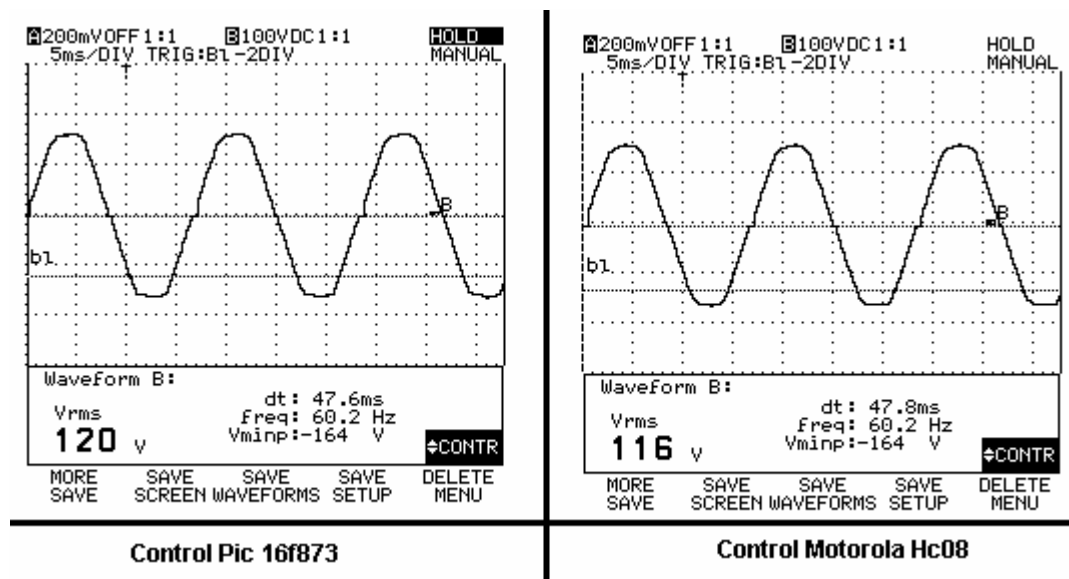
Máximo valor de rizo fue de 1.2 ° Celsius.

6.1.2. **Segunda prueba:** Para varios puntos de control diferentes y con *Setpoint* de Temperatura: 55° Celsius. Temperatura inicial del Conversor A/D: 28 °C se muestra la gráfica del voltaje aplicado a la carga.

En cada punto de control la variable variación del error es uno y se calcula la variable error (*Setpoint* de Temperatura- Temperatura del Conversor A/D), a continuación se busca que reglas se cumplen en este punto.

- ❖ Punto de control uno
Variable Error = 20 ° Celsius
Variable Verror= 1° Celsius.
Setpoint= 55° Celsius.
Temperatura leída (A/D)= 35° Celsius

Graficas de voltaje presente en la carga cuando el control lo realiza el microcontrolador PIC 16f873 o el Motorola HC08JL3 par un Error igual a 20° C .



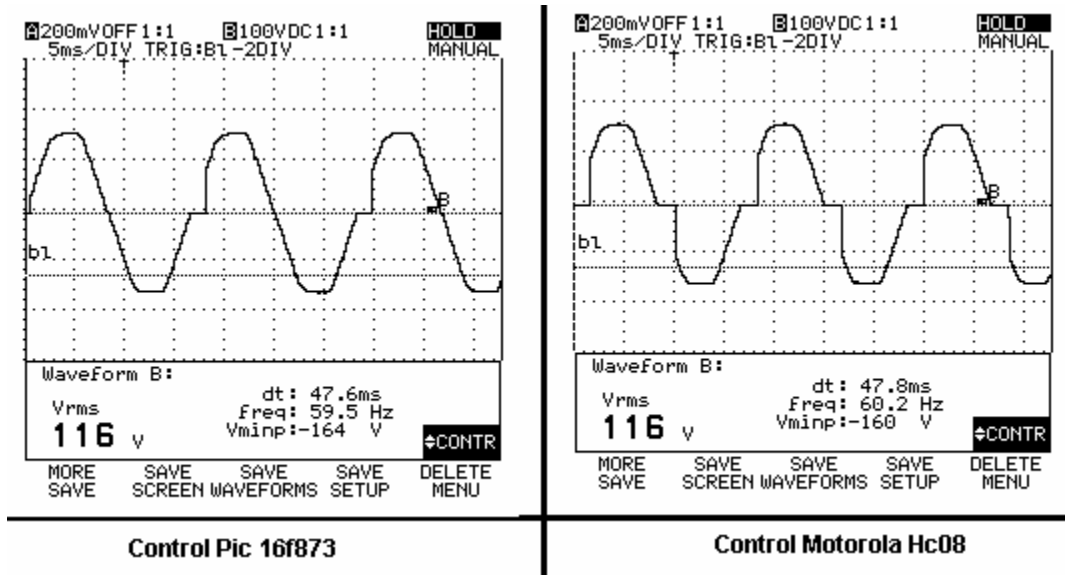
Las reglas que se cumplen en este instante son la 23 y 24 las cuales dicen.

Regla 23:si Error es grande (1) y Verror es cero (0.5) entonces la potencia es max.

Regla 24: si Error es grande (1) y Varepsilon es Peqpos (0.5) entonces la potencia es max.
 La salida del controlador es cero.

- ❖ Punto de control dos
 - Variable Error = 15 ° Celsius
 - Variable Varepsilon = 1° Celsius.
 - Setpoint = 55° Celsius.
 - Temperatura leída (A/D) = 40° Celsius

Grafica de voltaje presente en la carga cuando el control lo realiza el microcontrolador PIC 16f873 o el Motorola HC08JL3.



Las reglas que se cumplen en este instante son las 18,19, 23 y 24 las cuales dicen.
 Regla 18: si Error es Med (0.1) & Varepsilon es cero (0.5) entonces la potencia es Med.
 Regla 19: si Error es Med (0.1) y Varepsilon es Peqpos (0.5) entonces la potencia es Med.
 Regla 23: si Error es grande (0.9) y Varepsilon es cero (0.5) entonces la potencia es max.
 Regla 24: si Error es grande (0.9) y Varepsilon es Peqpos (0.5) entonces la potencia es max.
 La salida del controlador es 14.5

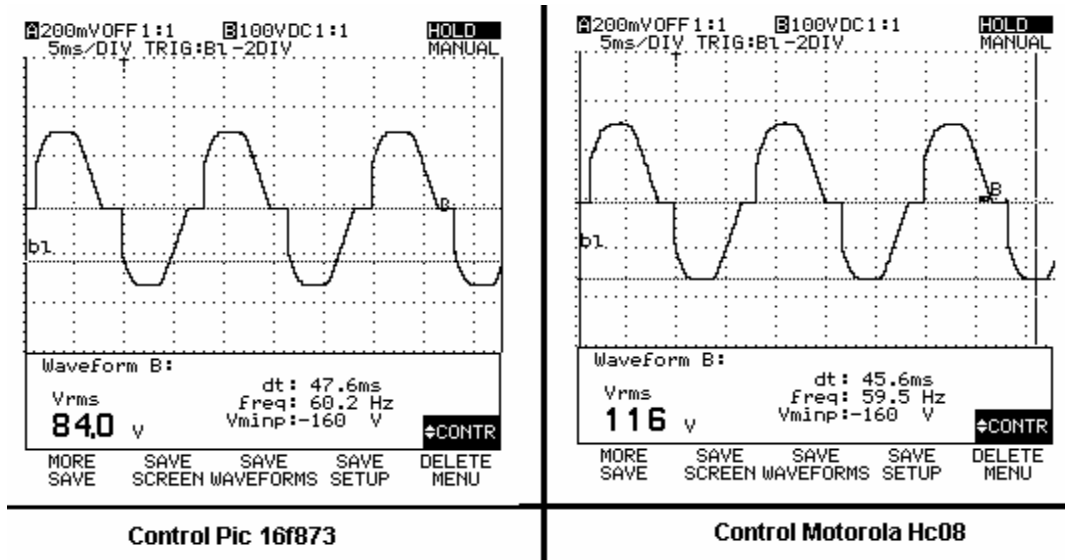
- ❖ Punto de control tres.
 - Variable Error = 10 ° Celsius

Variable Verror= 1° Celsius.

Setpoint= 55° Celsius.

Temperatura leída (A/D)= 45° Celsius

Grafica de voltaje presente en la carga cuando el control lo realiza el microcontrolador PIC 16f873 o el Motorola HC08JL3.



Las reglas que se cumplen en este instante son las 18,19, 23 y 24 las cuales dicen.

Regla 18: si Error es Med (0.6) & Verror es cero (0.5) entonces la potencia es Med.

Regla 19: si Error es Med (0.6) y Verror es Peqpos (0.5) entonces la potencia es Med.

Regla 23: si Error es grande (0.4) y Verror es cero (0.5) entonces la potencia es max.

Regla 24: si Error es grande (0.4) y Verror es Peqpos (0.5) entonces la potencia es max.

La salida del controlador es 49.91

❖ Punto de control cuatro

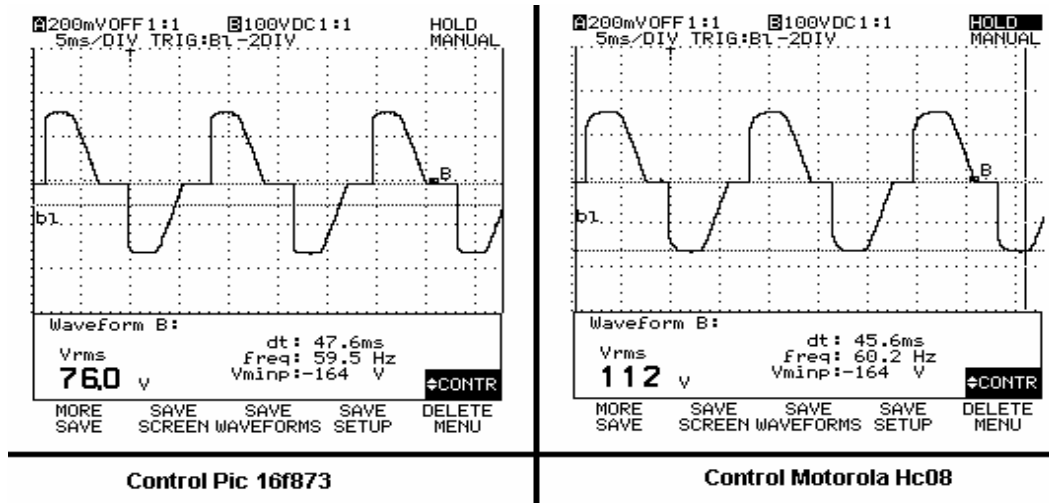
Variable Error = 8 ° Celsius

Variable Verror= 1° Celsius.

Setpoint= 55°Celsius.

Temperatura leída (A/D)= 57° Celsius

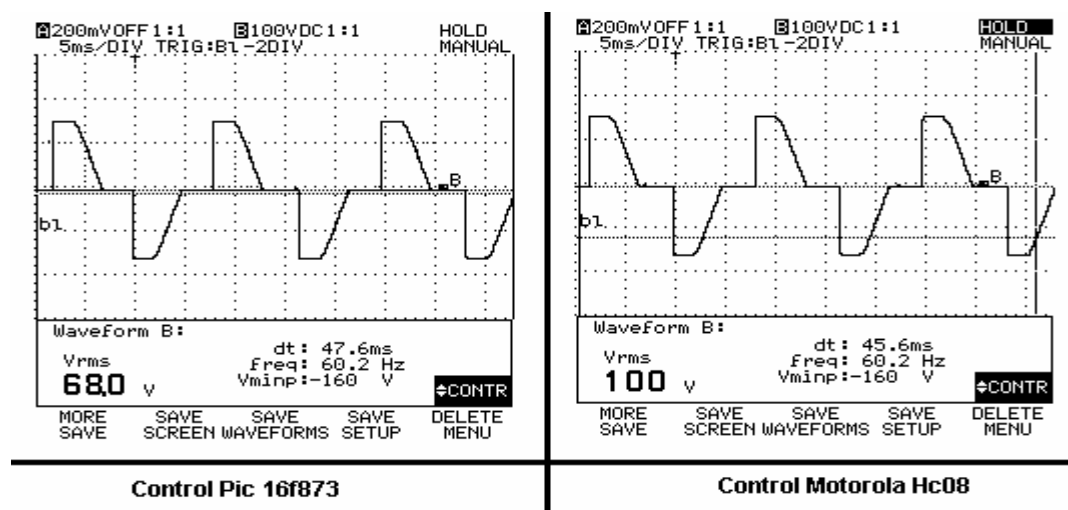
Grafica de voltaje presente en la carga cuando el control lo realiza el microcontrolador PIC 16f873 o el Motorola HC08JL3.



Las reglas que se cumplen en este instante son las 18,19, 23 y 24 las cuales dicen.
 Regla 18: si Error es Med (0.8) & Varerror es cero (0.5) entonces la potencia es Med.
 Regla 19: si Error es Med (0.8) y Varerror es Peqpos (0.5) entonces la potencia es Med.
 Regla 23: si Error es grande (0.2) y Varerror es cero (0.5) entonces la potencia es max.
 Regla 24: si Error es grande (0.2) y Varerror es Peqpos (0.5) entonces la potencia es max.
 La salida del controlador es 64.29

- ❖ Punto de control cinco.
 Variable Error = 6 ° Celsius
 Variable Varerror = 1 ° Celsius.
 Setpoint = 55 ° Celsius.
 Temperatura leída (A/D) = 49 ° Celsius

Grafica de voltaje presente en la carga cuando el control lo realiza el microcontrolador PIC 16f873 o el Motorola HC08JL3.

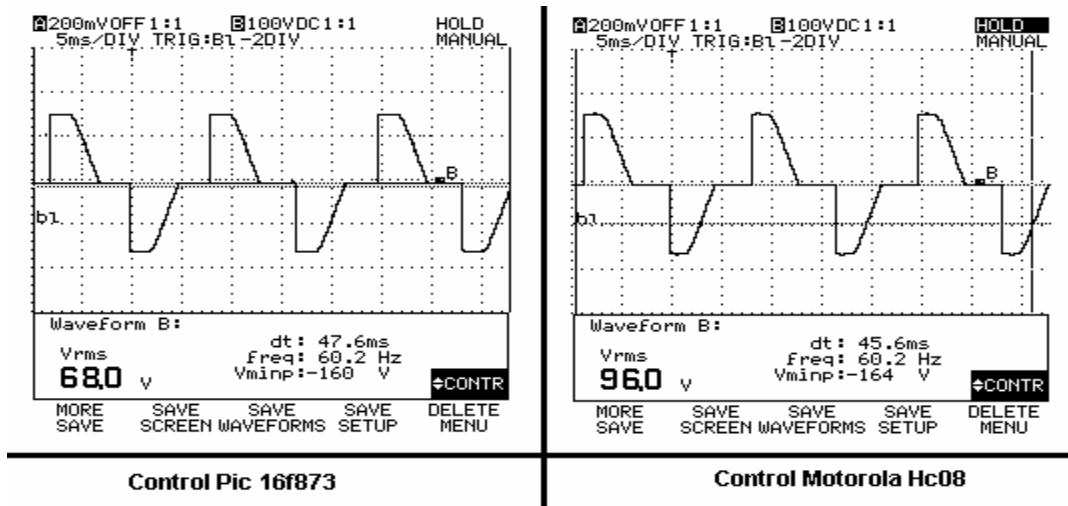


Las reglas que se cumplen en este instante son las 13,14,18 y 19 las cuales dicen.
 Regla 13: si Error es Peq (0.01) y Varepsilon es cero (0.5) entonces la potencia es Medb.
 Regla 14: si Error es Peq (0.01) y Varepsilon es Peqpos (0.5) entonces la potencia es Medb.
 Regla 18: si Error es Med (0.99) & Varepsilon es cero (0.5) entonces la potencia es Med.
 Regla 19: si Error es Med (0.99) y Varepsilon es Peqpos (0.5) entonces la potencia es Med.
 La salida del controlador es 90.11

- ❖ Punto de control seis
 - Variable Error = 4 ° Celsius
 - Variable Varepsilon = 1° Celsius.
 - Setpoint = 55°Celsius.

Temperatura leída (A/D)= 51 ° Celsius

Grafica de voltaje presente en la carga cuando el control lo realiza el microcontrolador PIC 16f873 o el Motorola HC08JL3.



Las reglas que se cumplen en este instante son las 13,14,18,19 las cuales dicen.

Regla 13: si Error es Peq (0.67) y Varepsilon es cero (0.5) entonces la potencia es Medb.

Regla 14: si Error es Peq (0.67) y Varepsilon es Peqpos (0.5) entonces la potencia es Medb.

Regla 18: si Error es Med (0.33) & Varepsilon es cero (0.5) entonces la potencia es Med.

Regla 19: si Error es Med (0.33) y Varepsilon es Peqpos (0.5) entonces la potencia es Med.

La salida del controlador es 96

❖ Punto de control siete

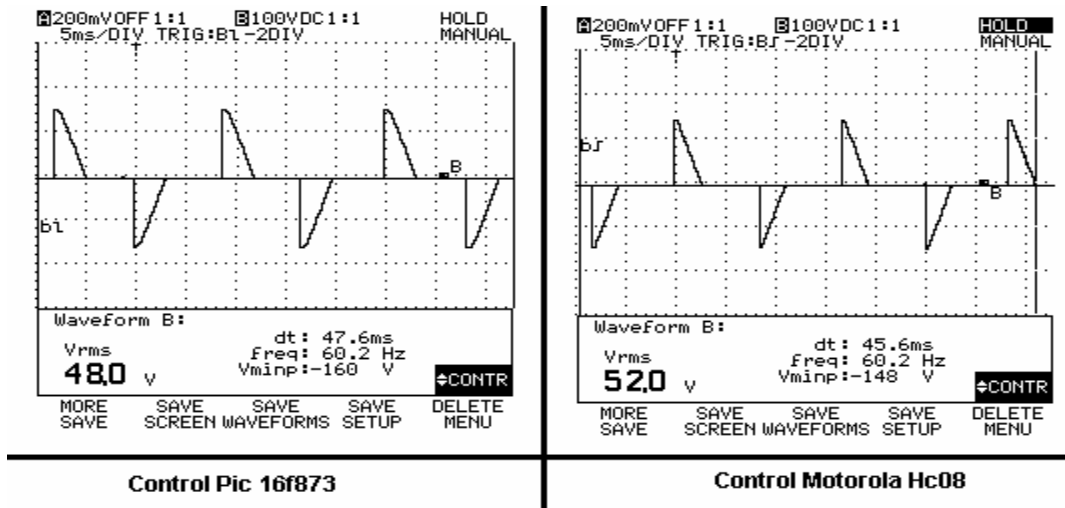
Variable Error = 1 ° Celsius

Variable Varepsilon = 1 ° Celsius.

Setpoint = 55 ° Celsius.

Temperatura leída (A/D) = 54 ° Celsius

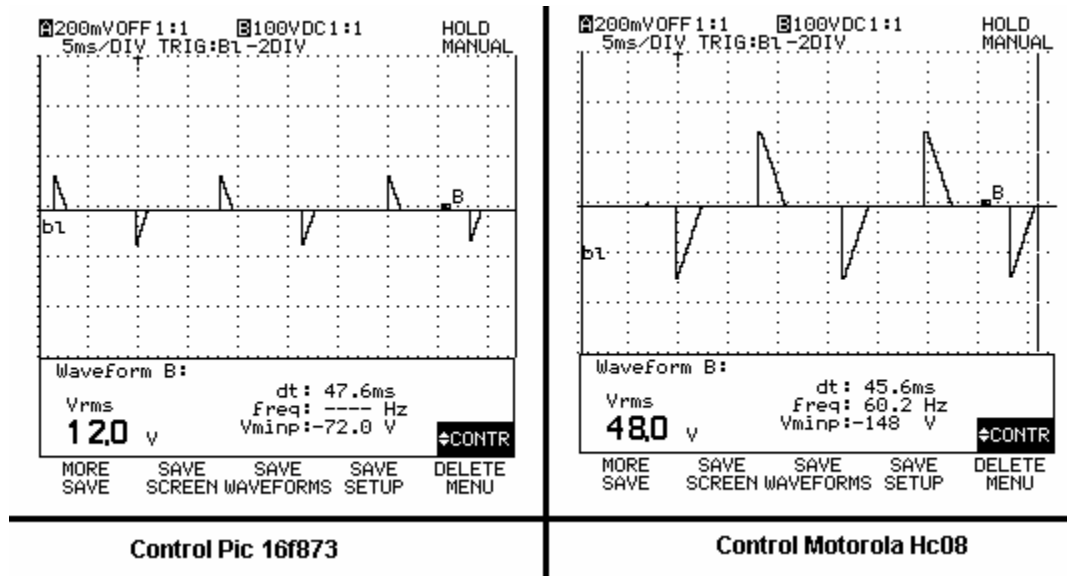
Grafica de voltaje presente en la carga cuando el control lo realiza el microcontrolador PIC 16f873 o el Motorola HC08JL3.



Las reglas que se cumplen en este instante son las 3,4,8,9 las cuales dicen.
 Regla 3: si Error es cero (0.01) y Varerror es cero (0.5) entonces la potencia es cero.
 Regla 4: si Error es cero (0.01) y Varerror es Peqpos (0.5) entonces la potencia es cero.
 Regla 8: si Error es Min (0.99) & Varerror es cero (0.5) entonces la potencia es Medb.
 Regla 9: si Error es Min (0.99) y Varerror es Peqpos (0.5) entonces la potencia es cero.
 La salida del controlador es 125

- ❖ Punto de control ocho.
 - Variable Error = 0 ° Celsius
 - Variable Varerror = 1° Celsius.
 - Setpoint = 55° Celsius.
 - Temperatura leída (A/D) = 55° Celsius

Grafica de voltaje presente en la carga cuando el control lo realiza el microcontrolador PIC 16f873 o el Motorola HC08JL3.



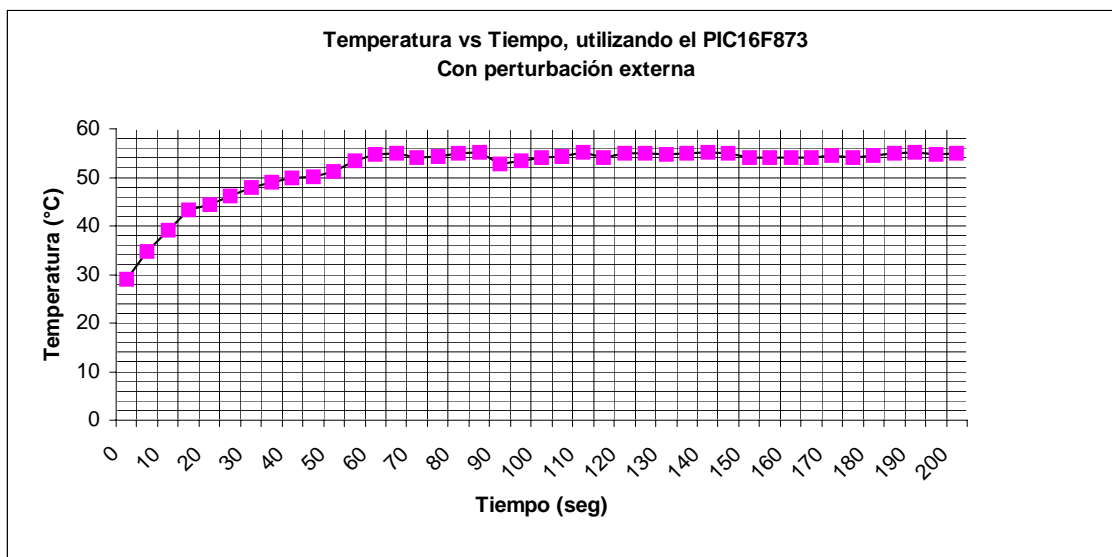
Las reglas que se cumplen en este instante son las 3 y 4 las cuales dicen.

Regla 3: si Error es cero (0.01) y Varepsilon es cero (0.5) entonces la potencia es cero.

Regla 4: si Error es cero (0.01) y Varepsilon es Peqpos (0.5) entonces la potencia es cero.

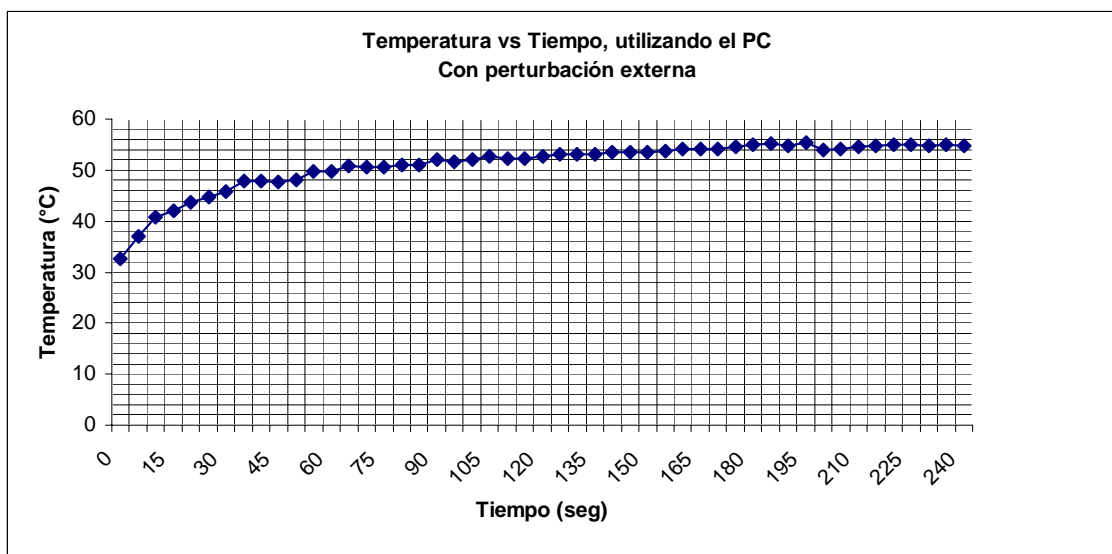
La salida del controlador es 150.

6.1.3. **Tercera prueba:** *Setpoint* de Temperatura: 55° Celsius. Temperatura inicial del Conversor A/D: 28 °C. Cambiando el elemento calefactor (reflector de 75 Vatios, 120 Vac) y adicionando el efecto de un factor externo como lo es la brisa generada por un extractor de computador (12 Vdc, 120 mA; 7.5 cm de diámetro) colocado en la parte frontal del elemento calefactor, luego de un (1) minuto de iniciada la prueba (tiempo en el cual se estabiliza la temperatura a menos del 1.1 ° Celsius de rizo). La gráfica 7.3 nos muestra la forma como se recupera la estabilidad de la curva de temperatura ante la distorsión (la brisa se deja permanentemente a partir del punto en el cual se inicia).



6.2. PRUEBA UTILIZANDO EL COMPUTADOR

La tendencia de temperatura vs. Tiempo para el sistema de calefacción con el bombillo incandescente utilizando el controlador Fuzzy basado en el Computador se muestra en la siguiente gráfica:



Para varios puntos de control diferentes y con *Setpoint* de Temperatura: 55° Celsius.

Temperatura inicial del Conversor A/D: 28 °C se muestra la gráfica del voltaje aplicado a la carga.

En cada punto de control la variable variación del error es uno y se calcula la variable error (*Setpoint* de Temperatura- Temperatura del Conversor A/D), a continuación se busca que reglas se cumplen en este punto.

❖ Punto de control uno

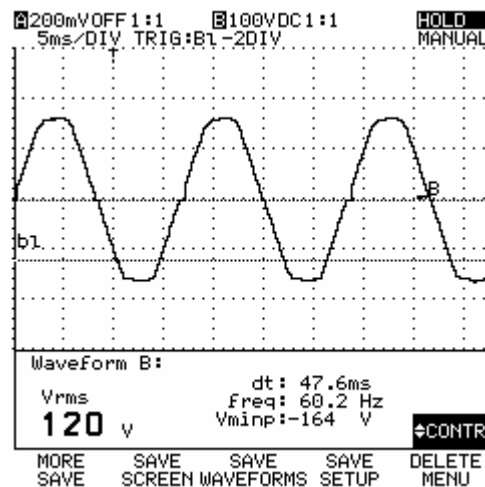
Variable Error = 20 ° Celsius

Variable Varerror= 1° Celsius.

Setpoint= 55° Celsius.

Temperatura leída (A/D)= 35° Celsius

Grafica de voltaje presente en la carga cuando el control lo realiza el computador y la adquisición de temperatura el microcontrolador PIC 16f873.



Las reglas que se cumplen en este instante son la 23 y 24 las cuales dicen.

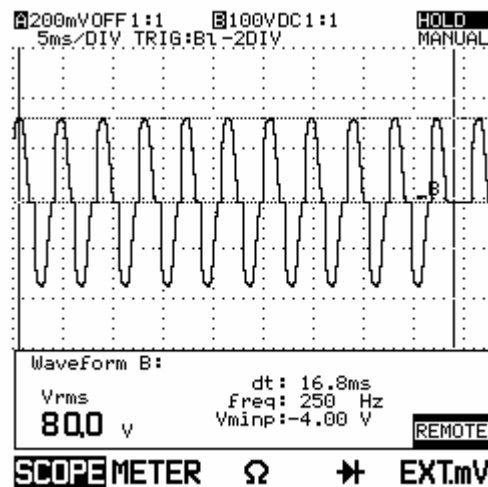
Regla 23: si Error es grande (1) y Varerror es cero (0.5) entonces la potencia es max.

Regla 24: si Error es grande (1) y Varerror es Peqpos (0.5) entonces la potencia es max.

La salida del controlador es cero.

- ❖ Punto de control dos.
 - Variable Error = 15 ° Celsius
 - Variable Varerror= 1° Celsius.
 - Setpoint= 55° Celsius.
 - Temperatura leída (A/D)= 35° Celsius

Grafica de voltaje presente en la carga cuando el control lo realiza el computador y la adquisición de temperatura el microcontrolador PIC 16f873.



Las reglas que se cumplen en este instante son las 18,19, 23 y 24 las cuales dicen.

Regla 18: si Error es Med (0.1) & Varerror es cero (0.5) entonces la potencia es Med.

Regla 19: si Error es Med (0.1) y Varerror es Peqpos (0.5) entonces la potencia es Med.

Regla 23: si Error es grande (0.9) y Varerror es cero (0.5) entonces la potencia es max.

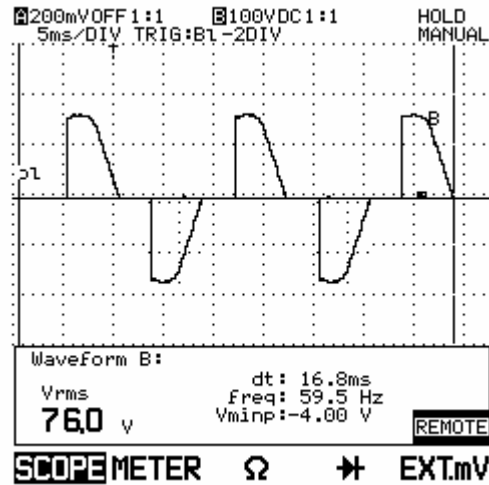
Regla 24: si Error es grande (0.9) y Varerror es Peqpos (0.5) entonces la potencia es max.

La salida del controlador es 14.5

- ❖ Punto de control tres.
 - Variable Error = 10 ° Celsius
 - Variable Varerror= 1° Celsius.
 - Setpoint= 55° Celsius.

Temperatura leída (A/D)= 35° Celsius

Grafica de voltaje presente en la carga cuando el control lo realiza el computador y la adquisición de temperatura el microcontrolador PIC 16f873.



Las reglas que se cumplen en este instante son las 18,19, 23 y 24 las cuales dicen.

Regla 18: si Error es Med (0.6) & Varepsilon es cero (0.5) entonces la potencia es Med.

Regla 19: si Error es Med (0.6) y Varepsilon es Pequeno (0.5) entonces la potencia es Med.

Regla 23: si Error es grande (0.4) y Varepsilon es cero (0.5) entonces la potencia es max.

Regla 24: si Error es grande (0.4) y Varepsilon es Pequeno (0.5) entonces la potencia es max.

La salida del controlador es 49.91

❖ Punto de control cuatro

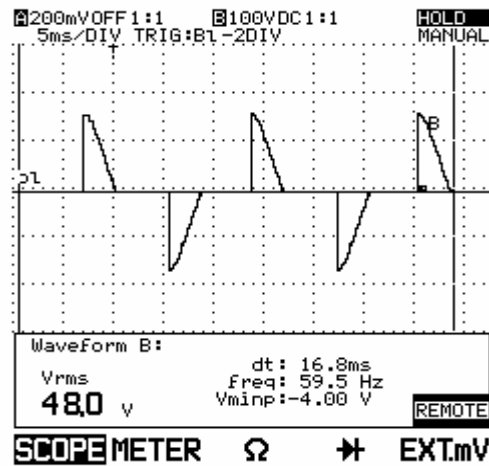
Variable Error = 4 ° Celsius

Variable Varepsilon= 1° Celsius.

Setpoint= 55° Celsius.

Temperatura leída (A/D)= 35° Celsius

Grafica de voltaje presente en la carga cuando el control lo realiza el computador y la adquisición de temperatura el microcontrolador PIC 16f873.



Las reglas que se cumplen en este instante son las 13,14,18,19 las cuales dicen.

Regla 13: si Error es Peq (0.67) y Varepsilon es cero (0.5) entonces la potencia es Medb.

Regla 14: si Error es Peq (0.67) y Varepsilon es Peqpos (0.5) entonces la potencia es Medb.

Regla 18: si Error es Med (0.33) & Varepsilon es cero (0.5) entonces la potencia es Med.

Regla 19: si Error es Med (0.33) y Varepsilon es Peqpos (0.5) entonces la potencia es Med.

La salida del controlador es 96

❖ Punto de control cinco.

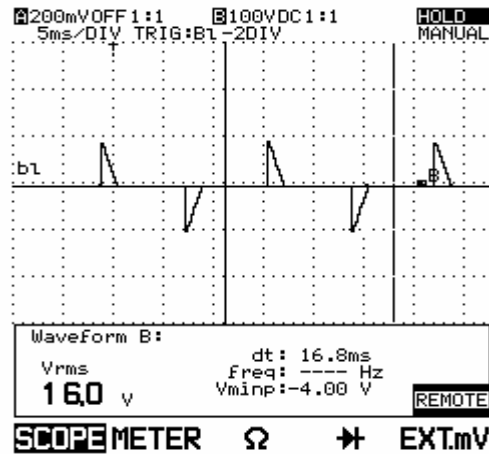
Variable Error = 1 ° Celsius

Variable Varepsilon = 1° Celsius.

Setpoint = 55° Celsius.

Temperatura leída (A/D) = 35° Celsius

Grafica de voltaje presente en la carga cuando el control lo realiza el computador y la adquisición de temperatura el microcontrolador PIC 16f873.



Las reglas que se cumplen en este instante son las 3,4,8,9 las cuales dicen.

Regla 3: si Error es cero (0.01) y Varepsilon es cero (0.5) entonces la potencia es cero.

Regla 4: si Error es cero (0.01) y Varepsilon es Peqpos (0.5) entonces la potencia es cero.

Regla 8: si Error es Min (0.99) & Varepsilon es cero (0.5) entonces la potencia es Medb.

Regla 9: si Error es Min (0.99) y Varepsilon es Peqpos (0.5) entonces la potencia es cero.

La salida del controlador es 125

❖ Punto de control seis.

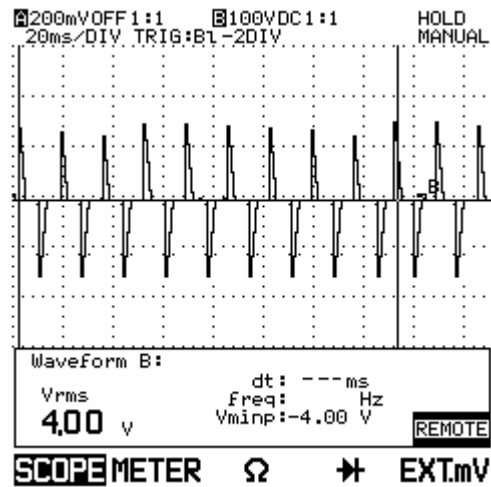
Variable Error = 0 ° Celsius

Variable Varepsilon = 1 ° Celsius.

Setpoint = 55 ° Celsius.

Temperatura leída (A/D) = 35 ° Celsius

Grafica de voltaje presente en la carga cuando el control lo realiza el computador y la adquisición de temperatura el microcontrolador PIC 16f873.



Las reglas que se cumplen en este instante son las 3 y 4 las cuales dicen.

Regla 3: si Error es cero (0.01) y Verror es cero (0.5) entonces la potencia es cero.

Regla 4: si Error es cero (0.01) y Verror es Peqpos (0.5) entonces la potencia es cero.

La salida del controlador es 150.

7. CONCLUSIONES

- ◆ Al implementar un controlador *fuzzy* con un microcontrolador de ocho (8) bits de propósito general, se deben tener en cuenta las restricciones de dicho dispositivo (como por ejemplo en capacidad de memoria y frecuencia de operación) pues estas pueden determinar la no aplicabilidad a un sistema de control dado. En cuanto a software, una restricción propia del formato de control generado con “FuzzyE3T” es que sólo permite dos variables de entrada y una de salida; sin embargo, este programa puede ser colocado como una subrutina para ser llamado en diferentes partes de un programa principal y así conseguir que el control se extienda a un mayor número de variables de entrada y salida.
- ◆ El control de temperatura implementado en este proyecto con lógica Fuzzy, posee las ventajas de no necesitar un modelamiento matemático preciso del sistema a controlar, tiene alto rechazo al ruido inherente del sistema y la capacidad para mantener el control ante factores externos que tienden a cambiar la naturaleza misma del sistema (como por ejemplo, el enfriamiento que produce una fuerte brisa sobre el elemento calefactor); esto, debido a la forma como se representa el conocimiento. Como desventaja se puede citar la necesidad de hacer ajustes al controlador por prueba y error, más aún si no se tiene una experiencia considerable en el manejo del proceso a controlar.
- ◆ El programa en LabVIEW de generación de código ensamblador diseñado en este proyecto, permite alcanzar el propósito intrínseco de proporcionar una herramienta de desarrollo de controladores con Lógica Fuzzy construidos en hardware de bajo costo y tamaño reducido. Además, al generar el código en lenguaje ensamblador se obtiene un control más eficiente sobre los dispositivos ya que no se incluyen bucles

innecesarios que aumenten el tamaño del código y el tiempo de ejecución de los programas.

- ◆ El controlador Fuzzy basado en el Computador (LabVIEW) y una tarjeta de adquisición y control es idóneo para sistemas centralizados y de una complejidad considerable, sin embargo para sistemas distribuidos más sencillos los controladores Fuzzy basados en microcontroladores (Assembler) demuestran su versatilidad y adaptabilidad a un costo notablemente reducido.

- ◆ En cuanto a la selección del microcontrolador, se deben tener en cuenta las características propias de la aplicación en particular. La elección del microcontrolador debe ser un compromiso entre las ventajas y desventajas de cada uno con respecto al otro. Aunque no fue un objetivo de esta tesis hacer esta comparación, se pueden dar los siguiente tópicos como referencia:

1. Si se requiere una mayor resolución en la conversión de datos de A/D el microcontrolador PIC16F873 es superior ya que dispone de 10 bits (1024 estados posibles) mientras el MC68HC908JL3 solo posee 8 bits (256 estados posibles).

2. En cuanto a tamaño de código, en el MC68HC908JL3 se optimiza más el espacio en memoria debido a que posee rutinas lógico-matemáticas (comparaciones, multiplicación de 8x8 bits, suma de 16 bits y división de 16, entre otros) más completas dentro de su repertorio de instrucciones. En el PIC16F873 se deben realizar las rutinas por el usuario.

3. El PIC16F873 cuenta con un módulo de Comunicación serie (sincrono y asíncrono), mientras en el MC68HC908JL3 el usuario debe implementar las rutinas por software para este fin.

4. El MC68HC908JL3 es más versátil para implementar aplicaciones de PWM a 60 Hz utilizando frecuencias de oscilación (de reloj) mayores que el PIC16F873. Esto se debe

principalmente a que un módulo de PWM en el JL3 consta de 16 bits mientras que en el PIC sólo de 10 bits.

- ◆ Por último, es importante decir que el formato Fuzzy para microcontroladores de 8 bits diseñado en este proyecto es fácilmente adaptable de un dispositivo a otro (en este caso, se realizó primero para el PIC y luego se adaptado al MOTOROLA). Esto permite sugerir que en nuevos trabajos de grado se adopte este formato como guía para la implementación de controladores Fuzzy en otros dispositivos como por ejemplo los DSP's.

Dos razones principalmente se tuvieron en cuenta para la utilización de LabVIEW como plataforma de desarrollo (En lugar de C, por ejemplo): La programación grafica proporciona mayores facilidades en tiempo de desarrollo de una aplicación que su homologa en líneas de programa (nemonicos). La otra razón es que LabVIEW se ha adoptado en la E3T como uno de los pilares de la Instrumentación y control, por todos los beneficios que ofrece y por la legalidad de su licencia para la escuela.

Es importante comparar el trabajo hecho en esta tesis con lo mejor del mercado (FUZZY E3T vs FUZZYTECH, por ejemplo) para tener una visión de lo que se quiere lograr con este tipo de proyectos. Para un tipo de aplicaciones de baja complejidad se puede considerar adecuado el modelo de controlador de dos entradas y una salida (con seis términos linguisticos cada variable) como el caso de FUZZY E3T, sin embargo es recomendable extender el programa al doble de variables de entrada y salida para abarcar una cantidad superior de aplicaciones. Sin embargo, extenderse demasiado en el numero de variables haría poco practico el ejercicio de trabajar con los tipos de microcontroladores utilizados en esta tesis, en cuyo caso seria mejor utilizar microcontroladores de gama superior que ya incluyen las funciones de lógica fuzzy necesarias para el control.

Por ultimo, se debe tener en cuenta que el programa Fuzzy E3T queda en su primera versión con el código fuente disponible para ser retomado en otros proyectos para ser

llevado a un nivel mas alto de desarrollo de tal forma que pueda hacerse comercial. Por el momento se deben guardar las proporciones a la hora de hacer las comparaciones con los programas que llevan mas de 10 años en el mercado, y entender que en la medida que se apoye la generación de tecnología propia en nuestro entorno (especialmente en la universidad) en lugar del solo consumismo que nos rodea, podremos dar nuestro granito de arena al desarrollo de nuestro país. Sin embargo, se cumple el propósito inicial planteado en este proyecto de dar una herramienta en software y hardware para el diseño e implementación de controladores fuzzy en microcontroladores de gama media y básica de MICROCHIP y MOTOROLA; para aplicaciones de bajo costo.

8. REFERENCIAS BIBLIOGRÁFICAS

MENDEL, Jerry M. *Uncertain Rule-Based Fuzzy Logic Systems : Introduction And New Directions*. Saddle River, Nj. Prentice Hall, 1997.

KLIR, George J. YUAN, Bo. *Fuzzy sets and fuzzy logic: theory and applications*. Upper Saddle River, Nj. Prentice Hall, 1995.

TERANO, Toshiro. SUGENO, Michio. ASAI, Kiyoji. *Fuzzy Systems Theory And Its Applications*. Second Edition. Boston, Ma. Academic Press, 1992.

PIMIEN TA OSORIO, Carlos Alberto. ROMERO BAYONA, Rosa. *Prototipado De Un Controlador Fuzzy Utilizando Sie_Fuzzy a través de una Tarjeta Daq National Instruments*. Tesis . Bucaramanga. Universidad Industrial De Santander, 1998.

National Instruments. Manual de Usuario *LabView*. PDF, U.S.A. Edition *Part Number 320999C-01*, Julio 2002

Microchip Technology Inc. *Data Sheet PIC16F87X*. PDF, USA. Numero de Inventario Interno DS30292C. *Microchip Technology Inc*. 2001

Palmer, Mark. *Using the CCP Module(s)*. USA. Nota de Aplicación Pdf AN594. Numero de Inventario Interno DS00594B. *Microchip Technology Inc*. 1997

Palacherla, Amar. *PIC16C5X / PIC16CXXX Math Utility Routines*. USA. Nota de Aplicación Pdf AN526. Numero de Inventario Interno DS00526E. *Microchip Technology Inc*. 1997

Palacherla, Amar. *Math Utility Routines*. USA. Nota de Aplicación Pdf AN544. Numero de Inventario Interno DS00544D. *Microchip Technology* Inc. 1997

Motorola, Inc. Technical Data MC68HC908JL3. Manual PDF MC68HC908JL3. Numero de Inventario Interno MC68H(R)C908JL3-Rev. 1.0. Motorola, Inc 1999

Motorola, Inc. Cpu08 Central Processor Unit Reference Manual. Manual PDF CPU08RM/AD. Numero de Inventario Interno CPU08RM/AD-Rev. 2. Motorola, Inc 1996

Motorola, Inc. Tim08 Timer Interface Module Reference Manual. Manual PDF TIM08RM/AD. Numero de Inventario Interno TIM08RM/AD-Rev. 1.0. Motorola, Inc 1996

Motorola, Inc. AdcAnalog-To-Digital ConverterReference Manual. Numero de Inventario Interno *Adc Reference Manual*. Motorola, Inc

Jonson, Mark. *M68HC08 Integer Math Routines*. Nota de aplicación Pdf AN1219/D. Numero de Inventario Interno AN1219/D -Rev 1.0. Austin, Texas. Motorola, Inc 1996

National Instruments. Web Site: www.ni.com/labview

National Instruments. Web Site: www.ni.com/manuals

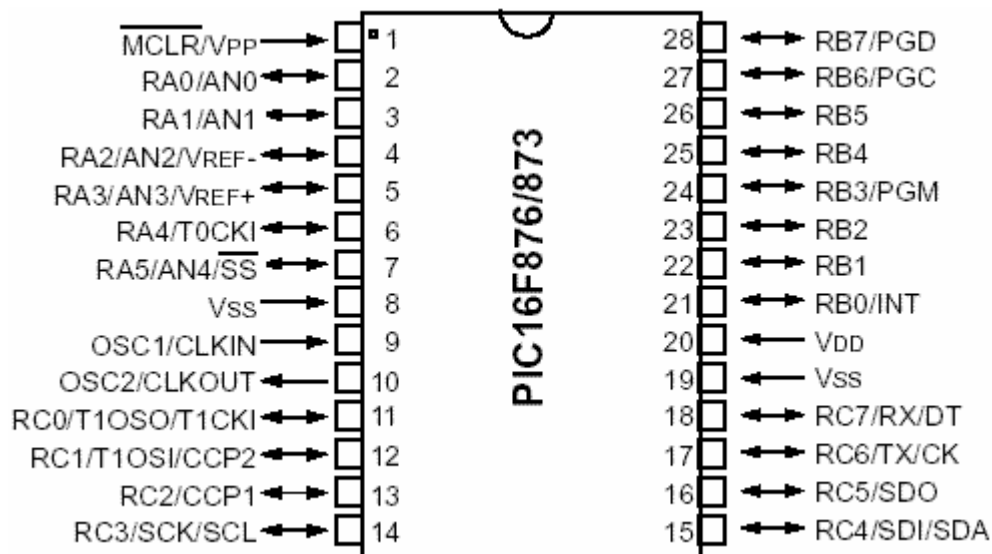
Microchip Technology Inc. Web Site: <http://www.microchip.com/>

Motorola, Inc. Web Site: <http://www.motorola.com/sps/>

ANEXO I

8.1. CARACTERISTICAS DE LOS MICROCONTROLADORES UTILIZADOS EN LA APLICACIÓN (16F873, MCHC908JL3).

8.2. I.1 MICROCONTROLADOR PIC16F873:



- Cpu tipo RISC
- ALU de 8 bits y registro de trabajo W del que normalmente recibe un operando que puede ser cualquier registro, memoria, puerto de Entrada/Salida o el propio código de instrucción.
- Contador de programa de 13 bits (lo que permite direccionar 4 kilo *byte* de memoria implementada).
 - Todas las instrucciones toman un ciclo sencillo excepto los saltos que toman dos ciclos.
 - Velocidad de operación: DC – Hasta 20 Mhz reloj de entrada depende del modelo.
- DC - 200 ns ciclo de instrucción.
- 4K de memoria de programa *FLASH*.
- Memoria de datos dividida en 2 áreas:
 - Memoria de datos *EEPROM* 128 bytes x 8 bits.
 - Memoria de datos *RAM* 192 bytes x 8 bits. Formada por 22 registros de propósito específico (*SFR*) y 36 de propósito general (*GPR*).
- Capacidades de interrupción (14 fuentes).
- Pila de ocho niveles de profundidad.

- Modos de direccionamiento Directo, indirecto y relativo.
- Reset al encendido (POR).
- *Timer Power-up* (PWRT) .
- *Watchdog Timer* (WDT) con oscilador propio RC dentro del dispositivo.
- Protección de código programable.
- Modo de SLEEP.
- Opciones de selección del oscilador.
- Tecnología de bajo consumo y alta velocidad CMOS *FLASH/EEPROM*.
- Programación serial *In-Circuit* (ICSP) vía dos pines
- Capacidad de programación serial con fuente de 5V *In-Circuit*.
- *Debugging In-Circuit* via dos pines.
- Rango de voltaje de operación : 2.0V a 5.5V
- Rangos Comerciales e Industriales de temperatura:
- Bajo consumo de potencia:
 - < 0.6 mA típica a 3V, 4 MHz
 - 20 mA típica a 3V, 32 Khz.

PERIFERICOS

- *Timer0*: 8-bits timer/contador con preescalador de 8-bits.
- *Timer1*: 16-bits timer/contador con preescalador de 8-bits. Puede ser incrementado durante el modo *SLEEP* vía señal externa reloj (cristal).
- *Timer2*: 8-bits timer/contador con 8-bits, preescalador y postescalador.
- Dos módulos de captura, comparación y *PWM*.
 - Resolución máx. de captura 16 bits a 12.5 ns.
 - Resolución máx. de comparación 16 bits a 200 ns.
 - Resolución máx. de Pwm es 10-bits
- Conversor análogo-digital 10-bits con 5 canales de entrada.

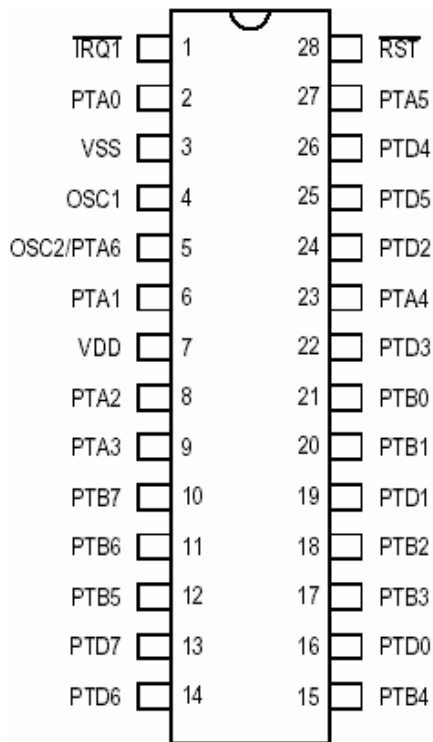
- Puerto serial sincrónico (SSP) con modos : SPI(modos maestro) y I²C(modos maestro esclavo).
- Receptor transmisor universal sincrónico asíncrono (USART/SCI).

8.3. I.2. CARACTERÍSTICAS MICROCONTROLADOR MC68HC908JL3:

- Cpu 08 tipo
- Acumulador de 8 bits, registro índice (h::x) de 16 bits para instrucciones de manipulación
- Puntero de stack de 16 bits
- Contador de programa de 16 bits
- Frecuencia de operación del bus de Cpu 8 MHz
- Instrucción de multiplicación 8x8.
- Instrucción de división 16/8.
- Transferencia de datos de memoria a memoria
- 4096 bits de memoria de programa *FLASH*
- Memoria de datos *RAM* 128 bytes x 8 bits
- Compatible con la familia HC05
- Opciones de oscilador ,circuito RC o cristal hasta 32 Mhz
- Voltaje de operación a 5 voltios o 3 voltios

PERIFERICOS

- Modulo TIM contador de dos canales a 16 bits (captura, comparación y Pwm)
- Conversor de 12 canales de 8 bits de resolución
- 23 puertos de entrada salida de propósito general
 - Siete pines con interrupción para manejar teclado
 - Diez pines para manejar leds
- Modulo COP contra fallos *reset system*
- Pin de interrupción externa
- Pin de reset con pull-up interno
- 28 pines PDIP



Terminales microcontrolador Mchc908jl3

ANEXO I I

FORMATO DE PROGRAMA CONTROL *FUZZY* EN LENGUAJE ENSAMBLADOR PARA LOS MICROCONTROLADORES (16F873, MCHC908JL3).

8.4. II.1. MICROCONTROLADOR MOTOROLA MCHC908JL3.

Este formato se realizo en base al archivo de caracterización *fuzzypic_+-16°_21.fc* cuya documentación se muestra en el anexo III

- Variables utilizadas por la rutina *fuzzye3t* : Almacenadas en memoria *Ram* del microcontrolador:

```
s_max      ds 1
s_alta     ds 1
s_medda    ds 1
s_med      ds 1
```

```

s_medb      ds 1
s_cero      ds 1
SDEN_1     ds 1
MSNUM_1    ds 1
MSNUM_2    ds 1
error_lsb   ds 1 ;guarda datos de entrada
varerror_lsb ds 1 ;guarda datos de entrada
Q1_lsb     ds 1
Q2_lsb     ds 1
Q3_1       ds 1
N_TERM_0   ds 1
N_TERM_1   ds 1
N_FUNC     ds 1
DNUMDEN_1  ds 1
DNUMDEN_2  ds 1
N_VERT     ds 1
N_VERT_0   ds 1
leftbottom_lsb ds 1
rightbottom_lsb ds 1
lefttop_lsb  ds 1
righttop_lsb ds 1

```

- **Vértices utilizados por rutina fuzzye3t: Almacenados en memoria de programa**

VERTICES

```

;*****error*varerror*****
      FCB $00
      FCB $00
      FCB $00
      FCB $10
      FCB $00
      FCB $10
      FCB $10
      FCB $30
      FCB $10
      FCB $30
      FCB $30

```

FCB \$60
 FCB \$30
 FCB \$60
 FCB \$60
 FCB \$FF
 FCB \$60
 FCB \$FF
 FCB \$FF
 FCB \$FF
 FCB \$00
 FCB \$00
 FCB \$00
 FCB \$60
 FCB \$00
 FCB \$60
 FCB \$60
 FCB \$80
 FCB \$60
 FCB \$80
 FCB \$80
 FCB \$9F
 FCB \$80
 FCB \$9F
 FCB \$9F
 FCB \$FF
 FCB \$9F
 FCB \$FF
 FCB \$FF
 FCB \$FF

- **Rutina principal fuzzye3t: Almacenada en memoria de programa**

```

FUZZYE3T
;*****
;*****Fuzificación*****
    clr  N_VERT
    clr  N_TERM_0
PER_0  mov  error_lsb,Q1_lsb
        jsr  MEMBR
        brset 7,DNUMDEN_2,S1
  
```

```

        jmp  INCR_0
S1      mov  DNUMDEN_1,error_lsb
        clr  N_TERM_1
        mov  N_VERT,N_VERT_0
        mov  #$20,N_VERT ;*****reemplazar en LabVIEW*****
PER_1   mov  varerror_lsb,Q1_lsb
        jsr  MEMBR
        brset 7,DNUMDEN_2,S2
        jmp  INCR_1
S2      mov  DNUMDEN_1,Q1_lsb
        mov  error_lsb,Q2_lsb
        jsr  REGLAS
INCR_1  inc  N_TERM_1
        lda  N_TERM_1
        cmp  #$05; ;numero indica la cantidad de términos varerror
        bhs  S3
        jmp  PER_1
S3      mov  N_VERT_0,N_VERT
INCR_0  inc  N_TERM_0
        lda  N_TERM_0
        cmp  #$05 ;numero indica la cantidad de términos error
        bhs  CENTROID
        jmp  PER_0
;*****
; Defuzificación
CENTROID
        clra
        clr  MSNUM_1
        clr  MSNUM_2
        clr  SDEN_1
        clr  DNUMDEN_1
*MSNUM=(s_max*a1)+(s_alta*a2)+(s_meda*a3)+(s_med*a4)+(s_medb*a5)+(s_cero*a6)**
*SDEN_1=(h1+h2+h3+h4+h5+h6)=(s_max+s_alta+s_meda+s_med+s_medb+s_cero)**
        lda  SDEN_1
        add  s_Max
        sta  SDEN_1
        lda  s_Max
        ldx  #$00
        mul
        jsr  suma16

```

```

lda SDEN_1
add s_Alta
sta SDEN_1
lda s_Alta
ldx #$47
mul
jsr suma16
lda SDEN_1
add s_Meda
sta SDEN_1
lda s_Meda
ldx #$5E
mul
jsr suma16
lda SDEN_1
add s_Med
sta SDEN_1
lda s_Med
ldx #$80
mul
jsr suma16
lda SDEN_1
add s_Medb
sta SDEN_1
lda s_Medb
ldx #$8E
mul
jsr suma16
lda SDEN_1
add s_Cero
sta SDEN_1
lda s_Cero
ldx #$D4
mul
jsr suma16
*** DNUMDEN = (MSNUM/SDEN_1) *****
ldhx MSNUM_2
lda MSNUM_1
ldx SDEN_1
div

```

```

    sta  DNUMDEN_1
    rts
;***EL DATO DE SALIDA DE ESTA RUTINA ESTA AL MACENADO EN DNUMDEN_1***

```

8.5.

8.6. SUBROUTINAS UTILIZADAS POR LA RUTINA FUZZYE3T: ALMACENADA EN MEMORIA DE PROGRAMA.

```

;*****
;
;      SUMA Q1=Q1+Q2 de 16 bits
;*****
SUMA16      ;Q1+Q2
    add  MSNUM_1
    sta  MSNUM_1
    bcc  SALTO
    inc  MSNUM_2
SALTO  txa
    add  MSNUM_2
    sta  MSNUM_2
    rts
;*****
;  SUBROUTINA DE GRADO DE MEMBRESÍA
MEMBR
    clrh
    ldx  N_VERT
    ldx  VERTICES,x
    stx  leftbottom_lsb
    inc  N_VERT
    ldx  N_VERT
    ldx  VERTICES,x
    sta  lefttop_lsb
    inc  N_VERT
    ldx  N_VERT
    ldx  VERTICES,x
    stx  righttop_lsb
    inc  N_VERT
    ldx  N_VERT
    ldx  VERTICES,x
    stx  rightbottom_lsb
    inc  N_VERT

```

```

IF_0
    lda  Q1_lsb
    cmp  leftbottom_lsb
    blo  SALE_1

IF_1
    cmp  rightbottom_lsb
    bhi  SALE_1

IF_2
    cmp  lefttop_lsb
    blo  RECT_A
    jmp  IF_3

RECT_A
    lda  lefttop_lsb
    sub  leftbottom_lsb
    sta  Q3_1
    lda  Q1_lsb
    sub  leftbottom_lsb
    ldx  #$80
    mul
    pshx
    pulh
    ldx  Q3_1
    div
    sta  DNUMDEN_1
    jmp  SALE_0

IF_3
    cmp  righttop_lsb
    bhi  RECT_D
    jmp  CTE

RECT_D
    lda  rightbottom_lsb
    sub  righttop_lsb
    sta  Q3_1
    lda  rightbottom_lsb
    sub  Q1_lsb
    ldx  #$80
    mul
    pshx
    pulh
    ldx  Q3_1

```

```

        div
        sta DNUMDEN_1
        jmp SALE_0
CTE
        mov #$80,DNUMDEN_1
SALE_0 bset 7,DNUMDEN_2
        jmp FUERA
SALE_1
        bclr 7,DNUMDEN_2
FUERA
        rts
;*****
; SUBROUTINA DE MINIMO MAXIMO (retorna el max en Q1, el min en Q2)
MINMAX
        lda Q1_lsb
        cmp Q2_lsb
        bhs NO_INTERC
        lda Q1_lsb
        mov Q2_lsb,Q1_lsb
        sta Q2_lsb
NO_INTERC
        rts
;*****
; SUBROUTINA DE REGLAS
REGLAS        jsr MINMAX
        lda N_TERM_0
        ldx #!05
        mul
        add N_TERM_1
        cbeqa #!0,Medb
        cbeqa #!1,Cero
        cbeqa #!2,Cero
        cbeqa #!3,Cero
        cbeqa #!4,Cero
        cbeqa #!5,Alta
        cbeqa #!6,Medb
        cbeqa #!7,Medb
        cbeqa #!8,Cero
        cbeqa #!9,Cero
        cbeqa #!10,Max

```

```
cbeqa #!11,Alta
cbeqa #!12,Medb
cbeqa #!13,Medb
cbeqa #!14,Medb
cbeqa #!15,Max
cbeqa #!16,Max
cbeqa #!17,Med
cbeqa #!18,Med
cbeqa #!19,Med
cbeqa #!20,Max
cbeqa #!21,Max
cbeqa #!22,Max
cbeqa #!23,Max
cbeqa #!24,Alta
```

Max

```
mov s_Max,Q1_lsb
jsr MINMAX
mov Q1_lsb,s_Max
jmp RETORNA
```

Alta

```
mov s_Alta,Q1_lsb
jsr MINMAX
mov Q1_lsb,s_Alta
jmp RETORNA
```

Meda

```
mov s_Meda,Q1_lsb
jsr MINMAX
mov Q1_lsb,s_Meda
jmp RETORNA
```

Med

```
mov s_Med,Q1_lsb
jsr MINMAX
mov Q1_lsb,s_Med
jmp RETORNA
```

Medb

```
mov s_Medb,Q1_lsb
jsr MINMAX
mov Q1_lsb,s_Medb
jmp RETORNA
```

Cero

```

mov    s_Cero,Q1_lsb
jsr    MINMAX
mov    Q1_lsb,s_Cero
jmp    RETORNA

```

RETORNA

rts

8.7. II.2. MICROCONTROLADOR PIC 16F873.

Este formato se realizo en base al archivo de caracterización *fuzzypic_+16°_21.fc* cuya documentación se muestra en el anexo III

- Variables utilizadas por la rutina fuzzye3t : Almacenadas en memoria *Ram* del microcontrolador:

```

error0_lsb
error0_msb
error_lsb
error_msb
varerror_lsb
varerror_msb
s_Max_lsb
s_Max_msb
s_Alta_lsb
s_Alta_msb
s_Meda_lsb
s_Meda_msb
s_Med_lsb
s_Med_msb
s_Medb_lsb
s_Medb_msb
s_Cero_lsb
s_Cero_msb
Q1_lsb
Q1_msb
Q2_lsb
Q2_msb
Q3_1
Q3_2
Q3_3

```

SDEN_1
 SDEN_2
 SDEN_3
 MSNUM_1
 MSNUM_2
 MSNUM_3
 INDIC@
 N_TERM_0
 N_TERM_1
 DNUMDEN_1
 DNUMDEN_2
 REST_1
 REST_2
 REST_3
 N_VERT
 N_VERT_0
 M@
 RR
 leftbottom_lsb
 leftbottom_msb
 rightbottom_lsb
 rightbottom_msb
 lefttop_lsb
 lefttop_msb
 righttop_lsb
 righttop_msb

- Vértices utilizados por rutina fuzzye3t: Almacenados en memoria de programa

8.8.

VERTICES	retlw 0x00
addwf PCL,1	retlw 0x00
retlw 0x00	retlw 0x40
retlw 0x00	retlw 0x00
retlw 0x00	retlw 0x40
retlw 0x00	retlw 0x00
retlw 0x00	retlw 0xC0
retlw 0x00	retlw 0x00
retlw 0x40	retlw 0x40
retlw 0x00	retlw 0x00

retlw 0xC0	retlw 0x00
retlw 0x00	retlw 0x02
retlw 0xC0	retlw 0x00
retlw 0x00	retlw 0x02
retlw 0x80	retlw 0x7F
retlw 0x01	retlw 0x02
retlw 0xC0	retlw 0x00
retlw 0x00	retlw 0x02
retlw 0x80	retlw 0x7F
retlw 0x01	retlw 0x02
retlw 0x80	retlw 0x7F
retlw 0x01	retlw 0x02
retlw 0xFF	retlw 0xFF
retlw 0x03	retlw 0x03
retlw 0x80	retlw 0x7F
retlw 0x01	retlw 0x02
retlw 0xFF	retlw 0xFF
retlw 0x03	retlw 0x03
retlw 0xFF	retlw 0xFF
retlw 0x03	retlw 0x03
retlw 0xFF	retlw 0xFF
retlw 0x03	retlw 0x03
retlw 0x00	
retlw 0x00	
retlw 0x00	
retlw 0x00	
retlw 0x00	
retlw 0x00	
retlw 0x80	
retlw 0x01	
retlw 0x00	
retlw 0x00	
retlw 0x80	
retlw 0x01	
retlw 0x80	
retlw 0x01	
retlw 0x00	
retlw 0x02	
retlw 0x80	
retlw 0x01	

8.9.

- **Rutina principal fuzzye3t: Almacenada en memoria de programa**

8.10.

FUZZYE3T

```
    clrf  s_Max_lsb
    clrf  s_Max_msb
    clrf  s_Alta_lsb
    clrf  s_Alta_msb
    clrf  s_Meda_lsb
    clrf  s_Meda_msb
    clrf  s_Med_lsb
    clrf  s_Med_msb
    clrf  s_Medb_lsb
    clrf  s_Medb_msb
    clrf  s_Cero_lsb
    clrf  s_Cero_msb
    bcf   PCLATH,3
    bcf   PCLATH,4
```

=====

```
    clrf  N_TERM_0
    clrf  N_VERT
```

PERT_0

```
    movf  error_lsb,0
    movwf Q1_lsb
    movf  error_msb,0
    movwf Q1_msb
    call  MEMBR
    btfss DNUMDEN_2,7
    goto  INCR_0
    movf  DNUMDEN_1,0
    movwf error0_lsb
    movf  DNUMDEN_2,0
    andlw b'00000011'
    movwf error0_msb
    clrf  N_TERM_1
    movf  N_VERT,0
    movwf N_VERT_0
    movlw 0x28 ; ~~~~~~
    movwf N_VERT
```

```

PERT_1
    movf  varerror_lsb,0
    movwf Q1_lsb
    movf  varerror_msb,0
    movwf Q1_msb
    call  MEMBR
    btfss DNUMDEN_2,7
    goto  INCR_1
    movf  DNUMDEN_1,0
    movwf Q1_lsb
    movf  DNUMDEN_2,0
    andlw b'00000011'
    movwf Q1_msb
    movf  error0_lsb,0
    movwf Q2_lsb
    movf  error0_msb,0
    movwf Q2_msb
    call  REGLAS

```

```

INCR_1
    incf  N_TERM_1,1
    movlw 0x05
    subwf N_TERM_1,0
    btfss STATUS,0
    goto  PERT_1

```

```

    movf  N_VERT_0,0
    movwf N_VERT

```

```

INCR_0
    incf  N_TERM_0,1
    movlw 0x05
    subwf N_TERM_0,0
    btfss STATUS,0
    goto  PERT_0

```

```

;=====

```

```

CENTROID

```

```

    clrf MSNUM_1
    clrf MSNUM_2
    clrf MSNUM_3
    clrf SDEN_1
    clrf SDEN_2

```

```

        clrf   SDEN_3
        clrf   DNUMDEN_1
        clrf   DNUMDEN_2
c_Max
        movf   s_Max_lsb,0
        movwf  Q1_lsb
        movf   s_Max_msb,0
        movwf  Q1_msb
        iorwf  s_Max_lsb,0
        btfsc  STATUS,2
        goto  c_Alta
        call  SUM@I
        movlw  0x00
        movwf  Q2_lsb
        movlw  0x00
        movwf  Q2_msb
        call  MULSUM@S
c_Alta
        movf   s_Alta_lsb,0
        movwf  Q1_lsb
        movf   s_Alta_msb,0
        movwf  Q1_msb
        iorwf  s_Alta_lsb,0
        btfsc  STATUS,2
        goto  c_Meda
        call  SUM@I
        movlw  0x1C
        movwf  Q2_lsb
        movlw  0x01
        movwf  Q2_msb
        call  MULSUM@S
c_Meda
        movf   s_Meda_lsb,0
        movwf  Q1_lsb
        movf   s_Meda_msb,0
        movwf  Q1_msb
        iorwf  s_Meda_lsb,0
        btfsc  STATUS,2
        goto  c_Med
        call  SUM@I

```

```

        movlw 0x77
        movwf Q2_lsb
        movlw 0x01
        movwf Q2_msb
        call MULSUM@S
c_Med
        movf s_Med_lsb,0
        movwf Q1_lsb
        movf s_Med_msb,0
        movwf Q1_msb
        iorwf s_Med_lsb,0
        btfsc STATUS,2
        goto c_Medb
        call SUM@I
        movlw 0x00
        movwf Q2_lsb
        movlw 0x02
        movwf Q2_msb
        call MULSUM@S
c_Medb
        movf s_Medb_lsb,0
        movwf Q1_lsb
        movf s_Medb_msb,0
        movwf Q1_msb
        iorwf s_Medb_lsb,0
        btfsc STATUS,2
        goto c_Cero
        call SUM@I
        movlw 0x38
        movwf Q2_lsb
        movlw 0x02
        movwf Q2_msb
        call MULSUM@S
c_Cero
        movf s_Cero_lsb,0
        movwf Q1_lsb
        movf s_Cero_msb,0
        movwf Q1_msb
        iorwf s_Cero_lsb,0
        btfsc STATUS,2

```

```

goto c_Salida?
call SUM@I
movlw 0x54
movwf Q2_lsb
movlw 0x03
movwf Q2_msb
call MULSUM@S

```

c_Salida?

```
call DIV@
```

; <<EL DATO DE DNUMDEN_1 Y DNUMDEN_2>> SALIDA DE 10BITS DE ESTA RUTINA SE ALMACENA EN LAS VARIABLES> ; <<

8.11.

8.12. SUBRUTINAS UTILIZADAS POR LA RUTINA FUZZYE3T: ALMACENADAS EN MEMORIA DE PROGRAMA.

8.13.

;*****

REGLAS

```

call MINMAX
movf N_TERM_0,0
addwf N_TERM_0,0
addwf N_TERM_0,0
addwf N_TERM_0,0
addwf N_TERM_0,0
addwf N_TERM_1,0
addwf PCL,1
goto Medb
goto Cero
goto Cero
goto Cero
goto Cero
goto Alta
goto Medb
goto Medb
goto Cero
goto Cero
goto Max
goto Alta
goto Medb
goto Medb

```

```
goto Medb
goto Max
goto Max
goto Med
goto Med
goto Med
goto Max
goto Max
goto Max
goto Max
goto Max
goto Alta
```

Max

```
movf s_Max_lsb,0
movwf Q1_lsb
movf s_Max_msb,0
movwf Q1_msb
call MINMAX
movf Q1_lsb,0
movwf s_Max_lsb
movf Q1_msb,0
movwf s_Max_msb
return
```

Alta

```
movf s_Alta_lsb,0
movwf Q1_lsb
movf s_Alta_msb,0
movwf Q1_msb
call MINMAX
movf Q1_lsb,0
movwf s_Alta_lsb
movf Q1_msb,0
movwf s_Alta_msb
return
```

Meda

```
movf s_Meda_lsb,0
movwf Q1_lsb
movf s_Meda_msb,0
movwf Q1_msb
call MINMAX
movf Q1_lsb,0
```

```
movwf s_Meda_lsb
movf Q1_msb,0
movwf s_Meda_msb
return
```

Med

```
movf s_Med_lsb,0
movwf Q1_lsb
movf s_Med_msb,0
movwf Q1_msb
call MINMAX
movf Q1_lsb,0
movwf s_Med_lsb
movf Q1_msb,0
movwf s_Med_msb
return
```

Medb

```
movf s_Medb_lsb,0
movwf Q1_lsb
movf s_Medb_msb,0
movwf Q1_msb
call MINMAX
movf Q1_lsb,0
movwf s_Medb_lsb
movf Q1_msb,0
movwf s_Medb_msb
return
```

Cero

```
movf s_Cero_lsb,0
movwf Q1_lsb
movf s_Cero_msb,0
movwf Q1_msb
call MINMAX
movf Q1_lsb,0
movwf s_Cero_lsb
movf Q1_msb,0
movwf s_Cero_msb
return
```

MEMBR

```
movf N_VERT,0
```

```

call VERTICES
movwf leftbottom_lsb
incf N_VERT,1
movf N_VERT,0
call VERTICES
movwf leftbottom_msb
incf N_VERT,1
movf N_VERT,0
call VERTICES
movwf lefttop_lsb
incf N_VERT,1
movf N_VERT,0
call VERTICES
movwf lefttop_msb
incf N_VERT,1
movf N_VERT,0
call VERTICES
movwf righttop_lsb
incf N_VERT,1
movf N_VERT,0
call VERTICES
movwf righttop_msb
incf N_VERT,1
movf N_VERT,0
call VERTICES
movwf rightbottom_lsb
incf N_VERT,1
movf N_VERT,0
call VERTICES
movwf rightbottom_msb
incf N_VERT,1

```

IF_0

```

movf leftbottom_lsb,0
movwf Q2_lsb
movf leftbottom_msb,0
movwf Q2_msb
call COMP@
xorlw 0x02
btfss STATUS,2
goto IF_1

```

```

        bcf   DNUMDEN_2,7
        return
IF_1
        movf  rightbottom_lsb,0
        movwf Q2_lsb
        movf  rightbottom_msb,0
        movwf Q2_msb
        call  COMP@
        xorlw 0x01
        btfss STATUS,2
        goto  IF_2
        bcf   DNUMDEN_2,7
        return
IF_2
        movf  lefttop_lsb,0
        movwf Q2_lsb
        movf  lefttop_msb,0
        movwf Q2_msb
        call  COMP@
        xorlw 0x02
        btfss STATUS,2
        goto  IF_3
RECT_A
        movf  leftbottom_lsb,0
        movwf Q2_lsb
        movf  leftbottom_msb,0
        movwf Q2_msb
        call  REST@
        movlw 0x03
        movwf Q2_msb
        movlw 0xFF
        movwf Q2_lsb
        call  M_MSNUM
        movf  lefttop_lsb,0
        movwf Q1_lsb
        movf  lefttop_msb,0
        movwf Q1_msb
        movf  leftbottom_lsb,0
        movwf Q2_lsb
        movf  leftbottom_msb,0

```

```

movwf Q2_msb
call REST@
movf Q1_lsb,0
movwf SDEN_1
movf Q1_msb,0
movwf SDEN_2
call DIV@
bsf DNUMDEN_2,7
return

IF_3
movf righttop_lsb,0
movwf Q2_lsb
movf righttop_msb,0
movwf Q2_msb
call COMP@
xorlw 0x01
btfss STATUS,2
goto CTE

RECT_D
movf Q1_lsb,0
movwf Q2_lsb
movf Q1_msb,0
movwf Q2_msb
movf rightbottom_lsb,0
movwf Q1_lsb
movf rightbottom_msb,0
movwf Q1_msb
call REST@
movlw 0x03
movwf Q2_msb
movlw 0xFF
movwf Q2_lsb
call M_MSNUM
movf rightbottom_lsb,0
movwf Q1_lsb
movf rightbottom_msb,0
movwf Q1_msb
movf righttop_lsb,0
movwf Q2_lsb
movf righttop_msb,0

```

```

    movwf Q2_msb
    call REST@
    movf Q1_lsb,0
    movwf SDEN_1
    movf Q1_msb,0
    movwf SDEN_2
    call DIV@
    bsf DNUMDEN_2,7
    return
CTE
    movlw 0x03
    movwf DNUMDEN_2
    movlw 0xFF
    movwf DNUMDEN_1
    bsf DNUMDEN_2,7
    return
,*****
COMP@ movf Q2_msb,0
    subwf Q1_msb,0
    btfss STATUS,0
    goto Q1MENOR
    btfss STATUS,2
    goto Q1MAYOR
    movf Q2_lsb,0
    subwf Q1_lsb,0
    btfss STATUS,0
    goto Q1MENOR
    btfss STATUS,2
    goto Q1MAYOR
    goto Q1IGUAL
Q1MENOR retlw 0x02
Q1MAYOR retlw 0x01
Q1IGUAL retlw 0x00
,*****
MINMAX
    movf Q2_msb,0
    subwf Q1_msb,0
    btfss STATUS,0
    goto INTERC
    btfss STATUS,2

```

```

    goto NO_INTERC
    movf  Q2_lsb,0
    subwf Q1_lsb,0
    btfsc STATUS,0
    goto NO_INTERC
INTERC
    movf  Q1_msb,0
    movwf Q3_3
    movf  Q2_msb,0
    movwf Q1_msb
    movf  Q3_3,0
    movwf Q2_msb
    movf  Q1_lsb,0
    movwf Q3_3
    movf  Q2_lsb,0
    movwf Q1_lsb
    movf  Q3_3,0
    movwf Q2_lsb
NO_INTERC
    Return
;*****
REST@
    comf  Q2_msb,1
    comf  Q2_lsb,1
    incf  Q2_lsb,1
    btfsc STATUS,2
    incf  Q2_msb,1
    movf  Q2_lsb,0
    addwf Q1_lsb,1
    btfsc STATUS,0
    incf  Q1_msb,1
    movf  Q2_msb,0
    addwf Q1_msb,1
    return
;*****
SUM@I
    movf  Q1_lsb,0
    addwf SDEN_1,1
    btfsc STATUS,0
    incf  SDEN_2,1

```

```

        movf   Q1_msb,0
        addwf  SDEN_2,1
        return
;*****
M_MSNUM
        clrf  MSNUM_3
        clrf  MSNUM_2
        clrf  MSNUM_1
        movlw .16
        movwf INDIC@
MLAZO_A
        bcf   STATUS,0
        rlf  MSNUM_1,1
        rlf  MSNUM_2,1
        rlf  MSNUM_3,1
        bcf   STATUS,0
        rlf  Q2_lsb,1
        rlf  Q2_msb,1
        btfss STATUS,0
        goto NSUM@_A
        movf  Q1_lsb,0
        addwf MSNUM_1,1
        btfsc STATUS,0
        incf  MSNUM_2,1
        movf  Q1_msb,0
        addwf MSNUM_2,1
        btfsc STATUS,0
        incf  MSNUM_3,1
NSUM@_A
        decfsz INDIC@,1
        goto  MLAZO_A
        return
;*****
MULSUM@S
        clrf  Q3_3
        clrf  Q3_2
        clrf  Q3_1
        movlw .16
        movwf INDIC@
MLAZO

```

```

    bcf  STATUS,0
    rlf  Q3_1,1
    rlf  Q3_2,1
    rlf  Q3_3,1
    bcf  STATUS,0
    rlf  Q2_lsb,1
    rlf  Q2_msb,1
    btfss STATUS,0
    goto NSUM@
    movf  Q1_lsb,0
    addwf Q3_1,1
    btfsc STATUS,0
    incf  Q3_2,1
    movf  Q1_msb,0
    addwf Q3_2,1
    btfsc STATUS,0
    incf  Q3_3,1
NSUM@
    decfsz INDIC@,1
    goto  MLAZO
    movf  Q3_1,0
    addwf MSNUM_1,1
    btfsc STATUS,0
    incf  MSNUM_2,1
    movf  Q3_2,0
    addwf MSNUM_2,1
    btfsc STATUS,0
    incf  MSNUM_3,1
    movf  Q3_3,0
    addwf MSNUM_3,1
    return
;*****
DIV@
    movlw .24
    movwf INDIC@
    clrf  DNUMDEN_2
    clrf  DNUMDEN_1
    clrf  REST_3
    clrf  REST_2
    clrf  REST_1

```

```

        clrf    SDEN_3
DLAZO
        bcf     STATUS,C
        rlf     MSNUM_1,1
        rlf     MSNUM_2,1
        rlf     MSNUM_3,1
        rlf     REST_1,1
        rlf     REST_2,1
        rlf     REST_3,1
        movf   SDEN_3,0
        subwf  REST_3,0
        btfss  STATUS,2
        goto   PAS@1
        movf   SDEN_2,0
        subwf  REST_2,0
        btfss  STATUS,2
        goto   PAS@1
        movf   SDEN_1,0
        subwf  REST_1,0
PAS@1
        btfss  STATUS,0
        goto   PAS@2
        movf   SDEN_1,0
        subwf  REST_1,1
        btfss  STATUS,0
        decf   REST_2,1
        movf   SDEN_2,0
        subwf  REST_2,1
        btfss  STATUS,0
        decf   REST_3,1
        movf   SDEN_3,0
        subwf  REST_3,1
        bsf    STATUS,0
PAS@2
        rlf     DNUMDEN_1,1
        rlf     DNUMDEN_2,1
        decfsz INDIC@,1
        goto   DLAZO

```

8.14. **RETURN**

8.15. ;*****

ANEXO III

DOCUMENTACION ARCHIVO FC UTILIZADO EN LA APLICACIÓN.

La caracterización del sistema que se uso en la aplicación se guardo en el archivo fuzzypic_+16°_21.fc, se muestra a continuación las variables de entrada, la variable de salida y las reglas.

8.16. III.1. VARIABLES LINGÜÍSTICAS DE ENTRADA

También llamadas antecedentes son Error y Varerror

- Error

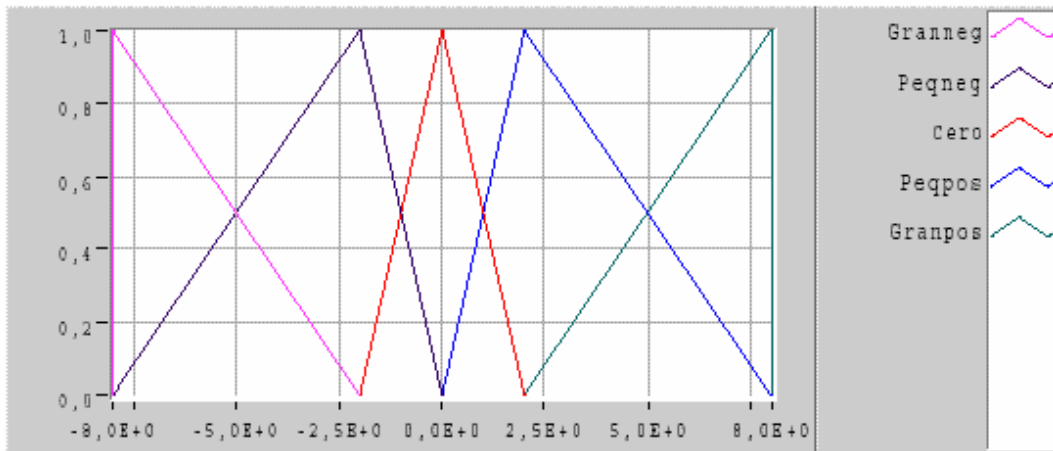
Date: 08/01/05

Controller Name : fuzzypic_+16°_21.fc

Time: 06:28 p.m.

minimum

maximum

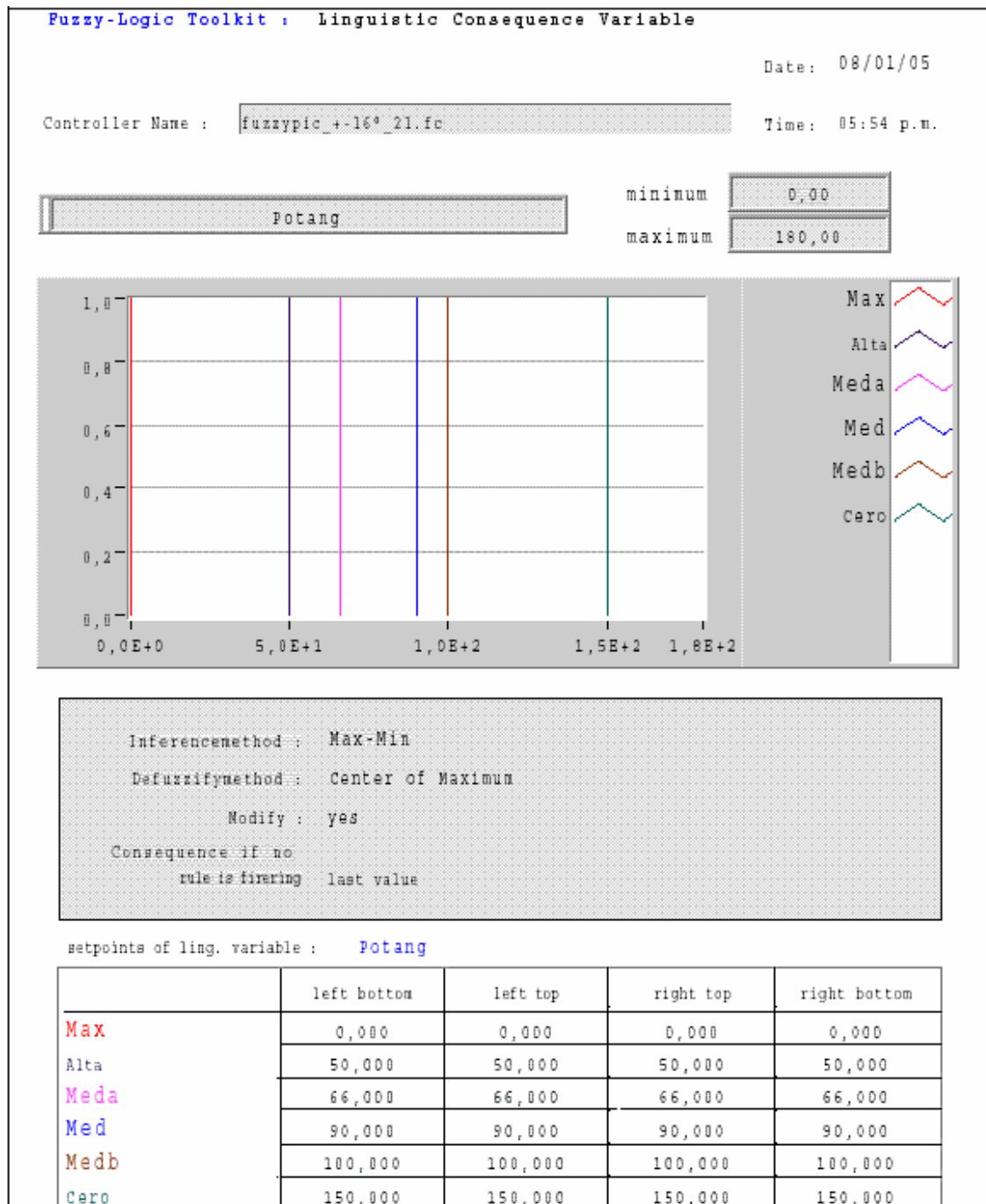


setpoints of ling. variable : varepsilon

	left bottom	left top	right top	right bottom
Granneg	-8,000	-8,000	-8,000	-2,000
Pequneg	-8,000	-2,000	-2,000	0,000
Cero	-2,000	0,000	0,000	2,000
Pequpos	0,000	2,000	2,000	8,000
Granpos	2,000	8,000	8,000	8,000

III.2. VARIABLE LINGÜÍSTICA DE SALIDA

Tambien llamada consecuencias a esta variable se le dio el nombre de Pot_angulo



8.17. III.3. CONJUNTO DE REGLAS UTILIZADAS

Fuzzy Logic Toolkit : Rules					Date: 05:56 p.m.
Controller Name : fuzzylogic_169_21.fc					Time: 08/01/05
Rule No.	IF error	AND varerror	THEN Potang	DoS	
1	Cero	Granneg	Medb	1,00	
2	Cero	Peqneg	Cero	1,00	
3	Cero	Cero	Cero	1,00	
4	Cero	Pegpos	Cero	1,00	
5	Cero	Granpos	Cero	1,00	
6	Min	Granneg	Alta	1,00	
7	Min	Peqneg	Medb	1,00	
8	Min	Cero	Medb	1,00	
9	Min	Pegpos	Cero	1,00	
10	Min	Granpos	Cero	1,00	
11	Peq	Granneg	Max	1,00	
12	Peq	Peqneg	Alta	1,00	
13	Peq	Cero	Medb	1,00	
14	Peq	Pegpos	Medb	1,00	
15	Peq	Granpos	Medb	1,00	
16	Med	Granneg	Max	1,00	
17	Med	Peqneg	Max	1,00	
18	Med	Cero	Med	1,00	
19	Med	Pegpos	Med	1,00	
20	Med	Granpos	Med	1,00	
21	Gran	Granneg	Max	1,00	
22	Gran	Peqneg	Max	1,00	
23	Gran	Cero	Max	1,00	
24	Gran	Pegpos	Max	1,00	
25	Gran	Granpos	Alta	1,00	

ANEXO IV

PROGRAMA EN LENGUAJE ENSAMBLADOR PARA LOS MICROCONTROLADORES (16F873, MCHC908JL3) UTILIZADOS EN LA APLICACIÓN.

8.18. IV.1. MICROCONTROLADOR MOTOROLA MCHC908JL3.

Este programa realiza control Fuzzy de la aplicación utilizando solo el microcontrolador. Las rutinas utilizadas por Fuzzye3t se encuentran en el anexo II.

```
*****
*Programa Control Fuzzy Desde UC*
*Manejo De Teclado Y Lcd Fuzzy, Microcontrolador Motorola Hc08jl3- Xtal 5 Mhz*
*Muestra Temperatura Y Setpoint
*Entra Tres Datos Y Acepta Con La Tecla Asterisco Del Teclado
* FC fuzzypic_+16°_21.fc
*****

RAM EQU $0080
Rom EQU $EC00 ; Valida para JL3, JK3, JK1
Vector EQU $FFDE
*****

$Include 'C:\pemicro\ics08jlz\jl3regs.inc'
*****

    org Ram
cent    ds 1
dec     ds 1
uni     ds 1
caracter ds 1
cuenta_bit ds 1
columna ds 1
fila    ds 1
PA      ds 1
ROC     ds 1
ROD     ds 1
ROE     ds 1
TEMP    ds 1
C       ds 1
E       EQU $5
RS      EQU $4
```

```

BUFFER ds 1
yes ds 1
vram ds 1
bin_l ds 1
bin_h ds 1
*****
t ds 1
*****
H_Byte ds 1 ;16-bit valor de entrada Binario>BCD
L_Byte ds 1
R1 ds 1
R2 ds 1 ;BCD salida Binario->BCD
R0 ds 1
count ds 1
temp1 ds 1
temp2 ds 1
BCDX1 ds 1
BCDX10 ds 1
BCDX100 ds 1
NUMERADOR ds 1
TECLA ds 1
PWMH ds 1
PWML ds 1
error_msb ds 1
*****
Insertar aquí las variables utilizadas por fuzzye3t para microcontrolador Motorola que se encuentran en el anexo II
*****
org Rom
VÉRTICES
;*****
;*****INSERTAR AQUÍ LA TABLA DE VÉRTICES*****
;*****
;*****
main:
    rsp
    bset 0,CONFIG1 ;deshabilita modulo cop (watchdog)
    bset 1,INTSCR ;DESABILITA INTERRUPCION PIN IRQ
    jsr PUERTOS_init
    JSR INICIA_VARIAB
    jsr LCD_INIT
    jsr MENSAJE1

```

```

        jsr teclado_init
        cli          ;ACTIVA ATENCION A INTERRUPCIONES (teclado)
main_2   BRSET 0,yes,sig1
        jmp main_2
sig1     JSR ASCC-BCD
        JSR BCD-BIN
        MOV bin_1,TECLA
*****
*MUESTRA MENSAJE TEMPERATURA
*****
        ldx #$01
        BCLR 1,C
        jsr DALTO
        MOV #$4,TEMP
        jsr SIGLO
        ldx #%10000000 ;POSICION 0
        BCLR 1,C
        jsr DALTO
        clrx
        mov #$0,R0C
CICLO   CLRH
        ldx R0C
        LDX TABLA_LCD,X
        BSET 1,C
        jsr DALTO
        mov #$FF,R0D
RETA    jsr RETARDO
        dbnz R0D,RETA
        inc R0C
        lda R0C
        SUB #$0F
        BCS CICLO
        jsr init_pwm
        ldx #$01
        BCLR 1,C
        jsr DALTO
        MOV #$4,TEMP
        jsr SIGLO
loop    jsr AD_init  ; conversión sencilla
        CLI          ;limpiar bits 3 del CCR habilita la atención de interrupción

```

```

main_3  BRCLR 0,yes,sig2 ;
        bra main_3
sig2    jsr temp_actual
        jmp loop
PUERTOS_init
        mov #$30,DDRA      ;puerto A0-A3 entrada columnas del teclado
                                ;puerto A4-A5 SALIDAS LCD (enable, RS)
        clr porta
        mov #$7F,ddrd      ;puerto D salida LDC y filas del teclado Y PWM
        clr PORTD          ;puerto D Lsb en cero
        mov #$FF,DDRB
        CLR PORTB
        MOV #$FF,TEMP ;*****RETARDOS PARA*****
        jsr SIGLO ;*****INICIALIZACION*****
        MOV #$FF,TEMP ;*****LCD*****
        jsr SIGLO
        MOV #$FF,TEMP
        jsr SIGLO
        MOV #$FF,TEMP
        jsr SIGLO
        MOV #$FF,TEMP
        jsr SIGLO
        MOV #$FF,TEMP
        jsr SIGLO
        MOV #$FF,TEMP
        jsr SIGLO
        MOV #$FF,TEMP
        jsr SIGLO
        MOV #$FF,TEMP
        jsr SIGLO
        rts
*****
*RUTINA DE INICIALIZACION DE TECLADO*
*****
Teclado_init  bset $1,KBSCR      ;imaskk =1
        mov #$0F,KBIER      ;habilita cada una columnas pta0-pta3
        bset $2,KBSCR      ;ACKK=1 limpia cualquier falsa interrupción
        mov #%00000001,KBSCR      ;imaskk =0
        rts
*****
*RUTINA DE INICIALIZACION DE PWM*
*****

```

```

init_pwm    bset 5,tsc
            bset 4,tsc
            mov #$28,tmodh ; periodo28
            mov #$00,tmodl ; periodoB0
            mov #$24,tch0h ; ancho de pulso14
            mov #$00,tch0l ; ancho de pulso58
            mov #$1E,tsc0 ;%00011110 ;PWM SINBUFER (ON),NIVEL INICIAL BAJO
            rts

*****
*RUTINA DE INICIALIZACION DE VARIABLES
*****
INICIA_VARIAB
            clr C      ;VAR PARA LCD C=0 REGISTRO CONTROL C=1 REGISTRO DATOS
            clr yes    ;VAR PAR TECLADO
            clr BUFFER ;VAR PAR TECLADO
            CLR uni    ;VAR PARA BCD_BIN
            CLR dec    ;VAR PARA BCD_BIN
            CLR cent   ;VAR PARA BCD_BIN
            mov #$80,vram ;VAR PAR TECLADO
            CLR s_max
            CLR s_alta
            CLR s_meda
            CLR s_med
            CLR s_medb
            CLR s_cero
            CLR SDEN_1
            CLR MSNUM_1
            CLR MSNUM_2
            CLR error_lsb
            CLR varerror_lsb
            CLR error2
            CLR error0_lsb
            CLR Q1_lsb
            CLR Q2_lsb
            CLR Q3_1
            CLR N_TERM_0
            CLR N_TERM_1
            CLR N_FUNC
            CLR DNUMDEN_1
            CLR DNUMDEN_2

```

```

CLR N_VERT
CLR N_VERT_0
CLR leftbottom_lsb
CLR rightbottom_lsb
CLR lefttop_lsb
CLR righttop_lsb
CLR TECLA

RTS

*****
*RUTINA DE INICIALIZACION DE LCD*
*****

LCD_INIT  ldx #%00000010      ;LIMPIA HOME
          BCLR 1,C
          jsr DALTO
          MOV  #$4,TEMP
          jsr SIGLO
          ldx #%00101000      ;BUS DE DATOS (4 BITS) (2 LINEA EN PANTALLA) TAMAÑO CARACTER 5*7
          BCLR 1,C
          jsr DALTO
          ldx #%00001110      ; PANTALLA ACTIVA Y CURSOR NO PARPADEA
          BCLR 1,C
          jsr DALTO
          MOV  #$40,PORTD      ;puerto D Lsb en cero
          rts

*****
*MUESTRA MENSAJE DE (CONTROL FUZZY)*
*****

MENSAJE1  ldx #$01
          BCLR 1,C
          jsr DALTO
          MOV  #$4,TEMP
          jsr SIGLO
          ldx #%10000010 ;POSICION 2
          BCLR 1,C
          jsr DALTO
          clrx
          mov  #$0,R0C

CICLO1   CLRH
          ldx R0C
          LDX TABLA_LCD1,X

```

```

    BSET 1,C
    jsr DALTO
    mov #\$FF,R0D
RETA1    jsr RETARDO
    dbnz R0D,RETA1
    inc R0C
    lda R0C
    SUB #\$0F
    BCS CICLO1
    ldx #%%11000110 ;POSICION $46
    BCLR 1,C
    jsr DALTO
    RTS

```

TABLA_LCD1

```

    DB "C"
    DB "O"
    DB "N"
    DB "T"
    DB "R"
    DB "O"
    DB "L"
    DB " "
    DB "F"
    DB "U"
    DB "Z"
    DB "Z"
    DB "Y"
    DB " "
    DB " "
    DB "U"
    DB "C"

```

TABLA_LCD

```

    DB " "
    DB " "
    DB "T"
    DB "E"
    DB "M"
    DB "P"

```

```

DB "E"
DB "R"
DB "A"
DB "T"
DB "U"
DB "R"
DB "A"
DB " "
DB " "
DB " "

```

```

AD_init    mov #$47,adscr ;$47=(1000111) habilita la interrupción, conversión UNICA conversión on canal
ADC7=PTB7

```

```

    mov #$80,ADCLK ; velocidad del reloj para la conversión 16CICLOS*0.8uS*16=204.8uS => 1 conversión
cada 4uS

```

```

    BSET 0,yes

```

```

    rts

```

RUTINA DE ATENCION A INTERRUPCION AD/LCD

INTER_CONVERSION:

```

    PSHA

```

```

    PSHH

```

```

    PSHX

```

```

    MOV adr,CARACTER ;GUARDA EN VARIABLE EL DATO CONVERTIDO

```

```

    clrh

```

```

    LDX CHARACTER ;CONVIERTE DATO FORMATO 0-150 (BIN_L*150/255)

```

```

    LDA #$96

```

```

    MUL

```

```

    PSHX

```

```

    PULH

```

```

    LDX #$FF

```

```

    DIV

```

```

    STA CHARACTER

```

```

    lda TECLA

```

```

    CMP CHARACTER

```

```

    BHS TSMAYOR ; SALTA SI TECLA >= QUE A/D

```

```

    lda CHARACTER

```

```

    SUB TECLA

```

```

    sta error_lsb

```

```

        sta error_msb
        JMP NOFUZZ
TSMAYOR
        lda TECLA
        SUB CHARACTER
        STA error_lsb
        CMP #$0F
        BGE PRENDE
        LDX #$10
        MUL
        CBEQX #$00,WE
        JMP PRENDE
WE      sta error_lsb
        sta error_msb
*****
VAERR
;*** VARERROR=(TEMP ACTUAL)-(TEMP ANTERIOR)*****
        LDA CHARACTER
        CMP error2
        BHS VARMAYOR      ; SALTA SI A/D(ACTUAL) >= QUE A/D(ANTERIOR)
        lda error2
        SUB CHARACTER
        ADD #$8
        LDX #$10
        MUL
        sta varerror_lsb
        JMP FUZZ
VARMAYOR  lda CHARACTER
        SUB error2
        ADD #$8
        LDX #$10
        MUL
        sta varerror_lsb
FUZZ     MOV CHARACTER,error2
        LDA error_lsb
        ; CBEQA #$00,NOFUZZ
        jsr FUZZYE3T      ; SALTA SUBRRUTINA FUZZY
        JMP TERMINAR
NOFUZZ   bset 5,tsc
        bset 4,tsc

```

```

mov #$1E,tsc0 ;%00011111 ;PWM SINBUFER (ON),NIVEL INICIAL BAJO, 100% CICLO UTIL
bclr 5,tsc ; activa contador y comienza Pwm
JMP TERMINAR
PRENDE mov #$00,PWMH ;ANCHO DE PULSO DE LA SEÑAL PWM (MSB)
mov #$00,PWML ;ANCHO DE PULSO DE LA SEÑAL PWM (LSB)
mov #$1E,tsc0 ;%00011111 ;PWM SINBUFER (ON),NIVEL INICIAL BAJO, 100% CICLO UTIL
TERMINAR PULX
PULH
PULA
BCLR 1,INTSCR ;HABILITA INTERRUPCION PIN IRQ
cli
rti ; retorna

```

RUTINA DE ATENCION A INTERRUPCION externa (cruce por cero)

```

Pwm PSHA
PSHH
PSHX
bset 5,tsc ;DESACTIVA contador TIM
bset 4,tsc ;reset al contador TIM
LDA PWMH
STA tch0h
LDA PWML
STA tch0l
bclr 5,tsc ; activa contador y comienza Pwm
bclr 0,YES
PULX
PULH
PULA
cli
rti ; retorna

```

FUZZYE3T

; INSERTAR SUBROUTINA PRINCIPAL FUZZYE3T (anexo II)

```

sta DNUMDEN_1 ;(0-255)
cbeqa #!255,APAGA
ldx DNUMDEN_1

```

SE CONVIERTE EL DATO DE SALIDA DE FORMATO (0-255)

* UTILIZADO EN LOS CALCULOS A FORMATO (0-10200) UTILIZADO EN EL PWM*****

```

CLR H

```

```

LDA #!40
MUL
STX PWMH ;ANCHO DE PULSO DE LA SEÑAL PWM (MSB)
STA PWML ;ANCHO DE PULSO DE LA SEÑAL PWM (LSB)
mov #!E,tsc0 ;%00011111 ;PWM SINBUFER (ON),NIVEL INICIAL BAJO, 100% CICLO UTIL
JMP SSS
APAGA bset 5,tsc
      bset 4,tsc
      mov #!F,tsc0 ;%00011111 ;PWM SINBUFER (ON),NIVEL INICIAL BAJO, 100 % CICLO UTIL
      belr 5,tsc ; activa contador y comienza Pwm
SSS rts
;*****
;
;      SUMA Q1=Q1+Q2 de 16 bits (anexo II)
SUMA16 ;Q1+Q2
      add MSNUM_1
      sta MSNUM_1
      bcc SALTO
      inc MSNUM_2
SALTO txa
      add MSNUM_2
      sta MSNUM_2
      rts
;*****
;
;      INSERTAR SUBROUTINA DE GRADO DE MEMBRESÍA (anexo II)
;*****
;
;      INSERTAR SUBROUTINA DE MINIMO MAXIMO (retorna el max en Q1, el min en Q2) (anexo II)
;
;      INSERTAR SUBROUTINA DE REGLAS (anexo II)
;*****
;subrutinas varias
DALTO stx R0E
      JSR ENMASCAR_PTO
      lda #!F0
      and R0E
      nsa
      eor PTD
      sta PTD; ENVIA PARTE ALTA DEL PRIMER DATO
      JSR HAB_ERS
DBAJO JSR ENMASCAR_PTO
      lda #!0F
      and R0E

```

```

eor PTD
sta PTD ;ENVIA PARTE BAJA DEL PRIMER DATO
JSR HAB_ERS
RTS
ENMASCAR_PTO
lda #$F0
and PTD
sta PTD ; ENMASCARA LOS BITS MAS ALTOS DEL PTD
RTS
*****
HAB_ERS BRSET 1,C,DATO
bclr RS,PTA
JMP SIGUE
DATO bset RS,PTA
SIGUE JSR RETARDO
bset E,PTA
JSR RETARDO
bclr E,PTA
RTS
*****
SIGLO lda #$FF
dbnzx *
DEC TEMP
BHI SIGLO
RTS
*****
RETARDO lda #$FF
dbnzx *
rts
*****
temp_actual
MOV adr,CARACTER ;GUARDA EN VARIABLE EL DATO CONVERTIDO
LDA CARACTER
clrh
lda #!17 ;convierte el dato diviendole en 1.7 => 255/1.7= 150°C
div ;es el máximo valor medido por el sensor
lda #!10
mul
STA L_Byte
LDX H_Byte

```

```

PSHH
PULX
LDA #!10
MUL
PSHX
PULH
LDX #!17
DIV
add L_Byte
sta L_Byte
PSHH
PULX
LDA #!100
MUL
PSHX
PULH
LDX #!17
DIV
STA NUMERADOR
jsr B2_BCD
jsr BCDASC
ldx #%10000110 ;POSICION $02
BCLR 1,C
jsr DALTO
LDX BCDX100 ;MUESTRA CENTENAS
BSET 1,C
jsr DALTO
MOV #$4,TEMP
jsr SIGLO
LDX BCDX10 ;MUESTRA DECENAS
BSET 1,C
jsr DALTO
MOV #$4,TEMP
jsr SIGLO
LDX BCDX1 ;MUESTRA UNIDADES
BSET 1,C
jsr DALTO
MOV #$4,TEMP
jsr SIGLO
LDX #$2E ;

```

```

BSET 1,C
jsr DALTO
MOV #$2,TEMP
jsr SIGLO
mov NUMERADOR,L_Byte
clr H_Byte
jsr B2_BCD
jsr BCDASC
LDX BCDX10 ;MUESTRA DECIMAS
BSET 1,C
jsr DALTO
MOV #$4,TEMP
jsr SIGLO
LDX #$DD ;°
BSET 1,C
jsr DALTO
MOV #$4,TEMP
jsr SIGLO
LDX #$43 ;C
BSET 1,C
jsr DALTO
MOV #$4,TEMP
jsr SIGLO
    CLR H_Byte
    clrh
    LDA TECLA
    STA L_Byte
    jsr B2_BCD
    jsr BCDASC
    ldx #%11000000 ;POSICION $40
BCLR 1,C
jsr DALTO
LDX BCDX100 ;MUESTRA CENTENAS
BSET 1,C
jsr DALTO
MOV #$4,TEMP
jsr SIGLO
LDX BCDX10 ;MUESTRA DECENAS
BSET 1,C
jsr DALTO

```

```

MOV #$4,TEMP
jsr SIGLO
LDX BCDX1 ;MUESTRA UNIDADES
BSET 1,C
jsr DALTO
MOV #$FF,TEMP
jsr SIGLO
    CLR H_Byte
    LDA error_msb ;varerror_lsb
    STA L_Byte
    jsr B2_BCD
    jsr BCDASC
    ldx #%11000111 ;POSICION $48
BCLR 1,C
jsr DALTO
LDX BCDX100 ;MUESTRA CENTENAS
BSET 1,C
jsr DALTO
MOV #$4,TEMP
jsr SIGLO
LDX BCDX10 ;MUESTRA DECENAS
BSET 1,C
jsr DALTO
MOV #$4,TEMP
jsr SIGLO
LDX BCDX1 ;MUESTRA UNIDADES
BSET 1,C
jsr DALTO
MOV #$FF,TEMP
jsr SIGLO
LDX #$25 ;%
BSET 1,C
jsr DALTO
MOV #$FF,TEMP
jsr SIGLO
LDX #$45 ;E
BSET 1,C
jsr DALTO
MOV #$FF,TEMP
jsr SIGLO

```

```

MOV #$ff,TEMP ;*****RETARDOS PARA*****
Jsr SIGLO ;*****ESTABILIZACION DE TECLA*****
MOV #$ff,TEMP ;*****
Jsr SIGLO
MOV #$ff,TEMP
Jsr SIGLO
MOV #$ff,TEMP
Jsr SIGLO
MOV #$ff,TEMP
Jsr SIGLO
MOV #$ff,TEMP
Jsr SIGLO
MOV #$ff,TEMP
Jsr SIGLO
MOV #$ff,TEMP ;*****RETARDOS PARA*****
Jsr SIGLO ;*****ESTABILIZACION DE TECLA*****
MOV #$ff,TEMP ;*****
Jsr SIGLO
MOV #$ff,TEMP
Jsr SIGLO
MOV #$ff,TEMP
Jsr SIGLO
MOV #$ff,TEMP
Jsr SIGLO
MOV #$ff,TEMP
Jsr SIGLO
MOV #$ff,TEMP
Jsr SIGLO

```

rts

```

;--Binario A BCD
; Entrada: dosbytes de RAM; L_Byte, H_Byte
; Salida: tres bytes de RAM; R0, R1, R2
; Uso: poner el valor en L_Byte y H_Byte, llamar subrutina B2_BCD, resultado en
; R2 es el LSD y en R1 es MSD: (1er nibble R2) (unidades), (2do nibble R2)
; decenas,(1er nibble R1) centenas,(2do nibble R1) (miles)...
; para facilidad unidades en BCDX1 decenas en BCDX10, centenas en BCDX100
B2_BCD clc ;limpia bit acarreo
mov #!16,count ;contador a 16
clr R1

```

```

    clr R2
    clr R0
loop16 rol L_Byte
    rol H_Byte
    rol R2
    rol R1
    rol R0
    dbnz count,adjDEC
    lda #%00001111
    and R2
    sta BCDX1 ; variable almacena las unidades
    lda #%11110000
    and R2
    NSA
    sta BCDX10 ; variable almacena las decenas
    lda #%00001111
    and R1
    sta BCDX100 ; variable almacena las centenas
    RTS ;SALE
adjDEC LDA R2
    MOV R2,TEMP2
    jsr adjBCD
    mov temp2,R2
    LDA R1
    MOV R1,TEMP2
    jsr adjBCD
    mov temp2,R1
    LDA R0
    MOV R0,TEMP2
    jsr adjBCD
    mov temp2,R0
    jmp loop16
adjBCD add #13
    STA temp1
    brclr 3,temp1,Q
    mov TEMP1,temp2
Q LDA TEMP2
    add #$30
    STA temp1
    brclr 7,temp1,W

```

```

    mov temp1,temp2    ;salva como MSD
W   rts
;-----
; Rutina Bcdascii
; Convierte Los Dígitos En Bcd A Sus Correspondientes Caracteres ASCII
;-----
BCDASC    lda  #$30          ;ASCII = BCD + H'30'
          ADD  BCDX1        ;CONVERT BCDX1 TO ACSX1
          sta  BCDX1        ;CONVERT BCDX1 TO ACSX1
          lda  #$30          ;ASCII = BCD + H'30'
          ADD  BCDX10       ;CONVERT BCDX1 TO ACSX1
          sta  BCDX10       ;CONVERT BCDX1 TO ACSX1
          lda  #$30          ;ASCII = BCD + H'30'
          ADD  BCDX100      ;CONVERT BCDX1 TO ACSX1
          sta  BCDX100      ;CONVERT BCDX1 TO ACSX1;

    rts
*****
**RUTINA BCD A BINARIO*
*convierte un numero bcd de tres cifras almacenado en las
*variables uni(unidades), dec(decenas), cent (centenas)
*a un numero binario salida dos variables(bin_l,bin_h)*
*****
BCD-BIN   idx #!10
          lda dec
          mul
          add uni
          sta bin_l
          idx #!100
          lda cent
          mul
          add bin_l
          sta bin_l
          txa
          adc #0
          sta bin_h ;FIN DE RUTINA BCD-BIN
          RTS
*****RUTINA ASCCI A BINARIO*****
ASCC-BCD
          lda uni
          sub #$30

```

```

sta uni
lda dec
sub #\$30
sta dec
lda cent
sub #\$30
sta cent
RTS

```

TABLA

```

DB  \$33 ;3
DB  \$36 ;6
DB  \$39 ;9
DB  \$4E ;#

DB  \$41 ;
DB  \$46 ;
DB  \$38 ;8
DB  \$30 ;0

DB  \$31 ;1
DB  \$34 ;4
DB  \$37 ;7
DB  \$45 ;E

DB  \$32 ;2
DB  \$35 ;5
DB  \$43 ;
DB  \$4D ;

```

RUTINA DE ATENCION A INTERRUPCION DE TECLADO

```

TECLADO:  bset $1,KBSCR  ;imaskk =1
          ldhx #\$0
          MOV #\$10,TEMP  ;*****RETARDOS PARA*****
          JsR SIGLO      ;*****ESTABILIZACION DE TECLA*****
          mov #\$30,ddra ;puerto A Lsb lectura
          bclr E,porta
          mov porta,columna ;averigua columna
          mov #\$01,portd ;uno a rotar
          mov #\$00,PTAUE ;PULL UP puerto A Lsb desconectado

```

```

        mov #$FF,filas
LAZO_FILA
        mov porta,PA
        lda #$0f
        inc filas
        and Pa
        cbeqa #$0f,SALTO1
        asl portd
        bra LAZO_FILA
SALTO1
        sec
        ldx #$4
LAZO_COLUMNA
        decx
        asr columna
        bcc SALTO2
        bra LAZO_COLUMNA
SALTO2
        lda #$4
        mul
        add filas
        tax
        lda tabla,x
        sta caracter
;*****RUTINA SI YA SOLTO TECLA*****
        mov #$0F,PTAUE ;PULL UP puerto A Lsb desconectado
        MOV #$60,PORTD ;puerto D Lsb en cero
KEYREL  LDA  PORTA
        AND  #$0F
        CBEQA  #$0F,REVISA
        JMP  KEYREL
REVISA  BRCLR 5,caracter,DECIDE
        LDA  BUFFER
        cmp  #$3
        bhs  SALE
        ldx  vram
        mov  caracter,x+
        stx  vram
        jsr  saca_caracter
        INC  BUFFER ;VARIABLE PARA SABER SI YA ESTAN LOS 3 NUMEROS

```

```

        JMP SALE
DECIDE  LDA caracter
        CBEQA #$4E,A2
        JMP ACEPTAR
;*****RUTINA BORRA DATO*****
A2     LDA BUFFER
        CBEQA #$00,SALE
        ldx #%10000    ;DESPLAZA CURSOR IZQ
        BCLR 1,C
        jsr DALTO
        MOV #$ff,TEMP
        Jsr SIGLO
        ldx #$20      ;BORRA DATO EN LA POSICION DEL CURSOR
        BSET 1,C
        jsr DALTO
        MOV #$ff,TEMP
        Jsr SIGLO
        ldx #%10000    ;DESPLAZA CURSOR IZQ
        BCLR 1,C
        jsr DALTO
        MOV #$ff,TEMP
        Jsr SIGLO
        DEC vram
        DEC BUFFER
        JMP SALE
ACEPTAR LDA BUFFER
        cmp #$3
        bhs A1
        JMP SALE
A1     BSET 0,yes
        NOP
        jmp fin_tecl
SALE
        MOV #$ff,TEMP ;*****RETARDOS PARA*****
        Jsr SIGLO ;*****ESTABILIZACION DE TECLA*****
        MOV #$ff,TEMP ;*****
        Jsr SIGLO
        MOV #$ff,TEMP
        Jsr SIGLO
        MOV #$ff,TEMP

```

```

    Jsr SIGLO
    MOV #ff,TEMP
    Jsr SIGLO
    MOV #ff,TEMP
    Jsr SIGLO
    MOV #ff,TEMP
    Jsr SIGLO
    bset $1,KBSCR      ;imaskk =1
    mov #$0F,KBIER    ;habilita cada una columnas pta0-pta3
    bset $2,KBSCR     ;ACKK=1 limpia cualquier falsa interrupción
    mov #%00000001,KBSCR ;imaskk =0
    cli
fin_tecl MOV #$40,PORTD ;puerto D Lsb en cero
    bclr E,porta
    rti
*****
saca_caracter
    LDX caracter
    BSET 1,C
    jsr DALTO
    mov #$FF,R0D
RETA2 jsr RETARDO
    dbnz R0D,RETA2
    RTS
*****
dummy_isr:
    rti ; retorno
org Vector
    dw INTER_CONVERSION ; ADC
    dw TECLADO ; vector teclado
    dw dummy_isr ; (No Vector Asignado $FFE2-$FFE3)
    dw dummy_isr ; (No Vector Asignado $FFE4-$FFE5)
    dw dummy_isr ; (No Vector Asignado $FFE6-$FFE7)
    dw dummy_isr ; (No Vector Asignado $FFE8-$FFE9)
    dw dummy_isr ; (No Vector Asignado $FFEA-$FFEB)
    dw dummy_isr ; (No Vector Asignado $FFEC-$FFED)
    dw dummy_isr ; (No Vector Asignado $FFEE-$FFEF)
    dw dummy_isr ; (No Vector Asignado $FFF0-$FFF1)
    dw dummy_isr ; TIM1 Overflow Vector
    dw dummy_isr ; TIM1 Channel 1 Vector

```

```
dw dummy_isr ; TIM1 Channel 0 Vector
dw dummy_isr ; (No Vector Asignado $FFF8-$FFF9)
dw Pwm       ; ~IRQ1
dw dummy_isr ; SWI Vector
dw main      ; Reset Vector
```

8.19.

IV.2. MICROCONTROLADOR PIC 16F873.

Este programa realiza control Fuzzy de la aplicación utilizando solo el microcontrolador

Las rutinas utilizadas por Fuzzye3t se encuentran en el anexo II.

```
;***PROGRAMA DE CONTROL FUZZY PARA LA TARJETA DE APLICACIÓN CON PIC16F873 ***
```

```
; UTILIZA EL FC fuzzypic_+-16°_21.fc)
```

```
LIST P=16f873
```

```
INCLUDE "P16F873.INC"
```

```
cblock 0x20
```

```
*****
```

```
Insertar variables utilizadas por fuzzye3t (anexo II)
```

```
*****
```

```
SERIALA
```

```
ADQ_N
```

```
WORK
```

```
CONVER_1
```

```
CONVER_2
```

```
TEC_lsb
```

```
TEC_msb
```

```
caracter
```

```
columna
```

```
fila
```

```
val_col
```

```
val_fil
```

```
R0C
```

```
R0E
```

```
W1
```

```
temp
```

```
BUFFER
```

```
yes
```

```
vram
```

```
bin_l
```

```
bin_h
```

```
R1
```

```
R2 ;BCD salida Binario->BCD
```

```
count
```

```
temp1
```

```
temp2
```

```
BCDX100 ;CENTENAS
```

```

BCDX10    ;DECENAS
BCDX1     ;UNIDADES
BCDX0     ;DECIMAS DE GRADO
BCDX01    ;CENTESIMAS
BCDX001   ;MILESIMAS DE GRADO
NUMERADOR
MSNUM_4   ;MULTIPLICACION 16*16=32
ACCdHH
ACCdHL
ACCdLL
RestoHH
RestoHL
RestoLL
PWMSLB
PWMSB
error2
p
ERRORLCD
REFRESCO ;VARIABLE REFERSCO LCD
    endc
;*****
    ORG 0x00
    goto INICIO
    ORG 0x04
    goto INTER
;*****
VERTICES
;Insertar aquí tabla de vértices (anexo ii)
TABLA_TEC ADDWF 2,1
    RETLW 0x33
    RETLW 0x36
    RETLW 0x39
    RETLW 0x4E
    RETLW 0x41
    RETLW 0x46
    RETLW 0x38
    RETLW 0x30
    RETLW 0x31
    RETLW 0x34
    RETLW 0x37

```

```

RETLW 0x45
RETLW 0x32
RETLW 0x35
RETLW 0x43
RETLW 0x4D
;*****
TABLA_LCD ADDWF 2,1
    RETLW " "
    RETLW "T"
    RETLW "E"
    RETLW "M"
    RETLW "P"
    RETLW "E"
    RETLW "R"
    RETLW "A"
    RETLW "T"
    RETLW "U"
    RETLW "R"
    RETLW "A"
    RETLW " "
    RETLW "U"
    RETLW "C"
    RETLW " "
;=====
TABLA_LCD1 ADDWF 2,1
    RETLW " "
    RETLW "C"
    RETLW "O"
    RETLW "N"
    RETLW "T"
    RETLW "R"
    RETLW "O"
    RETLW "L"
    RETLW " "
    RETLW "D"
    RETLW "I"
    RETLW "F"
    RETLW "U"
    RETLW "S"
    RETLW "O"

```

```

RETLW " "
RETLW "M"
RETLW "I"
RETLW "C"
RETLW "R"
RETLW "O"
RETLW "C"
RETLW "O"
RETLW "N"
RETLW "T"
RETLW "R"
RETLW "O"
RETLW "L"
RETLW "A"
RETLW "D"
RETLW "O"
RETLW " "
RETLW " "

```

```

;*****INICIO DE RUTINAS FUZZY*****

```

```

; ** INSERTAR AQUÍ SUBRUTINAS: REGLAS, MEMBR, COMP@, MINMAX, REST@, (anexo II)

```

```

; ** INSERTAR AQUÍ : SUM@I, MULSUM@S (anexo II)

```

```

;*****FIN DE RUTINAS FUZZY*****

```

```

DIV@

```

```

    movlw .24
    movwf INDIC@
    clrf  DNUMDEN_2
    clrf  DNUMDEN_1
    clrf  REST_3
    clrf  REST_2
    clrf  REST_1
    clrf  SDEN_3

```

```

DLAZO

```

```

    bcf   STATUS,C
    rlf   MSNUM_1,1
    rlf   MSNUM_2,1
    rlf   MSNUM_3,1
    rlf   REST_1,1
    rlf   REST_2,1
    rlf   REST_3,1
    movf  SDEN_3,0

```

```

    subwf  REST_3,0
    btfss  STATUS,2
    goto   PAS@1
    movf   SDEN_2,0
    subwf  REST_2,0
    btfss  STATUS,2
    goto   PAS@1
    movf   SDEN_1,0
    subwf  REST_1,0
PAS@1
    btfss  STATUS,0
    goto   PAS@2
    movf   SDEN_1,0
    subwf  REST_1,1
    btfss  STATUS,0
    decf   REST_2,1
    movf   SDEN_2,0
    subwf  REST_2,1
    btfss  STATUS,0
    decf   REST_3,1
    movf   SDEN_3,0
    subwf  REST_3,1
    bsf    STATUS,0
PAS@2
    rlf    DNUMDEN_1,1
    rlf    DNUMDEN_2,1
    decfsz INDIC@,1
    goto   DLAZO
    return
;*****
;**RUTINAS ESCRITURA LCD**
;*****
RETAR  movlw 0xFF ;RUTINA DE RETARDOS NECESARIOS
      movwf temp
DECRE  decfsz temp,1
      goto  DECRE
      return
CONTROL bcf  PORTA,2 ;RUTINA GENERA LAS SEÑALES DE CONTROL PARA ESCRIBIR EN EL LCD
      goto DATO2
DATO   bsf  PORTA,2

```

```

DATO2  bcf  PORTA,5
        movwf R0E
        movwf W1
        SWAPF W1,1
        RLF  W1,0
        andlw 0x0E  ;GARANTIZA QUE LOS BITS 7-4 Y 0 PTB SEAN CERO
        MOVWF PORTB  ;SACA PARTE ALTA DEL RESULTADO
        BTFSC R0E,7
        GOTO  S1
        BCF  PORTA,4
        GOTO  ACTIVA1
S1      BSF  PORTA,4
ACTIVA1 call  RETAR
        BSF  PORTA,5
        call  RETAR
        call  RETAR
        BCF  PORTA,5
        RLF  R0E,0
        andlw 0EH  ;GARANTIZA QUE LOS BITS 7-4Y0 PTB SEAN CERO
        MOVWF PORTB  ;SACA PARTE BAJA DEL RESULTADO
        BTFSC R0E,3
        GOTO  S2
        BCF  PORTA,4
        GOTO  ACTIVA2
S2      BSF  PORTA,4
ACTIVA2 call  RETAR
        BSF  PORTA,5
        call  RETAR
        call  RETAR
        BCF  PORTA,5
        RETURN
SIGLO  movlw 0X20  ;RETARDO ENTRE CARACTERES
        movwf temp2
RETA1  call  RETAR
        decfsz temp2,1
        GOTO  RETA1
        RETURN
;*****
;Esta Subrutina, Espera Hasta Que Todas Las Teclas Sean Soltadas
;Espera Mediante Un Sleep

```

KeyRelease

```
call delay16      ;
comf  PORTB,W     ;LEE PORTB
bcf  INTCON,RBIF ;LIMPIA BANDERA INT TECLADO
bsf  INTCON,RBIE ;HABILITA INT TECLADO
andlw B'11110000' ;LIMPIA LAS SALIDAS
btfsc STATUS,2   ;TECLA SIGUE PRESIONADA?
return           ;no ENTONCES RETORNA
sleep           ;DE LO CONTRARIO ESPERA
bcf  INTCON,RBIE ;DESPIERTA
comf  PORTB,W
bcf  INTCON,RBIF ;LIMPIA BANDERA
goto  KeyRelease ;INTENTA OTRA VEZ
;*****
;delay16 espera 16.4mSecs usando interrupción TMR0
delay16
    bsf  STATUS,RP0 ;pagina 1
    movlw B'00000111' ;fosc/256 --> TMR0
    movwf OPTION_REG ; /
    bcf  STATUS,RP0 ;pagina 0
    clrf TMR0
    bcf  INTCON,T0IF ;LIMPIA BANDERA
    bsf  INTCON,T0IE ;HABILITA INT
CheckAgain
    btfss INTCON,T0IF ;TIMER SE DESBORDA?
    goto CheckAgain ;REVISA DE NUEVO
    bcf  INTCON,T0IE
    bcf  INTCON,T0IF ;LIMPIA BANDERA
    return
;*****
;delay16 espera 56.4mSecs usando interrupción TMR0
delay56
    bsf  STATUS,RP0 ;PAGINA 1
    movlw B'00000111' ;fosc/256 --> TMR0
    movwf OPTION_REG ; /
    bcf  STATUS,RP0 ;PAGINA 0
    clrf TMR0
    bcf  INTCON,T0IF ;LIMPIA BANDERA
    bsf  INTCON,T0IE ;HABILITA INT
OTRAVEZ
```

```

    btfss INTCON,T0IF    ;TIMER SE DESBORDA?
    goto  OTRAVEZ    ;REVISA DE NUEVO
    bcf  INTCON,T0IF    ;LIMPIA BANDERA
    return

;*****
;*RUTINA DE INICIALIZACION DE LCD*
LCD_INIT movlw b'00000010' ;LIMPIA HOME OJO DE SER CLEAR #%01
    call CONTROL
    movlw 28H    ;BUS DE DATOS (4 BITS) (2 LINEA EN PANTALLA) TAMAÑO CARACTER 5*7
    call CONTROL
    movlw 0CH    ; PANTALLA ACTIVA Y CURSOR NO PARPADEA
    call CONTROL
    CLRF PORTB
    RETURN

;*****MULTIPLICACION 16*16 DOS NUMEROS SIN SIGNO*****
;*MULTIPLICA (Q1*Q2)=MSNUM(3(msb),2(msb),1(lsb))*****
M_MSNUM clrf MSNUM_3
    clrf MSNUM_2
    clrf MSNUM_1
    clrf MSNUM_4
    movlw .24
    movwf INDIC@
MLAZO_A
    bcf STATUS,0
    rlf MSNUM_4,1
    rlf MSNUM_1,1
    rlf MSNUM_2,1
    rlf MSNUM_3,1
    bcf STATUS,0
    rlf Q2_lsb,1
    rlf Q2_msb,1
    btfss STATUS,0
    goto NSUM@_A
    movf Q1_lsb,0
    addwf MSNUM_4,1
    btfsc STATUS,0
    incf MSNUM_1,1
    movf Q1_msb,0
    addwf MSNUM_1,1
    btfsc STATUS,0

```

```

        incf MSNUM_2,1
NSUM@_A
        decfsz INDIC@,1
        goto MLAZO_A
        return
;*****
;*****DIVISION 24BITS(MSNUM/Q2=MSNUM)      ***
Dividir
        movlw .24                ;para 24 desplazamientos
        movwf temp
        movf MSNUM_3,W           ;lleva Dividendo al temporal ACCd
        movwf ACCdHH
        movf MSNUM_2,W
        movwf ACCdHL
        movf MSNUM_1,W
        movwf ACCdLL
        clrf MSNUM_3
        clrf MSNUM_2
        clrf MSNUM_1
        clrf RestoHH
        clrf RestoHL
        clrf RestoLL
lazo
        bcf STATUS,C
        rlf ACCdLL,F
        rlf ACCdHL,F
        rlf ACCdHH,F
        rlf RestoLL,F
        rlf RestoHL,F
        rlf RestoHH,F
        movf Q2_msb,W
        subwf RestoHL,W           ;comprueba si Divisor>Resto
        btfss STATUS,Z
        goto Nochk
        movf Q2_lsb,W
        subwf RestoLL,W           ;si msb es igual comprobar lsb
Nochk
        btfss STATUS,C           ;carry a uno si Resto>Divisor
        goto Nogo
        movf Q2_lsb,W           ;Resto-Divisor a Resto

```

```

    subwf  RestoLL,F
    btfss  STATUS,C
    decf   RestoHL,F
    movf   Q2_msb,W
    subwf  RestoHL,F
    bsf    STATUS,C           ; 1 es Resultado(MSNUM)
Nogo
    rlf    MSNUM_1,F
    rlf    MSNUM_2,F
    rlf    MSNUM_3,F
    decfsz temp,F           ;loop
    goto   lazo
    return
;*****
;*****CONVERSION BIN(16BITS) A 3 DIGITOS BCD *****
;*****ENTRA MSNUM_2(MSB),MSNUM_1(LSB),SALE R1(MSB),R2(LSB)***
Bin_BCD  BCF    STATUS,C
         MOVLW  0X10
         MOVWF  count
         CLRF   R2
         CLRF   R1
LOOP_16  RLF    MSNUM_1,1
         RLF    MSNUM_2,1
         RLF    R2,1
         RLF    R1,1
         DECFSZ count,1
         GOTO   AJUSTE
         RETURN
AJUSTE  MOVF   R2,0
         MOVWF  temp2
         CALL   AJUSTE_BCD
         MOVF   temp2,0
         MOVWF  R2
         MOVF   R1,0
         MOVWF  temp2
         CALL   AJUSTE_BCD
         MOVF   temp2,0
         MOVWF  R1
         GOTO   LOOP_16
AJUSTE_BCD ADDLW  0X03

```

```

MOVWF temp
BTFSC temp,3
GOTO Q1
GOTO Q2
Q1 MOVF temp,0
MOVWF temp2
Q2 MOVF temp2,0
ADDLW 0X30
MOVWF temp
BTFSC temp,7
goto Q3
GOTO Q4
Q3 MOVF temp,0
MOVWF temp2
Q4 RETURN
;*****
;*****CONVERSION 3 DIGITOS BCD A BIN (16BITS) *****
;****ENTRA Q2(MSB),Q2(LSB),BCDX1,BCDX100; SALE R1(MSB),R2(LSB)*
BCD_BIN BCF STATUS,C
movlw 0x0a ;diez decimal
movwf Q1_lsb
clrf Q1_msb
call M_MSNUM ;MULTIPLCA DECIMAL POR 10
MOVF MSNUM_1,0
ADDWF BCDX1,0 ;SUMA UNIDADES
MOVWF R2
MOVLW 0X64 ;CARGA PARTE BAJA DEL NUMERO 100 DECIMAL
MOVWF Q1_lsb
CLRF Q1_msb ;CARGA PARTE ALTA DEL NUMERO 100 DECIMAL
MOVF BCDX100,0
MOVWF Q2_lsb
CLRF Q2_msb
call M_MSNUM ;MULTIPLCA DECIMAL POR 10
MOVF MSNUM_1,0
ADDWF R2,1
MOVF STATUS,0 ;averigua valor de carry
ANDLW 0X01 ;enmascara
ADDWF MSNUM_2,0
MOVWF R1
return ; BCD a binario conversión

```



```

LAZO_FIL MOVF PORTB,0
        andlw B'11110000' ;ENMASCARA LAS SALIDAS
        addlw 0x0f
        bcf STATUS,2
        xorlw 0xff
        btfss STATUS,2
        goto SALE
        bsf PORTA,4
        decf val_fil,1
        movf temp,0
        movwf PORTB
        movlw 0x03
        addwf temp,1
        goto LAZO_FIL
SALE
        movf val_col,0
        addwf val_col,0
        addwf val_col,0
        addwf val_col,0
        addwf val_fil,0
        call TABLA_TEC
        movwf caracter
        CLRF PORTA
        CLRF PORTB
        BTFSS caracter,5
        GOTO DECIDE
        MOVF BUFFER,0
        XORLW 0X03
        BTFSS STATUS,2
        GOTO GUARDA
        clrf PORTB
        bcf PORTA,4
        BCF PORTA,5
        call KeyRelease ;REVISA SI SOLTO TECLA
        BCF INTCON,RBIE ;DESHABILITA INT TECLADO
        GOTO FINT
GUARDA movf vram,0
        movwf FSR
        bcf STATUS,7
        MOVF caracter,0

```

```

MOVWF INDF
    call KeyRelease ;REVISAS I SOLTO TECLA
    BCF INTCON,RBIE ;DESHABILITA INT TECLADO
INCF BUFFER,1
INCF vram,1 ;incrementa variable para guardar datos
MOVF caracter,0 ;MUESTRA CARACTER EN LCD
call DATO
clrf PORTB
bcf PORTA,4
BCF PORTA,5
goto FINT
DECIDE
    call KeyRelease ;REVISAS I SOLTO TECLA
    BCF INTCON,RBIE ;DESHABILITA INT TECLADO
    movf caracter,0
    XORLW 0X4E
    BTFSS STATUS,2
    GOTO ACEPTAR
    MOVF BUFFER,0
    XORLW 0X00
    BTFSC STATUS,2
    GOTO FINT
    movlw b'10000' ;DEPLAZA CURSOR 1 PUESTO A LA IZQUIERDA
    call CONTROL
    movlw b'100000' ;BORRA DATO EN LA POSICION DEL CURSOR
    call DATO
    movlw b'10000' ;DEPLAZA CURSOR 1 PUESTO A LA IZQUIERDA
    call CONTROL ;CARACTER ESPACIO
    clrf PORTB ;FILAS DE TECLADO A CERO
    bcf PORTA,4 ;FILAS DE TECLADO A CERO
    bcf PORTA,5 ;FILAS DE TECLADO A CERO
    DECF BUFFER,1
    DECF vram,1
    GOTO FINT
ACEPTAR MOVF BUFFER,0
    XORLW 0X03
    BTFSS STATUS,2
    GOTO FINT
    BSF yes,0
    clrf PORTB ;FILAS DE TECLADO A CERO

```

```

    bcf  PORTA,4   ;FILAS DE TECLADO A CERO
    bcf  PORTA,5   ;FILAS DE TECLADO A CERO
    GOTO EXIT1
;*****
COMPAR
    BCF  T1CON,0   ;APAGA TIMER 1
    CLRF CCP2CON
    BCF  PORTC,1
    clrf TMR1L
    clrf TMR1H
    MOVF PWMLSB,0
    MOVWF CCPR2L
    MOVF PWMMSB,0
    MOVWF CCPR2H
    BCF  PIR2,0   ;limpia bandera señalizacion int comparación
    MOVLW 0X08   ;MODULO CP2 EN MODO COMPARACION ACTIVA
    MOVWF CCP2CON ;PIN RC1 CUANDO COINCIDEN VALORES TMR1 Y CCPR2H
    BSF  STATUS,RP0 ;BANCO 1
    BSF  PIE2,0   ;HABILITA INTERUPCION COMPARACION
    BCF  STATUS,RP0 ;BANCO 0
    GOTO EXIT1
;*****
TIMER2
    bcf  INTCON,T0IE ;limpia mascara
    GOTO EXIT1
;*****
CRUCE0 MOVLW 0X08   ;MODULO CP2 EN MODO COMPARACION ACTIVA PIN RC1
    MOVWF CCP2CON ;CUANDO COINCIDEN VALORES TMR1 Y CCPR2H-L
    BSF  T1CON,0   ;HABILITA CONTADOR TMR1
    BSF  yes,0
    BCF  PIR2,0   ;LIMPIA BANDERA
    BSF  STATUS,RP0 ;BANCO 1
    BSF  PIE2,0   ;HABILITA INTERUPCION COMPARACION
    BCF  STATUS,RP0 ;BANCO 0
    bcf  INTCON,INTF ;limpia bandera señalizacion interrupción externa
    GOTO EXIT1
;*****
FINT
    bcf  INTCON,RBIF ;LIMPIA BANDERA INT TECLADO
    bsf  INTCON,RBIE ;HABILITA INT TECLADO

```

```

EXIT1
    movf  WORK,0
    retfie    ;retorna
;*****
INICIO  clrwdt    ;refresca el perro guardián
;*****
;se entra al modo de configuración del PIC
    bsf   STATUS,RP0    ;Cambia al banco 1
    bcf   STATUS,RP1    ;RP0=1 y RP1=0
;*****
;puerto A como ENTRADA ANALOGICA AL CONVERTOR
    movlw b'10001110'   ;BIT7=1 JUST DERECHA, RA0 entrada conversor
    movwf ADCON1
    BCF   STATUS,RP0    ;Cambia al banco 0
    movlw b'10000001'   ;frec/32, canal 0 ,activa conversor pero
    movwf ADCON0        ; no inicia conversion
    bsf   STATUS,RP0    ;Cambia al banco 1
    movlw b'00000011'   ;RA0 entrada A/D,RA1(setpoint), RA RESTANTES salida
    movwf TRISA
;*****
;puerto C
;se programa la comunicación serial
    movlw b'10000000'   ;RC7/RX como entrada y RC6/TX como salida
    movwf TRISC        ;RC0-5 como salidas RC1 (PWM)
;*****
;puerto B como entrada
    movlw b'11110001'   ;RB7-4 entrada(teclado),RB3-RB1 salida(teclado),
    movwf TRISB        ;RB0 entrada(cruce0)

    movlw b'01000000'
    movwf OPTION_REG
    clrf  PIE1
;*****
;CONFIGURACION DE A/D:se realizo en configuración pta
;CONFIGURACION DE option: se realizo en configuración ptb
;*****
;*CONFIGURACION DEL PWM ccp2-pin RC1;ccp1-pin rc2*
;*PARA GENERAR EL PWM SE UTILIZA EL TIMER 1 EN MODO COMPARACION*
;SE CARGA EN LOS REGISTROS CCPR2H-L EL CONTENIDO DEL TIEMPO OFF*
;LUEGO DE ESTE TIEMPO EL PIN RC1 PASA A ON (ANCHO DE PULSO)*
;CCPR2H-L=(8.33mS-ANCHO DE PULSO)

```

```

BCF STATUS,RP0 ;Cambia al banco 0
    clrf PORTA ;pone todos los bits del puerto A en 0
    clrf PORTB ;pone todos los bits del puerto B a 0
    clrf PORTC ;pone todos los bits del puerto C a 0
    clrf T1CON ;APAGA TIMER 1
MOVLW 0X08 ;MODULO CP2 EN MODO COMPARACION ACTIVA
MOVWF CCP2CON ;PIN RC1 CUANDO COINCIDEN VALORES TMR1 Y CCP2H-L
clrf TMR1L
clrf TMR1H
    movlw 0X52 ;ILUMINACION CERO TIEMPO OFF(8.3mS)
    movwf CCP2L
    movlw 0X14 ;ILUMINACION CERO TIEMPO OFF(8.3mS)
    movwf CCP2H
bcf PIR2,0
;*****
    clrf PORTA ;pone todos los bits del puerto A en 0
    clrf PORTB ;pone todos los bits del puerto B a 0
    clrf PORTC ;pone todos los bits del puerto C a 0
    call delay56
    call delay56
    call delay56
    call delay56
;*****
    call LCD_INIT
;inicialización de variables
VUELVE movlw .1
    movwf SERIALA
    clrf ADQ_N
    clrf BUFFER
MOVLW BCDX100 ;DIRECCIONAMIENTO INDIRECTO
MOVWF vram ;GUARDA CENT,DECE,UNID
    bcf INTCON,RBIE ;deshabilita mascara
    movf PORTB,W ;lee puerto
    bcf INTCON,RBIF ;limpia bandera
;*****
;*MUESTRA MENSAJE CONTROL DIFUSO****
    movlw 01H ;BORRA DISPLAY
    call CONTROL
MUESTRA clrf R0C ;INICIA CONTADOR DE TABLA
CICLO movf R0C,W ;HACE BARRIDO DE TABLA

```

```

call TABLA_LCD1
call DATO

incf R0C,1
movlw 0FH
XORWF R0C,W ;PREGUNTA POR FIN DE LECTURA DE TABLA
btfss STATUS,Z
GOTO CICLO
    movlw 0XC6 ;POSICION DEL CURSOR 6 RENGLON 2 DISPLAY
call CONTROL
;*****
clrf PORTB
bcf PORTA,4
    movlw b'10001000' ;habilitación todas las interrupciones, bit3 int teclado
    movwf INTCON ;bit4 intr ext desactivada
CLRF yes
;*****
;El siguiente es el lazo en el que se quedara el PIC normalmente
;en caso de no entrar y aceptar el dato de temperatura
LEER
    NOP
    BTFSS yes,0
    GOTO LEER
;CONVIERTE EL DATO DE ASCCI A BCD
    movlw 0x30
    subwf BCDX100,1 ;CENTENAS
    subwf BCDX1,1 ;UNIDADES
    subwf BCDX10,0 ;DECENAS
    movwf BCDX10
    MOVWF Q2_lsb
    CLRF Q2_msb
;CONVIERTE EL DATO DE BCD A BINARIO
    call BCD_BIN
;*****LIMITA EL DATO (R2) ENTRE 0 Y 150°C*****
    movf R1,0
    andlw 0xff
    BTFSS STATUS,2
    GOTO VUELVE
    movf R2,0
    SUBLW 0X96

```

```

    BTFSS STATUS,0
    GOTO VUELVE
    bsf STATUS,RP0 ;Selecciona el banco 1
    movlw b'11000000' ; DESABILITA RESISTENCIAS PULL PUERTO B
        movwf OPTION_REG
    bcf STATUS,RP0 ;Selecciona el banco 0
;CONVIERTE EL DATO DEL TECLADO A FORMATO 0-1023([Q2_lsb]*1023/150)
    movf R2,0
    MOVWF Q2_lsb
    CLRF Q2_msb
    MOVLW 0X03
    MOVWF Q1_msb
    MOVLW 0XFF
    MOVWF Q1_lsb
        CALL M_MSNUM ;MULTIPLICA DATOA(16)*DATOB(16)
        MOVLW 0X96 ;CARGA PARTE BAJA DEL DIVISOR (150DECIMAL)
        MOVWF Q2_lsb
    CLRF Q2_msb ;CARGA PARTE Alta DEL DIVISOR (150 DECIMAL)
    CALL Dividir ;divide el dato entre el #150 (RESULTADO EN MSNUM)
    MOVF MSNUM_1,0
    MOVWF TEC_lsb
    MOVWF Q1_lsb
    MOVF MSNUM_2,0
    MOVWF TEC_msb
    MOVWF Q1_msb
        movlw 01H ;BORRA DISPLAY
    call CONTROL
;*****INICIO CONVERSION*****
;*****REALIZA CUATRO AQUISICIONES Y TOMA EL PROMEDIO DE ESTAS ***
BIG_LOOP BCF PIR1,ADIF ;LIMPIA BANDERA FIN DE CONVERSION
        BSF ADCON0,GO ;INICIA CONVERSION
ESPERA BTFSS PIR1,ADIF ; espera fin de conversion(6.4uS*12Tad=76.8uS)
        GOTO ESPERA
        bsf STATUS,RP0 ;Selecciona el banco 1
            movf ADRESL,0 ;LEE dato LSB de conversion UBICADO BANCO 1
        bcf STATUS,RP0 ;Selecciona el banco 0
        MOVWF Q1_lsb
        movf ADRESH,0 ;LEE dato MSB de conversion UBICADO BANCO 0
        MOVWF Q1_msb
        clrf SDEN_2

```

```

    clrf SDEN_1
    CALL SUM@I
;////////////////////////////////////
    BCF PIR1,ADIF ;LIMPIA BANDERA FIN DE CONVERSION
    BSF ADCON0,GO ;INICIA CONVERSION
ESPERA1 BTFSS PIR1,ADIF ; espera fin de conversion(6.4uS*12Tad=76.8uS)
    GOTO ESPERA1
    bsf STATUS,RP0 ;Selecciona el banco 1
        movf ADRESL,0 ;LEE dato LSB de conversion UBICADO BANCO 1
    bcf STATUS,RP0 ;Selecciona el banco 0
    MOVWF Q1_lsb
    movf ADRESH,0 ;LEE dato MSB de conversion UBICADO BANCO 0
    MOVWF Q1_msb
    CALL SUM@I
;////////////////////////////////////
    BCF PIR1,ADIF ;LIMPIA BANDERA FIN DE CONVERSION
    BSF ADCON0,GO ;INICIA CONVERSION
ESPERA2 BTFSS PIR1,ADIF ; espera fin de conversion(6.4uS*12Tad=76.8uS)
    GOTO ESPERA2
    bsf STATUS,RP0 ;Selecciona el banco 1
        movf ADRESL,0 ;LEE dato LSB de conversion UBICADO BANCO 1
    bcf STATUS,RP0 ;Selecciona el banco 0
    MOVWF Q1_lsb
    movf ADRESH,0 ;LEE dato MSB de conversion UBICADO BANCO 0
    MOVWF Q1_msb
    CALL SUM@I
;////////////////////////////////////
    BCF PIR1,ADIF ;LIMPIA BANDERA FIN DE CONVERSION
    BSF ADCON0,GO ;INICIA CONVERSION
ESPERA3 BTFSS PIR1,ADIF ; espera fin de conversion(6.4uS*12Tad=76.8uS)
    GOTO ESPERA3
    bsf STATUS,RP0 ;Selecciona el banco 1
        movf ADRESL,0 ;LEE dato LSB de conversion UBICADO BANCO 1
    bcf STATUS,RP0 ;Selecciona el banco 0
    MOVWF Q1_lsb
    movf ADRESH,0 ;LEE dato MSB de conversion UBICADO BANCO 0
    MOVWF Q1_msb
    CALL SUM@I
;////////////////////////////////////CALCULA EL PROMEDIO //////////////////////////////////////
    movf SDEN_2,0

```

```

MOVWF MSNUM_2
movf SDEN_1,0
MOVWF MSNUM_1
CLRF MSNUM_3
MOVLW 0X04 ;CARGA PARTE BAJA DEL DIVISOR (682 DECIMAL)
    MOVWF Q2_lsb
    MOVLW 0X00 ;CARGA PARTE BAJA DEL DIVISOR (682 DECIMAL)
MOVWF Q2_msb
CALL Dividir
movf MSNUM_2,0
MOVWF Q2_msb
MOVWF CONVER_2 ;GUARDA EL PROMEDIO DE LAS ADQUISICIONES
movf MSNUM_1,0
MOVWF Q2_lsb
MOVWF CONVER_1 ;GUARDA EL PROMEDIO DE LAS ADQUISICIONES
,*****ERROR*****
MOVF TEC_lsb,0
MOVWF Q2_lsb
MOVF TEC_msb,0
MOVWF Q2_msb
call COMP@
MOVWF p
btfsc p,0 ;SALTA SI TEMP CONVERSOR ES <= QUE TECLADO
goto NOFUZZY
MOVF CONVER_1,0
subwf TEC_lsb,0
MOVWF ERRORLCD
MOVWF Q1_lsb
clrf Q1_msb
clrf Q2_msb
MOVLW 0X0B
MOVWF Q2_lsb
call COMP@
MOVWF p
btfsc p,0
goto PRENDE
MOVLW 0X40
MOVWF Q2_lsb
clrf Q2_msb
CALL M_MSNUM

```

```

    btfsc MSNUM_2,2
    goto PRENDE
    MOVF MSNUM_1,0
    MOVWF error_lsb
    MOVF MSNUM_2,0
    MOVWF error_msb
;*****
; **AJUSTAMOS EL DATO DEL CONVERTOR AL TIPO DE SENSOR 150° MAXIMO*
;CONVIERTE EL DATO DEL CONVERTOR A FORMATO 0-150([Q2_lsb]*150/1023)
    CLRF Q1_msb
    MOVLW 0X96
    MOVWF Q1_lsb
        CALL M_MSNUM ;MULTIPLICA DATOA(16)*DATOB(16)
            MOVLW 0XFF ;CARGA PARTE BAJA DEL DIVISOR (150DECIMAL)
            MOVWF Q2_lsb
    MOVLW 0X03
    MOVWF Q2_msb ;CARGA PARTE Alta DEL DIVISOR (150 DECIMAL)
    CALL Dividir ;divide el dato entre el #150 (RESULTADO EN MSNUM)
    MOVF MSNUM_1,0
    MOVWF CONVER_1
    MOVWF Q1_lsb
    MOVF MSNUM_2,0
    MOVWF CONVER_2
    MOVWF Q1_msb
;*** VARERROR=(TEMP ACTUAL)-(TEMP ANTERIOR)*****
    MOVF CONVER_1,0
    MOVWF Q1_lsb
    MOVF CONVER_2,0
    MOVWF Q1_msb
    MOVF error2,0
    MOVWF Q2_lsb
    CLRF Q2_msb
    call COMP@
    MOVWF p
    btfss p,1
    GOTO VARMAYOR ;01
    MOVF CONVER_1,0
    subwf error2,0
    sublw 0X08
    MOVWF Q1_lsb

```

```

    MOVLW 0X40
    MOVWF Q2_lsb
    CLRF Q1_msb
    CLRF Q2_msb
    CALL M_MSNUM
    MOVF MSNUM_1,0
    MOVWF varerror_lsb
    MOVF MSNUM_2,0
    MOVWF varerror_msb
    GOTO FUZZ
VARMAYOR
    MOVF error2,0
    subwf CONVER_1,0
    MOVWF Q1_lsb
    CLRF Q1_msb
    CLRF Q2_msb
    MOVLW 0X08
    MOVWF Q2_lsb
    call COMP@
    MOVWF p
    btfsc p,0
    goto NOFUZZY ;01
    MOVF Q1_lsb,0
    ADDLW 0X08
    MOVWF Q1_lsb
    MOVLW 0X40
    MOVWF Q2_lsb
    CLRF Q1_msb
    CLRF Q2_msb
    CALL M_MSNUM
    MOVF MSNUM_1,0
    MOVWF varerror_lsb
    MOVF MSNUM_2,0
    MOVWF varerror_msb
FUZZ
    MOVF CONVER_1,0
    MOVWF error2
    goto FUZZYE3T
NOFUZZY
    movlw 0X25 ;ILUMINACION CERO TIEMPO OFF(8.3mS)

```

```

movwf CCPR2L
MOVWF PWMLSB
movlw 0XF8 ;ILUMINACION CERO TIEMPO OFF(8.3mS)
movwf CCPR2H
MOVWF PWMMSB
movlw 0X00
movwf ERRORLCD
goto TERMINAR
PRENDE
movlw 0X00 ;ILUMINACION CERO TIEMPO OFF(8.3mS)
movwf CCPR2L
MOVWF PWMLSB
movlw 0X00 ;ILUMINACION CERO TIEMPO OFF(8.3mS)
movwf CCPR2H
MOVWF PWMMSB
goto TERMINAR
;<<SUBROUTINA FUZZYE3T>>
;*****
;** INSERTAR AQUÍ RUTINA FUZZYE3T (anexo II)**
;*****
movf DNUMDEN_1,0
movwf Q2_lsb ;CARGA ANCHO DE PULSO BAJO
MOVF DNUMDEN_2,0 ;CARGA ANCHO DE PULSO ALTO
movwf Q2_msb
;*CONVIERTE DATO DE SALIDA (0-1023) A NUEVO FORMATO PWM (2605h)
;*(DNUMDEN_2,DNUMDEN_1)*2605h/1023
MOVLW 0X26
MOVWF Q1_msb
MOVLW 0X05
MOVWF Q1_lsb
CALL M_MSNUM ;MULTIPLICA DATOA(16)*DATOB(16)
MOVLW 0XFF ;CARGA PARTE BAJA DEL DIVISOR (1023DECIMAL)
MOVWF Q2_lsb
MOVLW 0X03
MOVWF Q2_msb ;CARGA PARTE Alta DEL DIVISOR (1023 DECIMAL)
CALL Dividir ;divide el dato entre el #1023 (RESULTADO EN MSNUM)
MOVF MSNUM_1,0
MOVWF PWMLSB
MOVF MSNUM_2,0
MOVWF PWMMSB

```

```

;*****FIN RUTINA FUZZY*****
TERMINAR
;*****MUESTRA DATO DEL CONVERTOR EN EL LCD*****
    movf CONVER_1,0
    MOVWF MSNUM_1
    movf CONVER_2,0
    MOVWF MSNUM_2
;*****
    CALL Bin_BCD ;PASA LA PARTE ENTERA DEL DATO A BCD PARA EL LCD
;**MUEVE EL RESULTADO A LAS VARIABLES BCDX1,BCDX10,BCDX100****
    MOVF R2,W
    ANDLW 0X0F
    ADDLW 0X30
    MOVWF BCDX1 ;UNIDADES
    MOVF R2,W
    ANDLW 0XF0
    MOVWF BCDX10
    swapf BCDX10,1
    MOVLW 0X30
    ADDWF BCDX10,1 ;DECENAS
    MOVF R1,W
    ANDLW 0X0F
    ADDLW 0X30
    MOVWF BCDX100 ;CENTENAS
;*****AJUSTE PARTE DECIMAL*****
    MOVLW 0X92 ;CARGA PARTE ALTA DEL NUMERO 146 DECIMAL
    MOVWF Q1_lsb
    CLRF Q1_msb ;CARGA PARTE ALTA DEL NUMERO 146 DECIMAL
    MOVF RestoLL,0
    MOVWF Q2_lsb ;LEE RESIDUO LSB
    MOVF RestoHL,0
    MOVWF Q2_msb ;LEE RESIDUO MSB
    CALL M_MSNUM ;MULTIPLICA DATOA(16)*DATOB(16)
    MOVLW 0X64 ;CARGA PARTE BAJA DEL DIVISOR 100 DECIMAL
    MOVWF Q2_lsb
    CLRF Q2_msb
    CALL Dividir ;divide el dato entre el #100
    CALL Bin_BCD ;PASA LA PARTE DECIMAL DEL DATO A BCD PARA EL LCD
;**MUEVE EL RESULTADO A LAS VARIABLES BCDX0,BCDX01,BCDX001****
    MOVF R2,W

```

```

ANDLW 0X0F
ADDLW 0X30
MOVWF BCDX001 ;MILESIMAS
MOVF R2,W
ANDLW 0XF0
MOVWF BCDX01
swapf BCDX01,1
MOVLW 0X30
ADDWF BCDX01,1 ;CENTESIMAS
MOVF R1,W
ANDLW 0X0F
ADDLW 0X30
MOVWF BCDX0 ;DECIMAS
    movlw 0X84 ;POSICION DEL CURSOR 4 RENGLON 1 DISPLAY
    call CONTROL
    call delay56
    MOVF BCDX100,0 ;MUESTRA CENTENAS
    call DATO
    movlw 0X85 ;POSICION DEL CURSOR 5 RENGLON 1 DISPLAY
    call CONTROL
    MOVF BCDX10,0 ;MUESTRA DECENAS
    call DATO
    movlw 0X86 ;POSICION DEL CURSOR 6 RENGLON 1 DISPLAY
    call CONTROL
    MOVF BCDX1,0 ;MUESTRA UNIDADES
    call DATO
    call delay56
    call delay56
    movlw 0X87 ;POSICION DEL CURSOR 7 RENGLON 1 DISPLAY
    call CONTROL
    MOVLW 0X2E ;(.)
    call DATO
    movlw 0X88 ;POSICION DEL CURSOR 8 RENGLON 1 DISPLAY
    call CONTROL
    MOVF BCDX0,0 ;MUESTRA DECIMAS
    call DATO
    movlw 0X89 ;POSICION DEL CURSOR 9 RENGLON 1 DISPLAY
    call CONTROL
    MOVLW 0XDD ;(°)
    call DATO

```

```

    movlw 0X8A      ;POSICION DEL CURSOR 10 RENGLON 1 DISPLAY
    call CONTROL
    MOVLW 0X43     ;(C)
    call DATO
    movlw 0X8B     ;POSICION DEL CURSOR 11 RENGLON 1 DISPLAY
    call CONTROL
    MOVLW 0X20
    call DATO
;*****
;CONVIERTE EL DATO DEL TECLADO A FORMATO 0-150([Q2_lsb]*15/1023)
    movf TEC1_LCD,0
    MOVWF Q2_lsb
        movf TEC2_LCD,0
    CLRf Q2_msb
    MOVLW 0X03
    MOVWF Q1_msb
    MOVLW 0XFF
    MOVWF Q1_lsb
        CALL M_MSNUM ;MULTIPLICA DATOA(16)*DATOB(16)
        MOVLW 0X96 ;CARGA PARTE BAJA DEL DIVISOR (150DECIMAL)
        MOVWF Q2_lsb
    CLRf Q2_msb ;CARGA PARTE Alta DEL DIVISOR (150 DECIMAL)
    CALL Dividir ;divide el dato entre el #150 (RESULTADO EN MSNUM)
    MOVF MSNUM_1,0
    MOVWF TEC_lsb
    MOVWF Q1_lsb
    MOVF MSNUM_2,0
    MOVWF TEC_msb
    MOVWF Q1_msb
    movf TEC1_LCD,0
    MOVWF MSNUM_1
    movf TEC2_LCD,0
    MOVWF MSNUM_2
    CLRf MSNUM_3
    CALL Bin_BCD ;PASA LA PARTE ENTERA DEL DATO A BCD PARA EL LCD
;**MUEVE EL RESULTADO A LAS VARIABLES BCDX1,BCDX10,BCDX100*****
    MOVF R2,W
    ANDLW 0X0F
    ADDLW 0X30
    MOVWF BCDX1 ;UNIDADES

```

```

MOVF  R2,W
ANDLW 0XF0
MOVWF BCDX10
swapf BCDX10,1
MOVLW 0X30
ADDWF BCDX10,1 ;DECENAS
MOVF  R1,W
ANDLW 0X0F
ADDLW 0X30
MOVWF BCDX100 ;CENTENAS
movlw 0XC4 ;POSICION DEL CURSOR 4 RENGLON 2 DISPLAY
call CONTROL
    MOVF BCDX100,0 ;MUESTRA CENTENAS
    call DATO
    movlw 0XC5 ;POSICION DEL CURSOR 5 RENGLON 2 DISPLAY
    call CONTROL
    MOVF BCDX10,0 ;MUESTRA DECENAS
    call DATO
    movlw 0XC6 ;POSICION DEL CURSOR 6 RENGLON 2 DISPLAY
    call CONTROL
    MOVF BCDX1,0 ;MUESTRA UNIDADES
    call DATO
    movlw 0XC7 ;POSICION DEL CURSOR 7 RENGLON 2 DISPLAY
    call CONTROL
    MOVLW 0X20
    call DATO
    movlw 0XC8 ;POSICION DEL CURSOR 8 RENGLON 2 DISPLAY
    call CONTROL
    MOVLW 0X20
    call DATO
;*****Rutina Refresco Lcd*****
DECFSZ REFRESCO
GOTO RFRES1
    movlw 01H ;BORRA DISPLAY
    call CONTROL
    MOVLW 0X0F
    MOVWF REFRESCO
RFRES1
;*****
BCF  PIR2,0 ;limpia bandera señalizacion int comparación modulo 2

```

```
BSF STATUS,RP0 ;BANCO 1
BSF PIE2,0 ;activa interrupción por comparación modulo 2
clrf PIE1 ;desactiva todas las interrupciones de este registro A/D
BCF STATUS,RP0 ;BANCO 0
movlw b'11010000' ;habilitación todas las interrupciones,
movwf INTCON ;bit4 intr ext activada
GOTO BIG_LOOP ;SALTA PARA COMENZAR UNA NUEVA CONVERSION Y MUESTRA LCD
END
```

8.20. IV.3. MICROCONTROLADOR PIC 16F873.

Este programa realiza la adquisición del dato de temperatura y mediante comunicación serie RS-232 es enviado al computador para ejecutar el control Fuzzy de la aplicación este retorna al microcontrolador el dato del ancho de pulso necesario para ajustar la rutina de PWM y su posterior envío al elemento calefactor.

```
;*** FORMATO DE PROGRAMA MPLEMENTACION FUZZY EN EL PC,*****
;*** EL PIC16F873 REALIZA CONVERSIÓN, TX SACA PULSO PIN RC1*****
;*** RECIBE DATO PARA PWM PRODUCCIDO EN EL CCP2 POR INTERRUPCION**
;*****5 MHz*****
LIST P=16f873
INCLUDE "P16F873.INC"
cblock 0x20
Q1_lsb
Q1_msb
Q2_lsb
Q2_msb
PWMLSB
PWMMSB
SERIALA
ADQ_N
POTENCIA_1
POTENCIA_2
WORK
MULTI_1
MULTI_2
MULTI_3
R0C ;variables lcd
R0D ;variables lcd
R0E ;variables lcd
W1 ;variables lcd
temp ;variables lcd
endc
;*****
ORG 0x00
goto INICIO
ORG 0x04
goto INTER
;*****
;*RUTINA DE INICIALIZACION DE LCD*
LCD_INIT movlw b'00000010' ;LIMPIA HOME
call CONTROL
```

```

        movlw 28H    ;BUS DE DATOS (4 BITS) (2 LINEA EN PANTALLA) TAMAÑO CARACTER 5*7
call    CONTROL
        movlw 0CH    ; PANTALLA ACTIVA Y CURSOR NO PARPADEA
call    CONTROL
        movlw 06H    ; PANTALLA ACTIVA Y CURSOR NO PARPADEA
call    CONTROL
        CLRF PORTB
        RETURN
;*****
TABLA_LCD ADDWF 2,1
        RETLW " "
        RETLW "C"
        RETLW "O"
        RETLW "N"
        RETLW "T"
        RETLW "R"
        RETLW "O"
        RETLW "L"
        RETLW " "
        RETLW "D"
        RETLW "I"
        RETLW "F"
        RETLW "U"
        RETLW "S"
        RETLW "O"
        RETLW " "
;=====
COMP@   movf  Q2_msb,0
        subwf Q1_msb,0
        btfss STATUS,0
        goto  Q1MENOR
        btfss STATUS,2
        goto  Q1MAYOR
        movf  Q2_lsb,0
        subwf Q1_lsb,0
        btfss STATUS,0
        goto  Q1MENOR
        btfss STATUS,2
        goto  Q1MAYOR
        goto  Q1IGUAL
Q1MENOR retlw 0x02
Q1MAYOR retlw 0x01
Q1IGUAL retlw 0x00
;*****
;Se transmite serialmente el dato que está en el registro W

```

```

TXDAT bcf PIR1,TXIF ;Restaura flag del transmisor
      movwf TXREG ;Mueve el byte a transmitir al registro de transmisión
      bsf STATUS,RP0 ;Selecciona el banco 1
      bcf STATUS,RP1
TXDATW btfs TXSTA,TRMT ;TRMT=1 el byte se transmitio, salta
      goto TXDATW ;No se transmitio el byte, vuelve a esperar
      bcf STATUS,RP0 ;Si se transmitio el byte, vuelve al banco 0
      return
;*****
;**RUTINAS ESCRITURA LCD**
RETAR movlw 0xff ;RUTINA DE RETARDOS NECESARIOS
      movwf temp
DECRE decfsz temp,1
      goto DECRE
      return
CONTROL bcf PORTA,2 ;RUTINA GENERA LAS SEÑALES DE CONTROL PARA ESCRIBIR EN EL LCD
      goto DATO2
DATO bsf PORTA,2
DATO2 bcf PORTA,5
      movwf R0E
      movwf W1
      SWAPF W1,1
      RLF W1,0
      andlw 0x0E ;GARANTIZA QUE LOS BITS 7-4 Y 0 PTB SEAN CERO
      MOVWF PORTB ;SACA PARTE ALTA DEL RESULTADO
      BTFSC R0E,7
      GOTO S1
      BCF PORTA,4
      GOTO ACTIVA1
S1 BSF PORTA,4
ACTIVA1 call RETAR
      BSF PORTA,5
      call RETAR
      call RETAR
      BCF PORTA,5
      RLF R0E,0
      andlw 0EH ;GARANTIZA QUE LOS BITS 7-4Y0 PTB SEAN CERO
      MOVWF PORTB ;SACA PARTE BAJA DEL RESULTADO
      BTFSC R0E,3
      GOTO S2
      BCF PORTA,4
      GOTO ACTIVA2
S2 BSF PORTA,4
ACTIVA2 call RETAR
      BSF PORTA,5

```



```

        movf PWMLSB,0
        movwf Q2_lsb    ;CARGA ANCHO DE PULSO BAJO
MOVF PWMSB,0 ;CARGA ANCHO DE PULSO ALTO
        movwf Q2_msb
MOVLW 0Xf8
MOVWF Q1_lsb
MOVLW 0X25
MOVWF Q1_msb
CALL COMP@
XORLW 0X00
BTFSS STATUS,Z ;SALTA SI ES IGUAL 25f8
GOTO SALIR
BCF T1CON,0 ;APAGA TIMER 1
CLRF CCP2CON
BCF PORTC,1
clrf TMR1L
clrf TMR1H
BCF PIR2,0 ;limpia bandera señalizacion int comparación
;*****
SALIR bcf PIR1,RCIF ;limpia bandera señalizacion int recepción
      incf ADQ_N,1 ;incrementa el número de adquisición serial
      movlw 0x02 ;si es igual a 2 la reinicializa a 0
      xorwf ADQ_N,0
      btfss STATUS,2
      goto EXIT1
      clrf ADQ_N
      bsf INTCON,INTE ;activa interrupcion externa
      goto EXIT1
;=====
COMPAR BCF T1CON,0 ;APAGA TIMER 1
      CLRF CCP2CON
      BCF PORTC,1
      clrf TMR1L
      clrf TMR1H
      MOVF PWMLSB,0
      MOVWF CCPR2L
      MOVF PWMSB,0
      MOVWF CCPR2H
      BCF PIR2,0 ;limpia bandera señalizacion int comparacion
      MOVLW 0X08 ;MODULO CP2 EN MODO COMPARACION ACTIVA
      MOVWF CCP2CON ;PIN RC1 CUANDO COINCIDEN VALORES TMR1 Y CCPR2H
      BSF STATUS,RP0 ;BANCO 1
      BSF PIE2,0 ;HABILITA INTERUPCION COMPARACION
      BCF STATUS,RP0 ;BANCO 0

```

```

goto EXIT1
;
;*****
CRUCE0 MOVLW 0X08 ;MODULO CP2 EN MODO COMPARACION ACTIVA PIN RC1
MOVWF CCP2CON ;CUANDO COINCIDEN VALORES TMR1 Y CCP2H-L
BSF T1CON,0 ;HABILITA CONTADOR TMR1
BCF PIR2,0 ;LIMPIA BANDERA
BSF STATUS,RP0 ;BANCO 1
BSF PIE2,0 ;HABILITA INTERUPCION COMPARACION
BCF STATUS,RP0 ;BANCO 0
bcf INTCON,INTF ;limpia bandera señalizacion interrupcion externa
EXIT1 MOVF WORK,0
retfie ;retorna
;
;*****
INICIO clrwdt ;refresca el perro guardián
clrf PORTA ;pone todos los bits del puerto A 0
clrf PORTB ;pone todos los bits del puerto B a 0
clrf PORTC ;Direcciona con A2 A1 A0 ningún elemento
call SIGLO
call SIGLO
;
;*****
;se entra al modo de configuración del PIC
bsf STATUS,RP0 ;Cambia al banco 1
bcf STATUS,RP1 ;RP0=1 y RP1=0
;puerto A como ENTRADA ANALOGICA AL CONVERSIONOR
movlw b'10001110' ;BIT7=1 JUST DERECHA, RA0 entrada conversor
movwf ADCON1
BCF STATUS,RP0 ;Cambia al banco 0
movlw b'00000001' ;frec/2, canal 0 ,activa conversor pero
movwf ADCON0 ; no inicia conversion
bsf STATUS,RP0 ;Cambia al banco 1
movlw b'00000011' ;RA0 entrada A/D,RA1(setpoint), RA RESTANTES salida
movwf TRISA
;puerto C
;se programa la comunicación serial
movlw b'10000000' ;RC7/RX como entrada y RC6/TX como salida
movwf TRISC ;RC0-5 como salidas RC1 (PWM)
BCF PORTC,1 ;BOMBILLO OFF
;puerto B como entrada
movlw b'11110001' ;RB7-4 entrada(teclado),RB3-RB1 salida(teclado),
movwf TRISB ;RB0 entrada(cruce0)
movlw b'11000000' ;BITS0-2=1 DIV TMR0 1:256
;BIT3=0 DIV FREQ PARA TMR0, NO PARA WDT
;BIT4=0 INC TMR0 FLANCO DESCENDENTE (TOCK1)
;BIT5=0 PULSOS TMR0 DE RELOJ INTENO FOSC/4(TEMPORIZADOR),NO TOCK1

```

```

;BIT6=0 FLANCO DESCENDENTE DE INT EXTERNA
;BIT7=1 RESISTENCIA PULL-UP DE PUERTA B DESACTIVADAS
movwf OPTION_REG
clrf PIE1
;*****
;CONFIGURACION DE A/D:se realizo en configuración pta
;CONFIGURACION DE option:se realizo en configuración ptb
;*****
;CONFIGURACION DE RECEPCION DE DATOS
movlw b'00100100' ;modo asíncrono,SYNC=0, dato de 8 bits
movwf TXSTA ;y alta velocidad BRGH=1
movlw d'31' ;
movwf SPBRG ;Registro SPBRG=32 para trabajo a 9600 baudios 5 Mhz
bsf PIE1,RCIE ;habilita interrupción en recepción
bcf STATUS,RP0 ;cambio al banco 0
movlw b'10010000' ;configuración del USART para recepción continua
movwf RCSTA ;
;*****
;*CONFIGURACION DEL PWM ccp2-pin RC1;ccp1-pin rc2*
;*PARA GENERAR EL PWM SE UTILIZA EL TIMER 1 EN MODO COMPARACION*
;SE CARGA EN LOS REGISTROS CCP2H-L EL CONTENIDO DEL TIEMPO OFF*
;LUEGO DE ESTE TIEMPO EL PIN RC1 PASA A ON (ANCHO DE PULSO)*
;CCPR2H-L=(8.33mS-ANCHO DE PULSO)
BCF STATUS,RP0 ;Cambia al banco 0
clrf PORTA ;pone todos los bits del puerto A a 0
clrf PORTB ;pone todos los bits del puerto B a 0
clrf PORTC ;pone todos los bits del puerto C a 0
clrf T1CON ;APAGA TIMER 1
MOVLW 0X08 ;MODULO CP2 EN MODO COMPARACION ACTIVA
MOVWF CCP2CON ;PIN RC1 CUANDO COINCIDEN VALORES TMR1 Y CCPR2H-L
clrf TMR1L
clrf TMR1H
movlw 0X05 ;ILUMINACION CERO TIEMPO OFF(8.3mS)
movwf CCPR2L
movlw 0X26 ;ILUMINACION CERO TIEMPO OFF(8.3mS)
movwf CCPR2H
bcf PIR2,0
;*****
;inicialización de variables
movlw .1
movwf SERIALA
clrf ADQ_N
call LCD_INIT
;*****
;*MUESTRA MENSAJE TEMPERATURA***

```

```

;*****
movlw 01H ;BORRA DISPLAY
call CONTROL
MUESTRA clrf R0C ;INICIA CONTADOR DE TABLA
CICLO movf R0C,W ;HACE BARRIDO DE TABLA
call TABLA_LCD
call DATO
incf R0C,1
movlw 0FH
XORWF R0C,W ;PREGUNTA POR FIN DE LECTURA DE TABLA
btfss STATUS,Z
GOTO CICLO
movlw 0XC7 ;POSICION DEL CURSOR 9 RENGLON 2 DISPLAY
call CONTROL
movlw "P" ;POSICION DEL CURSOR 9 RENGLON 2 DISPLAY
call DATO
movlw "C" ;POSICION DEL CURSOR 9 RENGLON 2 DISPLAY
call DATO
;=====
movlw b'11000000' ;habilitación todas las interrupciones,bit6 int perifericos
movwf INTCON ;bit4 intr ext desactivada
;*****
;El siguiente es el lazo en el que se quedara el PIC normalmente
;en caso de no producirse recepción o transmisión serial con el computador
;en este lazo lee y actualiza el tablero
LEER
NOP
btfss PIR2,0 ;CCP2IF=1 BANDERA INTE por COMPARACION
goto LEER
NOP
BCF T1CON,0 ;APAGA TIMER 1
CLRF CCP2CON
BCF PORTC,1
clrf TMR1L
clrf TMR1H
BCF PIR2,0 ;limpia bandera señalizacion int comparacion
MOVLW 0X08 ;MODULO CP2 EN MODO COMPARACION ACTIVA
MOVWF CCP2CON ;PIN RC1 CUANDO COINCIDEN VALORES TMR1 Y CCPR2H-L
goto LEER
END

```